

**SELÇUK ÜNİVERSİTESİ
FEN BİLİMLERİ ENSTİTÜSÜ**

**KALIN CİDARLI BORULarda TAŞINIM SINIR ŞARTI
İLE GEÇİCİ REJİM BİRLEŞİK ISI TRANSFERİ**

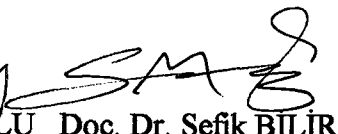
Ali ATEŞ

**DOKTORA TEZİ
MAKİNA MÜHENDİSLİĞİ ANABİLİM DALI**

Bu tez 27.01.1999 tarihinde aşağıdaki jüri tarafından oybirliği/oyçokluğu
İle kabul edilmiştir.

 Prof. Dr. Ö. Ercan ATAER
(Başkan)

 Doç. Dr. Haşmet TÜRKOĞLU
(Üye)

 Doç. Dr. Şefik BILİR
(Üye)

**SELÇUK ÜNİVERSİTESİ
FEN BİLİMLERİ ENSTİTÜSÜ**



**KALIN CİDARLI BORULARDA TAŞINIM SINIR ŞARTI
İLE GEÇİCİ REJİM BİRLEŞİK ISI TRANSFERİ**

Ali ATEŞ

**DOKTORA TEZİ
MAKİNA MÜHENDİSLİĞİ ANABİLİM DALI**

Konya, 1998

ÖZET

Doktora Tezi

KALIN CİDARLI BORULARDA TAŞINIM SINIR ŞARTI İLE GEÇİCİ REJİM BİRLEŞİK ISI TRANSFERİ

Ali ATEŞ

Selçuk Üniversitesi

Fen Bilimleri Enstitüsü

Makina Mühendisliği Anabilim Dalı

Danışman: Doç. Dr. Şefik BİLİR

1998, 120 Sayfa

Jüri : Prof. Dr. Ö. Ercan ATAER

Doç. Dr. Haşmet TÜRKOĞLU

Doç. Dr. Şefik BİLİR

Borularda laminer akış ıslı gelisme bölgesi geçici rejim birleşik ısı transferi, iki boyutlu cidar ve eksenel akışkan iletimi gözönüne alınarak incelenmiştir. Problem, kalın cidarlı ve iki bölgeli, üst akış bölgesi yalıtılmış ve başlangıçta eşit sıcaklıklı olan bir boruda, hidrodinamik olarak gelişmiş akış için, alt akış bölgesinde çevre akışkanı sıcaklığındaki ani değişim şartı ile ele alınmıştır. Problem sonlu farklar yöntemi ile sayısal olarak çözülmüş ve akışkan tarafı diferansiyel denklemi bir kesin çözüm profili ile ayırtetilmiştir. Problemi tanımlayan beş boyutsuz parametrenin, Peclet sayısı, cidar kalınlık oranı, cidar-akışkan ısı iletkenlik katsayısı oranı ve cidar-akışkan ıslı yayılım katsayısı oranı, ısı transferi karakteristikleri üzerindeki etkilerini belirleyebilmek için parametrik bir çalışma yapılmıştır.

Sonuçların parametre değerlerine büyük ölçüde bağlı olduğu ve özellikle cidar kalınlık oranı ve Peclet sayısının en etkili parametreler olduğu, cidar ve akışkan eksenel iletimi nedeniyle üst akış bölgesine doğru önemli miktarda ısı transfer edildiği görülmüştür.

Anahtar Kelimeler : Borularda laminer akış ısı transferi, birleşik ısı transferi, geçici rejimde ısı transferi.

ABSTRACT

PhD Thesis

TRANSIENT CONJUGATED HEAT TRANSFER IN THICK WALLED PIPES WITH CONVECTIVE BOUNDARY CONDITIONS

Ali ATEŞ

Selçuk University

Graduate School of Natural and Applied Sciences

Department of Mechanical Engineering

Supervisor : Assoc. Prof. Dr. Şefik BİLİR

1998, 120 pages

Jury : Prof. Dr. Ö. Ercan ATAER

Assoc. Prof. Dr. Haşmet TÜRKOĞLU

Assoc. Prof. Dr. Şefik BİLİR

Transient conjugated heat transfer in thermally developing laminar pipe flow is analysed involving two-dimensional wall and fluid axial conduction. A thick walled two-regional pipe is considered which is initially isothermal and the upstream region is insulated, and the problem is handled for hydrodynamically developed flow with a sudden change in the ambient temperature of the downstream region. The problem is solved numerically by a finite-difference method and the fluid side differential equation is discretized by using an exact profile. A parametric study is done to analyse the effects of five defining parameters on heat transfer characteristics namely, the Peclet number, the Biot number, wall thickness ratio, wall-to-fluid conductivity ratio and wall-to-fluid thermal diffusivity ratio.

The results are found to be sensitive to the parameter values and wall thickness ratio and Peclet number are more effective parameters. Considerable amount of heat is transferred through the upstream side due to the wall and fluid axial conduction.

Key Words : Laminar flow heat transfer in pipes, conjugated heat transfer, transient heat transfer.

Bu çalışmada şüphesiz en büyük katkı, bilgi ve tecrübelerini bana aktaran ve çalışmalarım boyunca büyük ilgi ve desteğini gördüğüm hocam, sayın Doç. Dr. Şefik BİLİR'e aittir. Kendisine en içten minnet ve şükranlarımı sunuyorum.

Ayrıca karşılaştığım her türlü sıkıntıda daima yanında olan, moral veren, büyük manevi desteğini gördüğüm, sabır kaynağı fedakar eşime de gönül dolusu teşekkür etmeyi bir borç biliyorum.



Ali ATEŞ

İÇİNDEKİLER

ÖZET.....	i
ABSTRACT	ii
ÖNSÖZ.....	iii
İÇİNDEKİLER	iv
SİMGELER	v
1. GİRİŞ VE KAYNAK ARAŞTIRMASI, PROBLEMIN TANIMI	1
1.1. Problemin Tanımı	4
2. TEORİK ESASLAR	6
2.1. Boru İçi Akışlarda Isı Transferi Ve Eksenel İletim	6
2.2. Denklemlerin Boyutsuz Hale Getirilmesi	9
2.3. Sayısal Çözüm	17
2.3.1. Ayırıklaştırma	17
2.3.1.1. Diferansiyel denklemlerin ayırıklaştırılması	19
2.3.1.2. Başlangıç ve sınır şartlarının ayırıklaştırılması	25
2.3.2. Çözüm	33
3. SONUÇLAR VE TARTIŞMA	37
4. SONUÇ	68
5. KAYNAKLAR	70
Özgeçmiş	73
6. EKLER	74
EK-A Sayısal Türev, Sayısal İntegral ve Enterpolasyon	75
EK-B Bilgisayar Program Listeleri	77

SİMGELER

- a* Ayrıklaştırılmış denklem katsayısı
- A* Alan
- b* Ayrıklaştırılmış denklem katsayısı
- Bi* Biot sayısı
- c* Özgül ısı
- d* Boru cidar kalınlığı
- D₁, D₂* İntegral sabitleri (Denklem 63)
- f* Kütlesel kuvvet veya ağırlık faktörü (s.6 ve s.19)
- Fo* Fourier sayısı
- G_Z* Graetz sayısı
- h* Isı taşınım katsayısı
- J* Isı akısı (Denklem 57)
- k* Isı iletkenlik katsayısı
- K* ($=Pe^2(1-r^2)$) (Denklem 62)
- L* Uzunluk (Denklem 64-b)
- ṁ* Kütlesel debi
- Nu* Nusselt sayısı
- p* Basınç
- Pe* Peclet sayısı
- Pr* Prandtl sayısı
- q* Isı akısı

r	Radyal koordinat
t	Zaman
T	Sıcaklık
T_0	Sistemin başlangıç sıcaklığı
T_I	Çevre akışkanı sıcaklığı
u	Eksenel hız
v	Radyal hız
w	Açısal hız
x	Eksenel koordinat
α	İsil yayılım katsayısı
δr	Radyal koordinat farkı
δx	Eksenel koordinat farkı
Δr	Radyal basamak uzunluğu
Δx	Eksenel basamak uzunluğu
Φ	Viskoz sönüüm faktörü
μ	Dinamik viskozite
ν	Kinematik viskozite
ρ	Yoğunluk
θ	Açısal koordinat

Alt İndisler

b	Yığık
c	Kesit

e, w, n, s e,w,n,s kontrol hacim yüzeylerinde

f Akışkan

i İç yüzey

i, j i,j düğüm noktasında

m Ortalama

o Dış yüzey

P, E, W, N, S P, E, W, N, S düğüm noktalarında

r Radyal

w Cidar

wf Cidar-akışkan oranı

x Eksenel

θ Açısal

Üst İndisler

‘ Boyutsuz

0 Önceki zaman adımında

1 Simdiki zaman adımında

1. GİRİŞ VE KAYNAK ARAŞTIRMASI, PROBLEMİN TANIMI

Geçici rejimde birleşik ısı transferinin analizi, ısı değiştiricilerinin ilk çalışma ve durdurma esnasında veya çalışma koşullarındaki herhangi bir değişiklik halinde kontrolü açısından önemlidir. Sistemin güç kaynağında meydana gelebilecek bir kesinti ya da pompalardaki bir arıza nedeniyle çalışma rejimindeki sürekliliğin bozulması halinde veya çalışma koşulları periyodik olarak değişen cihazlarda ısı transferi problemlerinin zamana bağlı olarak incelenmesi gereklidir. Rejeneratif ve rekuperatif ısı değiştiricilerinde, gaz turbini kanatlarının soğutulmasında, nükleer reaktör soğutma borularında, uçak motorlarında ve uzay araçlarında karşımıza çıkabilecek bu problemin incelenmesi, istenmeyen ısıl performans düşüşlerinin yanısıra oluşabilecek ani ısıl gerilmelerin ve mekanik tahribatın belirlenebilmesi açısından da önemlidir. Söz konusu problem daha ziyade boru ve kanallarda veya geometrik olarak boru ya da kanal şeklinde modellenebilecek akış kesitlerinde incelenebilir.

Boru veya kanallarda laminer akış geçici rejim ısı transferi bir çok araştırmacı tarafından sınır ya da giriş şartlarında ani veya periyodik değişme halinde incelenmiştir. Araştırmacıların çoğu problemi çok ince cidarlı borular için ele almıştır ki bu durumda cidar iletimi etkisi her iki yönde ihmali edilebilir ve dış yüzeydeki koşul iç yüzeyde de aynen geçerli kabul edilebilir. Birleşik olarak isimlendirilen problemlerde ise cidar-akışkan arayüzeyindeki koşul önceden bilinmemektedir ve enerji denklemleri hem cidar hem de akışkan bölgesi için arayüzeyde sıcaklıkların ve ısı akılarının sürekliliği şartı ile birlikte çözülmelidir. Bu tür problemlerin bir kısmında cidarda radyal yöndeki iletim eksenel yöndeki iletimin yanında ihmali edilmiş, bir kısmında ise iki boyutlu, radyal ve eksenel, cidar iletimi göz önüne alınmıştır. Birleşik problemler ile ilgili geniş bir kaynak araştırması Bilir (1995) tarafından yapılmıştır. Wijeyundera (1986), sınırlı bir bölgesi ısıtılan dairesel

borular ve dikdörtgen kanallarda eksenel cidar iletiminin dikkate alındığı bir sürekli rejim birleşik ısı transferi problemini dış yüzeyde taşınım sınır şartı ile analitik bir yöntemle incelemiştir.

Yine birçok problem, akışkan eksenel iletimi ihmali edilerek tek bölgeli bir boruda incelenmiştir. Boru ve kanal içi akışlarda ısı transferi problemlerini büyük ölçüde kolaylaştırınan bu varsayımda küçük hacimli güç üretme ünitelerinde soğutucu akışkan olarak kullanılan sıvı metallerin ($Pr \approx 0.01$) düşük Reynolds sayılı akışlarında gerçekçi olmamaktadır. Eğer akış Peclet sayısı küçük ise ($Pe < 50$) akışkan bölgesinde eksenel iletim, taşınımın yanında ihmali edilemeyecek boyuttadır ve ısının akışa ters yönde üst akış bölgesinde yayılması ile sıcaklık profili ısıtılmaya başlanan kesitten öncesinde oluşmaya başlar. Dolayısıyla bu tür problemler iki bölgeli bir boruda ele alınmalı ve ısı transferi karakteristikleri hem üst hem de alt akış bölgesi için belirlenmelidir. Öte yandan akışkan eksenel iletiminin etkisi sadece ısıl gelişme bölgesinde görülür ve ısıl olarak gelişmiş bölgede yerel ısı transferi karakteristiklerini etkilemez. Boru ve kanal içi akışlarda akışkan eksenel iletiminin etkileri ile detaylı bir kaynak araştırması yine Bilir (1992) tarafından verilmiştir. Akışkan eksenel iletiminin etkilerinin dış yüzeyde taşınım sınır şartı ile incelendiği çalışmaların ilkini Schneider (1957), gerçekleştirmiş ve paralel plakalar ve borular için düzgün akış (uniform hız profili) halinde problemi analitik olarak çözmüştür. Aynı problem, borular için düzgün akış halinde Vick, Özışık ve Ullrich (1983) tarafından analitik yöntemler ile incelenmiştir. Benzer bir problemi parabolik hız profili ile Lee ve Hwang (1981) sonlu elemanlar yöntemi ile çözmüşlerdir. Campo ve Auguste (1978), eksenel akışkan iletiminin etkilerini laminer boru akışında parabolik hız profili ile ve dış yüzeyde hem taşınım hem de ısınınım sınır şartı ile ve sonlu farklar yöntemi ile çözmüşlerdir.

Akışkan eksenel iletimini cidar iletimi ile birlikte ele alan birleşik problemler az sayıda araştırmacı tarafından incelenmiş ve bunlar (Bilir, 1995) de verilmiştir. Bu tarz problemlerin dış yüzeyde taşınım sınır şartı ile çözüldüğü bir çalışma ise bilindiği kadariyla şu ana kadar yapılmamıştır.

Dış yüzeyde taşınım sınır şartı ile borularda ısıl gelişme bölgesi geçici rejim ısı transferi problemi Sucec (1986) tarafından analitik bir yöntem ile incelenmiştir.

Geçici rejimde birleşik ısı transferini ilk kez ele alan araştırmacı yine Sucec (1981) olmuştur ve yaptığı çalışmada tek bölgeli paralel plakalar ve düzgün akış için değişken giriş sıcaklığı veya değişken cidar sıcaklığı sınır şartlarında problemi analitik bir yöntem ile incelemiştir. Krishan (1982), gelişmiş boru akışı için dış yüzey sıcaklığında veya ısı akısında basamak değişikliği sınır şartları ile problemi analitik olarak incelemiştir. Sucec ve Sawant (1983), paralel plakalar için periyodik olarak değişen giriş sıcaklığı şartında bir analitik yöntem geliştirmiştirlerdir. Tek bölgeli paralel plakalar için çevre akışkan sıcaklığında meydana gelen ani değişiklik şartında problem, Sucec (1987-a) tarafından sonlu farklar yöntemi ile ve yine Sucec (1987-b) tarafından Laplace dönüşüm tekniği ile analitik olarak çözülmüştür. Cotta, Mikhailov ve Özışık (1987), düzgün akışlı paralel plakalar ve dairesel borular için analitik bir yöntem ile periyodik olarak değişen giriş sıcaklığı şartı altında bir çalışma gerçekleştirmiştirlerdir. Lin ve Kuo (1988), dış yüzey ısı akısında basamak değişikliği sınır şartı ile ve sonlu farklar yöntemi ile sınırlı bir bölgesi ısıtılan bir boruda problemi incelemiştirlerdir. Yan, Tsay ve Lin (1991), aynı problemi dış yüzey sıcaklığında meydana gelen ani değişiklik ile benzer tarzda ele almışlardır. Travelho ve Santos (1991), paralel plakalar için düzgün akış ve değişken giriş sıcaklığı şartında, Olek, Elias, Wacholder ve Kaizerman (1991), aynı problemi borularda parabolik hız profili ile analitik olarak incelemiştir.

Yakın zamanlarda, iki boyutlu iletimin dikkate alındığı kalın cidarlı borular için probleme bazı sayısal çözümler geliştirilmiştir. Schutte, Rahman ve Faghri (1992), borularda hem birlikte gelişme bölgesi hem de ıslık gelişme bölgesi için aniden değişen sabit yüzey ısı akısı sınır şartında, Lee ve Yan (1993), sabit dış yüzey sıcaklığında ani basamak değişikliği, Yan (1992), kanallarda taşınım sınır şartında meydana gelen ani değişiklik için sonlu farklar yöntemi ile problemi incelemiştirlerdir. Bu üç çalışma da, sınırlı bir bölgesi ısıtılan (veya soğutulan) boru veya kanallar için yapılmış ve akışkan eksenel iletimi dikkate alınmıştır. Bilir(1994), benzer bir problemi her iki yönde sonsuz uzunlukta iki bölgeli bir boru için sabit yüzey sıcaklığında meydana gelen ani değişiklik sınır şartı ile incelemiştir.

Li ve Kakaç (1991), geçici rejim birleşik ısı transferi problemini sabit yüzey ısı akısında veya sabit çevre akışkanı sıcaklığında meydana gelen ani değişiklik ve

aynı zamanda sinüsoidal olarak değişen giriş sıcaklığı sınır şartı ile dikdörtgen kesitli kanallarda eksenel akışkan iletimini ihmali ederek analatik olarak incelemiştir.

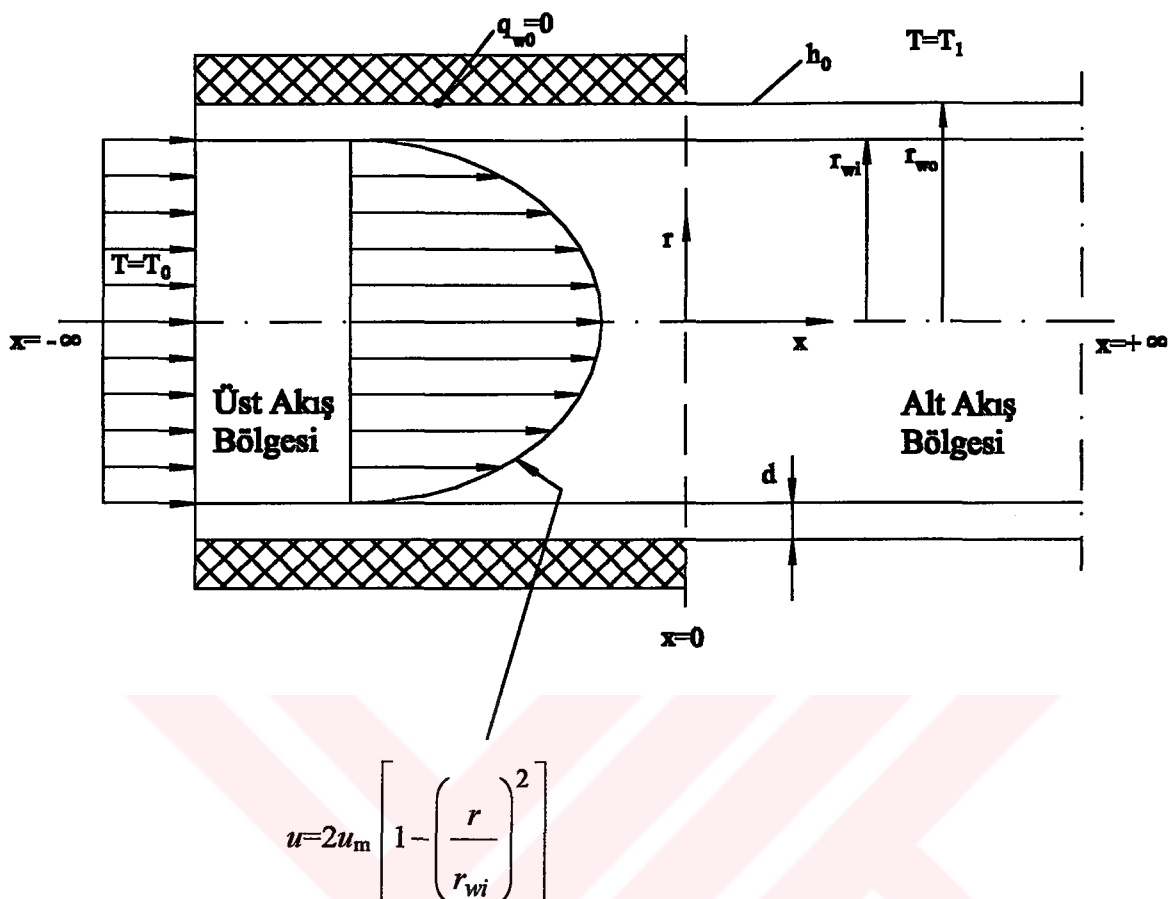
Yan (1994), borularda hidrodinamik olarak gelişmiş turbülanslı akış için geçici rejim birleşik ısı transferi problemini, sonlu farklar yöntemi ve $k-\varepsilon$ modeli ile incelemiştir.

Bu çalışmalardan ortaya çıkan genel bulgular şöyle özetlenebilir.

Geçici rejim problemlerinde sanki-sürekli (quasi-steady) analiz, olayın başlangıç safhalarında ciddi hatalara neden olmaktadır. Peclet sayısı, Biot sayısı ve ısı yayılım katsayısı oranının küçük değerleri, ısı iletkenlik katsayısı oranı ve cidar kalınlık oranının büyük değerleri için sürekli rejime ulaşma süresi uzamaktadır. Birleşik ısı transferi problemlerde boru cidarı kalınlığı en etkili parametredir. Problemin yapısına ve sınır şartlarına bağlı olarak ısı iletkenlik katsayısı oranı ve ısı yayılım katsayısı oranı da etkili parametreler olarak görülmektedir. Isı iletkenlik katsayısı oranı ve cidar kalınlık oranı büyündükçe eksenel cidar ve akışkan iletimi nedeni ile üst akış bölgesine doğru ısı daha fazla yayılmaktadır. Cidardan çevreye hızlı ısı transferinin görüldüğü birleşik ısı transferi problemlerinde bazan ters yönde, akışkandan cidara doğru, ısı transferi görülebilmektedir. Yine birleşik problemlerde borunun yalıtılmış kısmında yalıtkan maddenin ısı kapasitesinin de dikkate alınması gereği bu sınırla ısı akışının yok varsayımasının çok gerçekçi olmadığı görülmüştür. Taşınım ısı şartı ile ele alınan problemlerde dış yüzeydeki taşınım yani Biot sayısı arttıkça ısı yayılım katsayısının etkisinin azaldığı gözlenmiştir. Isı gelişme bölgesinde geçici rejim ve birleşik ısı transferi problemlerinde hız profiline de sonuçlar üzerinde bir hayli etkili olduğu görülmüştür.

1.1. Problemin Tanımı

Bu çalışmada kalın cidarlı bir boruda, laminer akış ısıl gelişme bölgesi, geçici rejim birleşik ısı transferi problemi incelenmiştir. Cidarda iki boyutlu iletim ile düşük Peclet sayılı akışlar için akışkan eksenel iletiminin ısı transferine etkileri üçüncü tür sınır şartı altında ele alınmıştır. Problemin şematik diyagramı ve koordinat sistemi Şekil 1.1 de görülmektedir.



Sekil 1.1. Problemin şematik diyagramı ve koordinat sistemi

Şekilde görüldüğü gibi akış iki bölgeli olarak ele alınmıştır ve boru her iki yönde sonsuz uzunluktadır. Üst akış bölgesinin uzağında ($x = -\infty$) akışkan sıcaklığı üniformdur ve T_0 'a eşittir. Üst akış bölgesi yalıtılmıştır ve akış hidrodinamik olarak gelişmiştir. Zamanın başlangıcında ($t=0$) alt akış bölgesinde dış ortam sıcaklığı yeni bir T_1 sıcaklığına yükseltilmekte ve sistem sürekli rejime ulaşana kadar sabit kalmaktadır. Boruya dış taraftaki akışkan ortamdan, alt akış bölgesinde tüm dış yüzey boyunca sabit bir taşınım katsayısı, h_0 ile ısı transfer edilmektedir. Tüm akışkan ve cidar özellikleri sabit kabul edilmiş ve viskoz sönüm ihmal edilmiştir.

2. TEORİK ESASLAR

2.1. Boru İçi Akışlarda Isı Transferi ve Eksenel İletim

Boru içi akışta, silindirik koordinat sisteminde r - $, \theta$ - ve x - yönlerindeki hız bileşenleri sıra ile v , w ve u olarak tanımlanır; sıkıştırılamaz ve sabit viskoziteli bir akışkan için hareket denklemleri şu şekilde ifade edilebilir. (Kakaç ve Yener, 1980)

r - yönünde;

$$\frac{\partial v}{\partial t} + v \frac{\partial v}{\partial r} + \frac{w}{r} \frac{\partial v}{\partial \theta} - \frac{w^2}{r} + u \frac{\partial v}{\partial x} = f_r - \frac{1}{\rho} \frac{\partial p}{\partial r} + v \left\{ \frac{\partial}{\partial r} \left[\frac{1}{r} \frac{\partial}{\partial r} (rv) \right] + \frac{1}{r^2} \frac{\partial^2 v}{\partial \theta^2} - \frac{2}{r^2} \frac{\partial w}{\partial \theta} + \frac{\partial^2 v}{\partial x^2} \right\} \quad (1)$$

θ - yönünde;

$$\frac{\partial w}{\partial t} + v \frac{\partial w}{\partial r} + \frac{w}{r} \frac{\partial w}{\partial \theta} + \frac{vw}{r} + u \frac{\partial w}{\partial x} = f_\theta - \frac{1}{\rho r} \frac{\partial p}{\partial \theta} + v \left\{ \frac{\partial}{\partial r} \left[\frac{1}{r} \frac{\partial}{\partial r} (rw) \right] + \frac{1}{r^2} \frac{\partial^2 w}{\partial \theta^2} + \frac{2}{r^2} \frac{\partial v}{\partial \theta} + \frac{\partial^2 w}{\partial x^2} \right\} \quad (2)$$

x - yönünde;

$$\frac{\partial u}{\partial t} + v \frac{\partial u}{\partial r} + \frac{w}{r} \frac{\partial u}{\partial \theta} + u \frac{\partial u}{\partial x} = f_x - \frac{1}{\rho} \frac{\partial p}{\partial x} + v \left\{ \frac{1}{r} \frac{\partial}{\partial r} \left[r \frac{\partial u}{\partial r} \right] + \frac{1}{r^2} \frac{\partial^2 u}{\partial \theta^2} + \frac{\partial^2 u}{\partial x^2} \right\} \quad (3)$$

Sürekli, hidrodinamik olarak gelişmiş, laminer, eksenel simetrik ve kütlesel kuvvetlerin olmadığı bir akışda eksenel yönde hız bileşeni için;

$$u = 2u_m \left[1 - \left(\frac{r}{r_{wi}} \right)^2 \right] \quad (4)$$

elde edilir. Bu ifade borularda gelişmiş laminer akış için Hagen-Poiseuille hız profili olarak isimlendirilir, (Kays, 1966).

Sıkıştırılamayan ve özellikleri değişmeyen bir akışkan için enerji denklemi şöyle ifade edilebilir, (Kakaç ve Yener, 1980).

$$\rho c \left(\frac{\partial T}{\partial t} + v \frac{\partial T}{\partial r} + \frac{w}{r} \frac{\partial T}{\partial \theta} + u \frac{\partial T}{\partial x} \right) = k \left[\frac{1}{r} \frac{\partial}{\partial r} \left(r \frac{\partial T}{\partial r} \right) + \left(\frac{1}{r^2} \frac{\partial^2 T}{\partial \theta^2} \right) + \left(\frac{\partial^2 T}{\partial x^2} \right) \right] + \Phi \quad (5)$$

Burada Φ , viskoz sönüm terimidir. Silindirik koordinat sisteminde bu terim aşağıdaki gibi ifade edilir.

$$\Phi = 2\mu \left\{ \left(\frac{\partial v}{\partial r} \right)^2 + \left[\frac{1}{r} \left(\frac{\partial w}{\partial \theta} + v \right)^2 \right] + \left(\frac{\partial u}{\partial x} \right)^2 \right\} + \mu \left\{ \left(\frac{\partial w}{\partial x} + \frac{1}{r} \frac{\partial u}{\partial \theta} \right)^2 + \left(\frac{\partial u}{\partial r} + \frac{\partial w}{\partial x} \right)^2 + \left[\frac{1}{r} \frac{\partial v}{\partial \theta} + r \frac{\partial}{\partial r} \left(\frac{w}{r} \right) \right]^2 \right\} \quad (6)$$

Laminer, hidrodinamik olarak gelişmiş, eksenel simetrik akış şartlarında ve viskoz sönümün ihmal edildiği enerji denklemi şu şekilde sadeleşir.

$$\rho c \left(\frac{\partial T}{\partial t} + u \frac{\partial T}{\partial x} \right) = k \left[\frac{1}{r} \frac{\partial}{\partial r} \left(r \frac{\partial T}{\partial r} \right) + \frac{\partial^2 T}{\partial x^2} \right] \quad (7)$$

Bu denklemdeki $\frac{\partial^2 T}{\partial x^2}$ terimi, giriş bölümünde bahsedilen eksenel iletim terimidir.

Yukarıdaki denklemde eksenel hız bileşeni u için Hagen-Poiseuille profili yazılırsa, enerji denklemi şu hali alır.

$$\rho c \left\{ \frac{\partial T}{\partial t} + 2u_m \left[1 - \left(\frac{r}{r_{wi}} \right)^2 \right] \frac{\partial T}{\partial x} \right\} = k \left[\frac{1}{r} \frac{\partial}{\partial r} \left(r \frac{\partial T}{\partial r} \right) + \frac{\partial^2 T}{\partial x^2} \right] \quad (8)$$

Birinci bölümde tanımlanan problem öngörülen varsayımlar ile şu şekilde formüle edilebilir.

Cidar için diferansiyel denklem;

$$\rho_w c_w \frac{\partial T_w}{\partial t} = k_w \left[\frac{1}{r} \frac{\partial}{\partial r} \left(r \frac{\partial T_w}{\partial r} \right) + \frac{\partial^2 T_w}{\partial x^2} \right] \quad (9)$$

Başlangıç ve sınır şartları;

$$t=0 \quad \text{iken} \quad T_w = T_0 \quad (10-a)$$

$$x = -\infty \quad \text{da} \quad T_w = T_0 \quad (10-b)$$

$$x = +\infty \quad \text{da} \quad \frac{\partial T_w}{\partial x} = 0 \quad (\text{sürekli rejimde} \quad T_w = T_1) \quad (10-c)$$

$$r = r_{wi} + d \quad \text{de} \quad x < 0 \quad \text{için} \quad \frac{\partial T_w}{\partial r} = 0 \quad (10-d)$$

$$r = r_{wi} + d \quad \text{de} \quad x \geq 0 \quad \text{için} \quad k_w \frac{\partial T_w}{\partial r} = h_o (T_1 - T_w) \quad (10-e)$$

$$r = r_{wi} \quad \text{de} \quad T_w = T_f \quad \text{ve} \quad k_w \frac{\partial T_w}{\partial r} = k_f \frac{\partial T_f}{\partial r} \quad (10-f,g)$$

Akışkan için diferansiyel denklem;

$$\rho_f c_f \left[\frac{\partial T_f}{\partial t} + 2u_m \left(1 - \left(\frac{r}{r_{wi}} \right)^2 \right) \frac{\partial T_f}{\partial x} \right] = k_f \left[\frac{1}{r} \frac{\partial}{\partial r} \left(r \frac{\partial T_f}{\partial r} \right) + \frac{\partial^2 T_f}{\partial x^2} \right] \quad (11)$$

Başlangıç ve sınır şartları;

$$t = 0 \quad \text{da} \quad T_f = T_0 \quad (12-a)$$

$$x = -\infty \quad \text{da} \quad T_f = T_0 \quad (12-b)$$

$$x = +\infty \quad \text{da} \quad \frac{\partial T_f}{\partial x} = 0 \quad (\text{sürekli rejimde} \quad T_f = T_1) \quad (12-c)$$

$$r = r_{wi} \quad \text{de} \quad T_f = T_w \quad \text{ve} \quad k_f \frac{\partial T_f}{\partial r} = k_w \frac{\partial T_w}{\partial r} \quad (12-d,e)$$

$$r=0 \quad \text{da} \quad \frac{\partial T_f}{\partial r} = 0 \quad (12-f)$$

Denklem (9-12) sisteminin birlikte çözülmesiyle hem cidar hem de akışkan için sıcaklık dağılımı elde edilebilir. Bunun yanısıra akışkan yüzük sıcaklığı, T_b , ara yüzey ısısı akısı, q_{wi} , ve iç yüzeyde Nusselt sayısı, Nu_i aşağıdaki şekilde hesaplanabilir.

$$T_b = \frac{1}{A_c u_m} \int u T_f dA_c \quad (13)$$

$$A_c = \pi r_{wi}^2 ; \quad dA_c = 2 \pi r dr \quad \text{ve} \quad u = 2u_m \left[1 - \left(\frac{r}{r_{wi}} \right)^2 \right] \text{ ile}$$

$$T_b = \frac{4}{r_{wi}^2} \int_0^{r_{wi}} r \left[1 - \left(\frac{r}{r_{wi}} \right)^2 \right] T_f dr \quad (14)$$

$$q_{wi} = -k_f \left(\frac{\partial T_f}{\partial r} \right)_{r=r_{wi}} \quad (15)$$

$$q_{wi} = h_i (T_{wi} - T_b) \quad \text{ve} \quad Nu_i = \frac{2r_{wi} h_i}{k_f} \quad \text{ile}$$

$$Nu_i = \frac{-2r_{wi} \left(\frac{\partial T_f}{\partial r} \right)_{r=r_{wi}}}{T_{wi} - T_b} \quad (16)$$

2.2. Denklemlerin Boyutsuz Hale Getirilmesi

Problemin boyutsuz parametreleri şöyle tanımlanabilir:

Boyutsuz sıcaklık; (hem cidar hem de akışkan için)

$$T = \frac{T - T_0}{T_1 - T_0} \quad (17)$$

Eksenel koordinat;

$$x = \frac{x}{r_{wi} Pe} \equiv \frac{2}{Gz} \quad (18)$$

Radyal koordinat;

$$r = \frac{r}{r_{wi}} \quad (19)$$

Cidar kalınlığı;

$$d = \frac{d}{r_{wi}} \quad (20)$$

İşı iletkenlik katsayısı oranı;

$$k_{wf} = \frac{k_w}{k_f} \quad (21)$$

İşıl yayılım katsayısı oranı;

$$\alpha_{wf} = \frac{\alpha_w}{\alpha_f} \quad (22)$$

Boyutsuz zaman;

$$t' = \frac{t \alpha_f}{r_{wi}^2} \equiv Fo \quad (23)$$

Peclet sayısı;

$$Pe = \frac{2u_m r_{wi} \rho_f c_f}{k_f} \quad (24)$$

ve dış yüzeyin alt akış bölgesinde Biot sayısı;

$$Bi_o = \frac{h_o r_{wi}}{k_w} \quad (25)$$

(Nu_i ve Bi_o parametreleri, bundan sonraki kısımlarda Nu ve Bi şeklinde indissiz olarak gösterilecek ve “Nusselt sayısı” ve “Biot sayısı” şeklinde ifade edilecektir.)

Yukarıda tanımlanan parametreler ile diferansiyel denklemler şu şekilde boyutsuz hale getirilebilir.

$$\frac{\partial T'}{\partial t'} = \frac{\partial \left(\frac{T - T_0}{T_1 - T_0} \right)}{\partial \left(\frac{t \alpha_f}{r_{wi}^2} \right)} = \frac{\frac{1}{T_1 - T_0} \partial(T - T_0)}{\frac{\alpha_f}{r_{wi}^2} \partial t} = \frac{r_{wi}^2}{\alpha_f (T_1 - T_0)} \frac{\partial T}{\partial t} \Rightarrow$$

$$\frac{\partial T}{\partial t} = \frac{\alpha_f (T_1 - T_0)}{r_{wi}^2} \frac{\partial T'}{\partial t'} \quad (26)$$

$$\frac{\partial T'}{\partial r'} = \frac{\partial \left(\frac{T - T_0}{T_1 - T_0} \right)}{\partial \left(\frac{r}{r_{wi}} \right)} = \frac{\frac{1}{T_1 - T_0} \partial(T - T_0)}{\frac{1}{r_{wi}} \partial r} = \frac{r_{wi}}{T_1 - T_0} \frac{\partial T}{\partial r} \Rightarrow$$

$$\frac{\partial T}{\partial r} = \frac{T_1 - T_0}{r_{wi}} \frac{\partial T'}{\partial r'} \quad (27)$$

$$\frac{\partial}{\partial r'} = \frac{\partial}{\partial \left(\frac{r}{r_{wi}} \right)} = r_{wi} \frac{\partial}{\partial r} \Rightarrow$$

$$\frac{\partial}{\partial r} = \frac{1}{r_{wi}} \frac{\partial}{\partial r'} \quad (28)$$

$$\frac{\partial T'}{\partial x'} = \frac{\partial \left(\frac{T - T_0}{T_1 - T_0} \right)}{\partial \left(\frac{x}{r_{wi} Pe} \right)} = \frac{\frac{1}{T_1 - T_0} \partial(T - T_0)}{\frac{1}{r_{wi} Pe} \cdot \partial x} = \frac{r_{wi} Pe}{T_1 - T_0} \frac{\partial T}{\partial x} \Rightarrow$$

$$\frac{\partial T}{\partial x} = \frac{T_1 - T_0}{r_{wi} Pe} \frac{\partial T'}{\partial x'} \quad (29)$$

$$\begin{aligned}
\frac{\partial^2 T'}{\partial x'^2} &= \frac{\partial}{\partial x'} \left(\frac{\partial T'}{\partial x'} \right) = \frac{\partial}{\partial x'} \left(\frac{r_{wi} Pe}{T_1 - T_0} \frac{\partial T}{\partial x} \right) = \frac{\frac{r_{wi} Pe}{T_1 - T_0} \partial \left(\frac{\partial T}{\partial x} \right)}{\partial \left(\frac{x}{r_{wi} Pe} \right)} = \frac{\left(\frac{r_{wi} Pe}{T_1 - T_0} \right) \partial^2 T}{\frac{1}{r_{wi} Pe} \partial x'^2} \\
&= \frac{r_{wi}^2 Pe^2}{T_1 - T_0} \frac{\partial^2 T}{\partial x'^2} \quad \Rightarrow \quad \frac{\partial^2 T}{\partial x'^2} = \frac{T_1 - T_0}{r_{wi}^2 Pe^2} \frac{\partial^2 T'}{\partial x'^2} \tag{30}
\end{aligned}$$

(26-30) no'lu ifadeler denklem (9) 'a uygulanırsa;

$$\begin{aligned}
\rho_w c_w \frac{\alpha_f (T_1 - T_0)}{r_{wi}^2} \frac{\partial T'_w}{\partial t'} &= k_w \left[\frac{1}{r' r_{wi}} \frac{1}{r_{wi}} \frac{\partial}{\partial r'} \left(r' r_{wi} \left(\frac{T_1 - T_0}{r_{wi}} \right) \frac{\partial T'_w}{\partial r'} \right) + \frac{T_1 - T_0}{r_{wi}^2 Pe^2} \frac{\partial^2 T'_w}{\partial x'^2} \right] \\
\Rightarrow \alpha_f \frac{(T_1 - T_0)}{r_{wi}^2} \frac{\partial T'_w}{\partial t'} &= \alpha_w \left[\frac{T_1 - T_0}{r_{wi}^2} \frac{1}{r'} \frac{\partial}{\partial r'} \left(r' \frac{\partial T'_w}{\partial r'} \right) + \frac{T_1 - T_0}{r_{wi}^2 Pe^2} \frac{1}{Pe^2} \frac{\partial^2 T'_w}{\partial x'^2} \right] \text{ ve cidar için} \\
&\text{boyutsuz diferansiyel denklem;}
\end{aligned}$$

$$\frac{1}{\alpha_{wf}} \frac{\partial T'_w}{\partial t'} = \frac{1}{r'} \frac{\partial}{\partial r'} \left(r' \frac{\partial T'_w}{\partial r'} \right) + \frac{1}{Pe^2} \frac{\partial^2 T'_w}{\partial x'^2} \tag{31}$$

şeklinde elde edilir. (26-30) ifadeleri denklem (11) 'e uygulanırsa;

$$\begin{aligned}
\rho_f c_f \left[\frac{\alpha_f (T_1 - T_0)}{r_{wi}^2} \frac{\partial T'_f}{\partial t'} + 2u_m (1 - r'^2) \frac{r_{wi}}{r_{wi} Pe} \frac{\partial T'_f}{\partial x'} \right] \\
= k_f \left[\frac{1}{r' r_{wi}} \frac{1}{r_{wi}} \frac{\partial}{\partial r'} \left(r' r_{wi} \left(\frac{T_1 - T_0}{r_{wi}} \right) \frac{\partial T'_f}{\partial r'} \right) + \frac{T_1 - T_0}{r_{wi}^2 Pe^2} \frac{\partial^2 T'_f}{\partial x'^2} \right] \quad \Rightarrow \\
\rho_f c_f \left[\alpha_f \frac{\partial T'_f}{\partial t'} + 2u_m (1 - r'^2) \frac{r_{wi}}{Pe} \frac{\partial T'_f}{\partial x'} \right] = k_f \left[\frac{1}{r'} \frac{\partial}{\partial r'} \left(r' \frac{\partial T'_f}{\partial r'} \right) + \frac{1}{Pe^2} \frac{\partial^2 T'_f}{\partial x'^2} \right] \quad \Rightarrow \\
\rho_f c_f \left[\frac{k_f}{\rho_f c_f} \frac{\partial T'_f}{\partial t'} + 2u_m (1 - r'^2) \frac{r_{wi} k_f}{u_m 2r_{wi} c_f \rho_f} \frac{\partial T'_f}{\partial x'} \right] \\
= k_f \left[\frac{1}{r'} \frac{\partial}{\partial r'} \left(r' \frac{\partial T'_f}{\partial r'} \right) + \frac{1}{Pe^2} \frac{\partial^2 T'_f}{\partial x'^2} \right] \quad \Rightarrow
\end{aligned}$$

$$\left[k_f \frac{\partial T'_f}{\partial t'} + (1 - r'^2) k_f \frac{\partial T'_f}{\partial x'} \right] = k_f \left[\frac{1}{r'} \frac{\partial}{\partial r'} \left(r' \frac{\partial T'_f}{\partial r'} \right) + \frac{1}{Pe^2} \frac{\partial^2 T'_f}{\partial x'^2} \right] \quad \text{ve akışkan için}$$

boyutsuz diferansiyel denklem;

$$\frac{\partial T'_f}{\partial t'} + (1 - r'^2) \frac{\partial T'_f}{\partial x'} = \frac{1}{r'} \frac{\partial}{\partial r'} \left(r' \frac{\partial T'_f}{\partial r'} \right) + \frac{1}{Pe^2} \frac{\partial^2 T'_f}{\partial x'^2} \quad (32)$$

elde edilir.

Isıl gelişme bölgesi problemlerinde genellikle olduğu gibi bu çalışmada da boyutsuz eksenel uzunluğun, x' , tanımı için $\frac{x}{r_{wi}}$ yerine $\frac{x}{r_{wi}Pe} = \frac{2}{Gz}$ kullanılmıştır. Bu, denklem (32) de görüldüğü gibi Pe parametresinin eksenel iletim terimi içerisinde yer olmasını sağlar. Peclet sayısı büyükçe eksenel iletimin etkisi küçülür ve bu terim ihmal edilebilir. Böylece problem Peclet sayısından, dolayısıyla Reynolds ve Prandtl sayılarından bağımsız hale gelir.

Başlangıç ve sınır şartları da şu şekilde boyutsuz hale getirilebilir;

Başlangıç şartı (10-a) ;

$t=0$ için $t'=0$ ve $T_w=T_0$ için $T'_w=0$ olur. Böylece;

$$t'=0 \quad \text{iken} \quad T'_w = 0 \quad (33)$$

Üst akış bölgesinin uzağında (10-b) ;

$x = -\infty$ için $x' = -\infty$ ve $T_w=T_0$ için $T'_w=0$ olur. Böylece;

$$x' = -\infty \quad \text{da} \quad T'_w = 0 \quad (34)$$

Alt akış bölgesinin uzağında (10-c) ;

$x=+\infty$ için $x'=+\infty$ ve denklem (29) 'dan $\frac{\partial T_w}{\partial x}=0$ için $\frac{\partial T'_w}{\partial x'}=0$ ve $T_w=T_1$

für $T'_w=1$ olur. Böylece

$$x'=+\infty \quad \text{da} \quad \frac{\partial T'_w}{\partial x'} = 0 \quad \text{ve sürekli rejimde} \quad T'_w = 1 \quad (35)$$

Üst akış bölgesinde, dış yüzeyde (10-d) şartı;

$r = r_w + d$ için $r' = 1 + d'$ ve $x < 0$ ise $x' < 0$ olur. Ayrıca denklem (27) den $\frac{\partial T_w}{\partial r} = 0$ için $\frac{\partial T'_w}{\partial r'} = 0$ olur. Böylece

$$r' = 1 + d' \text{ de } x' < 0 \text{ için } T'_w = 0 \quad (36)$$

Alt akış bölgesinde, dış yüzeyde (10-e) ;

$r = r_w + d$ için $r' = 1 + d'$ ve $x \geq 0$ için $x' \geq 0$ olur. Ayrıca $T_w = T'_w(T_1 - T_0) + T_0$

ve denklem (27) 'den $\frac{\partial T}{\partial r} = \frac{T_1 - T_0}{r_{wi}} \frac{\partial T'_w}{\partial r'}$; (10-e) denklemine taşınırsa;

$$\begin{aligned} -k_w \frac{T_1 - T_0}{r_{wi}} \frac{\partial T'_w}{\partial r'} &= h_o [(T'_w(T_1 - T_0) + T_0 - T_1)] \Rightarrow \\ -k_w \frac{T_1 - T_0}{r_{wi}} \frac{\partial T'_w}{\partial r'} &= h_o (T_1 - T_0)(T'_w - 1) \rightarrow \frac{\partial T'_w}{\partial r'} + \frac{h_o r_{wi}}{k_w} (T'_w - 1) = 0 \quad \text{ve} \quad Bi = \frac{h_o r_{wi}}{k_w} \end{aligned}$$

ile

$$r' = 1 + d' \quad \text{ve} \quad x \geq 0 \quad \text{da} \quad \frac{\partial T'_w}{\partial r'} + Bi(T'_w - 1) = 0 \quad (37)$$

Ara yüzeyde (10-f,g) ;

$r = r_w$ için $r' = 1$ ve $T_w = T_f$ için $T'_w = T'_f$ yazılabilir. Diğer taraftan, denklem

(27) ile (10-g) şartı $k_w \frac{T_1 - T_0}{r_w} \frac{\partial T'_w}{\partial r'} = k_f \frac{T_1 - T_0}{r_w} \frac{\partial T'_f}{\partial r'}$ ve $k_{wf} = \frac{k_w}{k_f}$ ile

$$r' = 1 \quad \text{de} \quad T'_w = T'_f \quad \text{ve} \quad \frac{\partial T'_w}{\partial r'} = \frac{1}{k_{wf}} \frac{\partial T'_f}{\partial r'} \quad (38-a,b)$$

Başlangıç şartı (12-a) ;

(10-a) 'ya benzer şekilde

$$t' = 0 \quad \text{da} \quad T'_f = 0 \quad (39)$$

Üst akış bölgesinin uzağında (12-b) ;

(10-b) 'ye benzer şekilde

$$x' = -\infty \quad \text{da} \quad T'_f = 0 \quad (40)$$

Alt akış bölgesinin uzağında (12-c) ;

(10-c) 'ye benzer şekilde

$$x' = +\infty \text{ da } \frac{\partial T'_f}{\partial x'} = 0 \text{ ve sürekli rejimde } T'_f = 1 \quad (41)$$

Ara yüzeyde (12-d,e) ;

(10-f,g) 'ye benzer şekilde

$$r' = 1 \text{ de } T'_f = T'_w \quad \text{ve} \quad \frac{\partial T'_f}{\partial r'} = k_{wf} \frac{\partial T'_w}{\partial r'} \quad (42-a,b)$$

Boru ekseninde (12-f) ;

$r=0$ için $r'=0$ ve denklem (27) 'den $\frac{\partial T_f}{\partial r} = 0$ için $\frac{\partial T'_f}{\partial r'} = 0$ olur. Böylece;

$$r'=0 \text{ da } \frac{\partial T'_f}{\partial r'} = 0 \quad (43)$$

Böylece problem boyutsuz formda yeniden şu şekilde formüle edilebilir.

Cidar için diferansiyel denklem;

$$\frac{1}{\alpha_{wf}} \frac{\partial T'_w}{\partial t'} = \frac{1}{r'} \frac{\partial}{\partial r'} \left(r' \frac{\partial T'_w}{\partial r'} \right) + \frac{1}{Pe^2} \frac{\partial^2 T'_w}{\partial x'^2} \quad (44)$$

Başlangıç ve sınır şartları;

$$t'=0 \text{ da } T'_w = 0 \quad (45-a)$$

$$x' = -\infty \text{ da } T'_w = 0 \quad (45-b)$$

$$x' = +\infty \text{ da } \frac{\partial T'_w}{\partial x'} = 0 \quad (\text{sürekli rejimde } T'_w = 1) \quad (45-c)$$

$$r' = 1+d' \text{ de } x' < 0 \text{ için } \frac{\partial T'_w}{\partial r'} = 0 \quad (45-d)$$

$$r' = 1+d' \text{ de } x \geq 0 \text{ için} \quad \frac{\partial T'_w}{\partial r'} + Bi \left(T'_w - 1 \right) = 0 \quad (45-e)$$

$$r' = 1 \text{ de } T'_w = T'_f \text{ ve} \quad \frac{\partial T'_w}{\partial r'} = \frac{1}{k_{wf}} \frac{\partial T'_f}{\partial r'} \quad (45-f,g)$$

Akışkan için diferansiyel denklem;

$$\frac{\partial T'_f}{\partial t'} + (1-r'^2) \frac{\partial T'_f}{\partial x'} = \frac{1}{r'} \frac{\partial}{\partial r'} \left(r' \frac{\partial T'_f}{\partial r'} \right) + \frac{1}{Pe^2} \frac{\partial^2 T'_f}{\partial x'^2} \quad (46)$$

Başlangıç ve sınır şartları;

$$t'=0 \text{ da } T'_f = 0 \quad (47-a)$$

$$x' = -\infty \text{ da } T'_f = 0 \quad (47-b)$$

$$x' = +\infty \text{ da } \frac{\partial T'_f}{\partial x'} = 0 \quad (\text{sürekli rejimde } T'_f = 1) \quad (47-c)$$

$$r' = 1 \text{ de } T'_f = T'_w \text{ ve} \quad \frac{\partial T'_f}{\partial r'} = k_{wf} \frac{\partial T'_w}{\partial r'} \quad (47-d,e)$$

$$r' = 0 \text{ da} \quad \frac{\partial T'_f}{\partial r'} = 0 \quad (47-f)$$

Yığık sıcaklık, ara yüzeyde ısı akısı ve Nusselt sayısı ise boyutsuz formda aşağıdaki gibi ifade edilebilir.

Boyutsuz yığık sıcaklık;

$$T_b' = \frac{T_b - T_0}{T_1 - T_0} \quad (48)$$

şeklinde tanımlanırsa, denklem (14), (17) ve (19) ile

$$T_b' = \frac{\frac{4}{r_{wi}^2} \int_0^1 r' r_{wi} (1-r'^2) [(T_1 - T_0) T_f' + T_0] d(r' r_{wi}) - T_0}{T_1 - T_0}$$

$$= \frac{(T_1 - T_0) 4 \int_0^1 r' (1 - r'^2) T_f' dr' + T_0 \left[4 \int_0^1 r' (1 - r'^2) dr' - 1 \right]}{T_1 - T_0}$$

ve $4 \int_0^1 r' (1 - r'^2) dr' = 1$ olduğu için

$$T_b' = 4 \int_0^1 r' (1 - r'^2) T_f' dr' \quad (49)$$

Boyutsuz ara yüzey ısı akısı;

$$\dot{q}_{wi} = \frac{q_{wi}}{k_f (T_1 - T_0) / r_{wi}} \quad (50)$$

şeklinde tanımlanırsa, denklemler (15) ve (27) ile

$$\dot{q}_{wi}' = \frac{-k_f \frac{(T_1 - T_0)}{r_{wi}} \left(\frac{\partial T_f'}{\partial r'} \right)_{r'=1}}{k_f (T_1 - T_0) / r_{wi}} = -\left(\frac{\partial T_f'}{\partial r'} \right)_{r'=1} \quad (51)$$

$$\text{ve denklemler (16), (27) ve (48) ile } Nu = \frac{-2r_{wi} \frac{T_1 - T_0}{r_{wi}} \left(\frac{\partial T_f'}{\partial r'} \right)_{r'=1}}{(T_1 - T_0) T_{wi}' + T_0 - (T_1 - T_0) T_b' - T_0}$$

$$Nu = \frac{-2 \left(\frac{\partial T_f'}{\partial r'} \right)_{r'=1}}{T_{wi}' - T_b'} \quad (52)$$

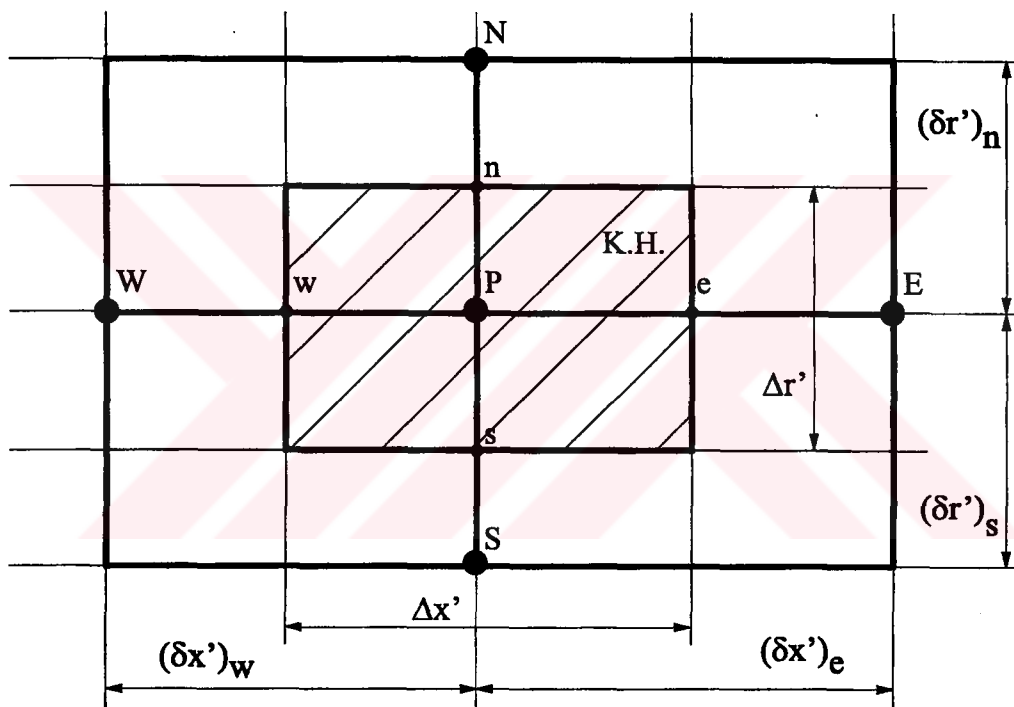
2.3. Sayısal Çözüm

2.3.1. Ayrıklaştırma

Problemin sonlu farklar yöntemiyle çözülebilmesi için diferansiyel denklemlerin başlangıç ve sınır şartlarının ayrıklaştırılması (diskritize edilmesi) gereklidir. Denklem (44) ile denklem (46) 'daki iletim terimleri merkezi fark formül-

leri ile, denklem (46) ‘daki taşınım terimi bir sonraki bölümde açıklanacak olan özel bir formül ile, her iki denklemdeki zamana bağlı terimler ise tam implicit yöntem ile ayırtlaştırılmıştır. Ayırtlaştırma Patankar’ın kontrol hacim yaklaşımı (Patankar, 1980) ile ve Şekil 2.1 ‘de görülen iki boyutlu bir düğüm sistemindeki P noktası çevresinde gerçekleştirılmıştır. Şekildeki notasyon belirtilen referanstaki orijinal haline uygun olarak verilmiştir.

Bölüm 2.3.2 de daha detaylı anlatılacağı gibi, çözüm bölgesinin gerek cidar ve gerekse akışkan tarafı, ara yüzeyde sıcaklıkların ve ısı akılarının süreklilığı şart-



Şekil 2.1. Düğüm sistemi

ları ile bir bütün olarak ele alındığı ve konum koordinatları ile her iki taraf belirgin bir şekilde tanımlanabildiği için, gösterimde sadelik sağlamak gayesi ile bundan sonraki bölmelerde sıcaklıklar için w ve f indisleri kullanılmayacaktır.

2.3.1.1. Diferansiyel denklemelerin ayrıklaştırılması

Cidar tarafı: Denklem (44) 'ün her iki tarafını r' ile çarparak ve T'_w yerine T' yazarak

$$\frac{r'}{\alpha_{wf}} \frac{\partial T'}{\partial t'} = \frac{\partial}{\partial r'} \left(r' \frac{\partial T'}{\partial r'} \right) + \frac{r'}{Pe^2} \frac{\partial^2 T'}{\partial x'^2} \quad (53)$$

şeklinde ifade edilebilir. Bu denklem P noktası çevresindeki kontrol hacminde ve t' ile $t'+\Delta t'$ zaman aralığında integre edilirse; düğüm sıcaklığının tüm kontrol hacim için geçerli olduğu varsayımlı ile soldaki terim için

$$\int_s^n \int_w^e \int_{t'}^{t'+\Delta t'} \frac{r'}{\alpha_{wf}} \frac{\partial T'}{\partial t'} dt' dx' dr' = \frac{r'_P}{\alpha_{wf}} (T'_{P1} - T'_{P0}) \Delta x' \Delta r' \quad \text{elde edilir. Burada } t' \text{ ani 0 üst}$$

indisi ile, $t'+\Delta t'$ ani ise 1 üst indisi ile gösterilmiştir. Denklemin sağ tarafındaki

ilk terim ; $\int_{t'}^{t'+\Delta t'} \int_w^n \int_s^e \frac{\partial}{\partial r'} \left(r' \frac{\partial T'}{\partial r'} \right) dr' dx' dt' =$

$$\begin{aligned} & \int_{t'}^{t'+\Delta t'} \int_w^n \left[\left(r' \frac{\partial T'}{\partial r'} \right)_n - \left(r' \frac{\partial T'}{\partial r'} \right)_s \right] dx' dt' = \int_{t'}^{t'+\Delta t'} \left[r'_n \frac{(T'_N - T'_P)}{(\delta r')_n} - r'_s \frac{(T'_P - T'_W)}{(\delta r')_s} \right] \Delta x' dt' \\ & = f \left[\frac{r'_n (T'_{N1} - T'_{P1})}{(\delta r')_n} - \frac{r'_s (T'_{P1} - T'_{S1})}{(\delta r')_s} \right] - (1-f) \left[\frac{r'_n (T'_{N0} - T'_{P0})}{(\delta r')_n} - \frac{r'_s (T'_{P0} - T'_{S0})}{(\delta r')_s} \right] \Delta x' \Delta t' \end{aligned}$$

de gösterilebilir. Burada f bir ağırlık faktörüdür ve tam implicit yöntemde $f=1$ alınır. Dolayısıyla bu terim; $\left[\frac{r'_n (T'_{N1} - T'_{P1})}{(\delta r')_n} - \frac{r'_s (T'_{P1} - T'_{S1})}{(\delta r')_s} \right] \Delta x' \Delta t'$ halini alacaktır.

Benzer şekilde sağdaki ikinci terim;

$$\int_{t'}^{t'+\Delta t'} \int_s^n \int_e^e \frac{r'}{Pe^2} \frac{\partial^2 T'}{\partial x'^2} dx' dr' dt' = \frac{r'_P}{Pe^2} \left[\frac{T'_{E1} - T'_{P1}}{(\delta x')_e} - \frac{T'_{P1} - T'_{W1}}{(\delta x')_w} \right] \Delta r' \Delta t' \quad \text{şeklinde ayrıklaştır.}$$

Ayrıklaştırılmış terimler birleştirilerek ve yine sadeleştirme gayesiyle 1 üst indisi kaldırılarak cidar bölgesi için ayrıklaştırılmış denklem için

$$\frac{r'_p}{\alpha_{wf}} \left(T'_P - T'^0_P \right) \Delta x' \Delta r' = \left[\frac{r'_n (T'_N - T'_P)}{(\delta r')_n} - \frac{r'_s (T'_P - T'_S)}{(\delta r')_s} \right] \Delta x' \Delta t' + \frac{r'_p}{Pe^2} \left[\frac{T'_E - T'_P}{(\delta x')_e} - \frac{T'_P - T'_W}{(\delta x')_w} \right] \Delta r' \Delta t' \quad (54)$$

elde edilir. Bu denklem $\Delta t'$ ile bölünerek ve yeniden düzenlenerek şöyle de ifade edilebilir.

$$a_p T'_P = a_E T'_E + a_W T'_W + a_N T'_N + a_S T'_S + a_p^0 T'^0_P \quad (55-a)$$

$$a_E = \frac{r'_p \Delta r'}{Pe^2 (\delta r')_e} \quad (55-b)$$

$$a_W = \frac{r'_p \Delta r'}{Pe^2 (\delta r')_w} \quad (55-c)$$

$$a_N = \frac{r'_n \Delta x'}{(\delta r')_n} = \left[\frac{r'_p}{(\delta r')_n} + 0.5 \right] \Delta x' \quad (55-d)$$

$$a_S = \frac{r'_s \Delta x'}{(\delta r')_s} = \left[\frac{r'_p}{(\delta r')_s} - 0.5 \right] \Delta x' \quad (55-e)$$

$$a_p^0 = \frac{r'_p \Delta x' \Delta r'}{\alpha_{wf} \Delta t'} \quad (55-f)$$

$$a_p = a_E + a_W + a_N + a_S + a_p^0 \quad (55-g)$$

Akışkan tarafı: Denklem (46)'da T'_f yerine T' yazarak ve her iki tarafı r' ile çarparak; $r' \frac{\partial T'}{\partial t'} + (r' - r'^3) \frac{\partial T'}{\partial x'} = \frac{\partial}{\partial r'} \left(r' \frac{\partial T'}{\partial r'} \right) + \frac{r'}{Pe^2} \frac{\partial^2 T'}{\partial x'^2}$ ve yeniden düzenlenerek;

$$r' \frac{\partial T'}{\partial t'} + \frac{\partial}{\partial x'} \left[(r' - r'^3) T' - \frac{r'}{Pe^2} \frac{\partial T'}{\partial x'} \right] = \frac{\partial}{\partial r'} \left(r' \frac{\partial T'}{\partial r'} \right) \quad (56)$$

elde edilir. Bu denklem;

$$r' \frac{\partial T'}{\partial t'} + \frac{\partial J_x}{\partial x} = \frac{\partial J_r}{\partial r} \quad (57)$$

şeklinde de ifade edilebilir. Burada;

$$J_x = (r' - r'^3) T' - \frac{r'}{Pe^2} \frac{\partial T'}{\partial x'} \quad (58)$$

x - yönündeki ısı akısı ve

$$J_r = r' \frac{\partial T'}{\partial r'} \quad (59)$$

r - yönündeki ısı akısı olarak tanımlanmıştır.

Denklem (57) ‘nin sol tarafındaki birinci terim tam implicit yöntem ile sağ taraftaki terim ise sadece iletim terimleri içerdiği için, cidar tarafında olduğu gibi merkezi fark formülleri ile ayırtlaştırılabilir.

Denklem (57) ‘nin sol tarafındaki ikinci terim ise hem iletim hem de taşınım terimleri içermektedir.

Taşınım problemlerinin sonlu farklar yöntemi ile çözümünde yakınsama için merkezi fark formülleri çok düşük Peclet sayılı ($Pe < 2$) akışlar için güvenle kullanılabilir. Bu tarz problemlerde bir alternatif olan “üst akış” (upwind) formülü ise iletim etkisini tümüyle yok saydığı için ancak $Pe > 50$ olan akışlar için uygundur (Patankar, 1980). Halbuki bu çalışmada da etkisi gözönüne alınan akışkan eksenel iletimi genelde $Pe < 50$ olan akışlar için söz konusudur. Bu nedenle burada bu akış şartları için geliştirilen bir ayırtlaştırma formülü kullanılacaktır. Problemin sürekli rejimde tek boyutlu halinin kesin çözümüne dayalı olarak geliştirilen formül, Patankar’ın exact (kesin çözüm) profil olarak isimlendirdiği genel profilin (Patankar, 1980) iki boyutlu (r -, x -) silindirik koordinat sistemleri için bir versiyonu olarak nitelendirilebilir. Daha önce bazı çalışmalarında (Bilir, 1982, 1984 ve 1985) kullanılan profil ile ilgili bilgi (Bilir, 1982) de ayrıntılı olarak verilmiştir ve aşağıda özetlenmiştir.

Denklem (57) ile karakterize edilen problemin bir boyutlu, sürekli hali için diferansiyel denklem;

$$\frac{dJ_x}{dx} = 0 \quad (60)$$

veya

$$\frac{d}{dx} \left[(r' - r'^3) T' - \frac{r'}{Pe^2} \frac{dT'}{dx'} \right] = 0 \quad (61)$$

Herhangi bir radyal konum için $r' = sb$ dir ve $K = Pe^2(1 - r'^2)$ alınarak denklem (61)

$$\frac{\partial^2 T'}{\partial x'^2} - K \frac{\partial T'}{\partial x'} = 0 \quad (62)$$

şeklinde yazılabilir. Bu, ikinci dereceden, tek bilinmeyenli, sabit katsayılı, doğrusal ve homojen diferansiyel denklemin genel çözümü;

$$T' = D_1 + D_2 e^{Kx'} \quad (63)$$

ve $0 \leq x' \leq L'$ gibi bir çözüm aralığında aşağıdaki sınır şartları ile

$$x' = 0 \text{ da } T' = T'_0 \quad (64-a)$$

$$x' = L' \text{ de } T' = T'_{L'} \quad (64-b)$$

$D_1 = T'_0 - \left(\frac{T'_0 - T'_{L'}}{1 - e^{KL'}} \right)$ ve $D_2 = \frac{T'_0 - T'_{L'}}{1 - e^{KL'}}$ elde edilir. Bunlar genel çözümde

yerlerine konularak ve $K = Pe^2(1 - r'^2)$ yazılarak

$$\frac{T' - T'_0}{T'_{L'} - T'_0} = \frac{\exp[Pe^2(1 - r'^2)x'] - 1}{\exp[Pe^2(1 - r'^2)r'] - 1} \quad (65)$$

elde edilir.

Şekil 2.1 'deki düğüm sisteminde e noktasına bu profil şu şekilde uygulanabilir:

$T' = T'_e$, $T'_0 = T'_P$, $T'_{L'} = T'_E$, $L' = (\delta x')_e$ alınarak

$$\frac{T'_e - T'_P}{T'_E - T'_P} = \frac{\exp[Pe^2(1 - r_e'^2)x_e'] - 1}{\exp[Pe^2(1 - r_e'^2)(\delta x')_e] - 1} \quad (66)$$

veya

$$T'_e = T'_P + (T'_E - T'_P) \left\{ \frac{\exp[Pe^2(1-r_e'^2)x_e'] - 1}{\exp[Pe^2(1-r_e'^2)(\delta x')_e] - 1} \right\} \quad (67)$$

Buradan;

$$\frac{dT'}{dx'}_e = (T'_E - T'_P) \left\{ \frac{Pe^2(1-r_e'^2)\exp[Pe^2(1-r_e'^2)x_e']}{\exp[Pe^2(1-r_e'^2)(\delta x')_e] - 1} \right\} \quad (68)$$

yazılabilir. Denklem (58) e noktası için ifade edildiğinde;

$$J_e = \left[(r_e' - r_e'^3)T'_e - \frac{r_e'}{Pe^2} \left(\frac{\partial T'}{\partial x'} \right)_e \right] \quad (69)$$

ve denklemler (67) ve (68) denklem (69)'a taşınarak;

$$J_e = (r_e' - r_e'^3) \left\{ T'_P + (T'_E - T'_P) \left\{ \frac{\exp[Pe^2(1-r_e'^2)x_e'] - 1}{\exp[Pe^2(1-r_e'^2)(\delta x')_e] - 1} \right\} - \frac{r_e'}{Pe^2} \right. \\ \left. \left(T'_E - T'_P \right) \left\{ \frac{Pe^2(1-r_e'^2)\exp[Pe^2(1-r_e'^2)x_e']}{\exp[Pe^2(1-r_e'^2)(\delta x')_e] - 1} \right\} \right\} \quad (70)$$

ve sadeleştirilerek;

$$J_e = (r_e' - r_e'^3) \left\{ T'_P + \frac{T'_P - T'_E}{\exp[Pe^2(1-r_e'^2)(\delta x')_e] - 1} \right\} \quad (71)$$

elde edilir. Benzer şekilde Şekil 2.1 'deki w noktası için

$$J_w = (r'_w - r'^{3}_w) \left\{ T'_W + \frac{T'_W - T'_P}{\exp \left[Pe^2 (1 - r'^{2}_w) (\delta x')_w \right] - 1} \right\} \quad (72)$$

yazılabilir. $J_e - J_w$ yazılarak da denklem (66) 'nın sol tarafındaki ikinci terim ayrıklasırılmış olur. $r'_e = r'^{3}_w = r'_p$ olduğu için ve ısı akışının tüm $\Delta r'$ ara yüzeyi boyunca ve $\Delta t'$ zaman süresince geçerli olduğu varsayılarak

$$J_e - J_w = (r'_p - r'^{3}_p) \left\{ \left[T'_P + \frac{T'_P - T'_E}{\exp \left[Pe^2 (1 - r'^{2}_p) (\delta x')_e \right] - 1} \right] - \left[T'_W + \frac{T'_W - T'_P}{\exp \left[Pe^2 (1 - r'^{2}_p) (\delta x')_w \right] - 1} \right] \right\} \Delta r' \Delta t' \quad (73)$$

elde edilir. Denklem (56) 'nın sol tarafındaki birinci terim tam implicit formül ile sağ tarafındaki terim de merkezi fark formülü ile ayrıklasırılarak denklem (73) ile birlleştirilirse akışkan için ayrıklasırılmış denklem şu şekilde elde edilir.

$$\begin{aligned} & r'_p (T'_P - T'^0_p) \Delta x' \Delta r' + (r'_p - r'^{3}_p) \left\{ \left[T'_P + \frac{T'_P - T'_E}{\exp \left[Pe^2 (1 - r'^{2}_p) (\delta x')_e \right] - 1} \right] \right. \\ & \left. - \left[T'_W + \frac{T'_W - T'_P}{\exp \left[Pe^2 (1 - r'^{2}_p) (\delta x')_w \right] - 1} \right] \right\} \Delta r' \Delta t' \\ & = \left[\frac{r'_n (T'_N - T'_P)}{(\delta r')_n} - \frac{r'_s (T'_P - T'_S)}{(\delta r')_s} \right] \Delta x' \Delta t' \end{aligned} \quad (74)$$

Bu denklem $\Delta t'$ ile bölünerek ve yeniden düzenlenerek şöyle de ifade edilebilir.

$$a_p T'_P = a_E T'_E + a_W T'_W + a_N T'_N + a_S T'_S + a_p^0 T'^0_P \quad (75-a)$$

$$a_E = \frac{(r'_p - r'^{3}_p)}{\exp \left[Pe^2 (1 - r'^{2}_p) (\delta x')_e \right] - 1} \Delta r' \quad (75-b)$$

$$a_W = (r'_p - r'^{3}_p) \left\{ \frac{\exp \left[Pe^2 (1 - r'^{2}_p) (\delta x')_w \right]}{\exp \left[Pe^2 (1 - r'^{2}_p) (\delta x')_w \right] - 1} \right\} \Delta r' \quad (75-c)$$

$$a_N = \frac{r_n' \Delta x'}{(\delta r')_n} = \left[\frac{r_p'}{(\delta r')_n} + 0.5 \right] \Delta x' \quad (75-d)$$

$$a_S = \frac{r_s' \Delta x'}{(\delta r')_s} = \left[\frac{r_p'}{(\delta r')_s} - 0.5 \right] \Delta x' \quad (75-e)$$

$$a_P^0 = \frac{r_p' \Delta x' \Delta r'}{\Delta t'} \quad (75-f)$$

$$a_P = a_E + a_W + a_N + a_S + a_P^0 \quad (75-g)$$

2.3.1.2. Başlangıç ve sınır şartlarının ayrıklaştırılması

Başlangıç ya da sınır şartı olarak sıcaklıkların belirtildiği durumlar dışındaki şartların geçerli olduğu düğüm noktaları için yeni ayrıklaştırılmış denklemlerin elde edilmesi gereklidir.

Alt akış bölgesinin uzağında (45-c) :

$$x' = +\infty \text{ da } \frac{\partial T_w'}{\partial x'} = 0 \Rightarrow \left. \frac{\partial T'}{\partial x'} \right)_P = \frac{T_E' - T_W'}{(\delta x')_e + (\delta x')_w} = 0 \Rightarrow T_E' = T_W' \text{ olur.}$$

Sınırda $(\delta x')_e = (\delta x')_w$ alınırsa; denklem (46) 'nın sağ tarafındaki ikinci terim,

$$\frac{r_p'}{Pe^2} \left[\frac{T_E' - T_p'}{(\delta x')_e} - \frac{T_p' - T_w'}{(\delta x')_w} \right] \Delta r' \Delta t' = \frac{2r_p'}{Pe^2} \left[\frac{T_w' - T_p'}{(\delta x')_w} \right] \Delta r' \Delta t' \text{ haline gelir. Böylece}$$

(45-c) şartının geçerli olduğu durumlarda ayrıklaştırılmış denklem şu hale gelir.

$$a_P T_P' = a_E T_E' + a_W T_W' + a_N T_N' + a_S T_S' + a_P^0 T_P'^0 \quad (76-a)$$

$$a_E = 0 \quad (76-b)$$

$$a_w = \frac{2r_p'}{Pe^2} \frac{\Delta r'}{(\delta x')_w} \quad (76-c)$$

$$a_N = \left[\frac{r'_p}{(\delta r')_n} + 0.5 \right] \Delta x' \quad (76-d)$$

$$a_S = \left[\frac{r'_p}{(\delta r')_s} - 0.5 \right] \Delta x' \quad (76-e)$$

$$a_P^0 = \frac{r'_p \Delta r' \Delta x'}{\alpha_{wf} \Delta t'} \quad (76-f)$$

$$a_P = a_E + a_W + a_N + a_S + a_P^0 \quad (76-g)$$

Üst akış bölgesinde, dış yüzeyde (45-d) :

$$r'=1+d' \quad \text{de} \quad x'<0 \quad \text{için} \quad \frac{\partial T'_w}{\partial x'} = 0 \quad \Rightarrow \quad \left. \frac{\partial T'}{\partial r'} \right)_P = \frac{T'_N - T'_S}{(\delta r')_n + (\delta r')_s} = 0 \quad \Rightarrow$$

$T'_N - T'_S = 0$ olur. $(\delta r')_n = (\delta r')_s$ alınırsa, denklem (54) 'ün sağ tarafındaki

birinci terim, $\left\{ r'_n \left[\frac{(T'_s - T'_p)}{(\delta r')_s} \right] - r'_s \left[\frac{(T'_p - T'_s)}{(\delta r')_s} \right] \right\} \Delta x' \Delta t'$ Burada

$r'_n = r'_p + 0.5(\delta r')_n = r'_p + 0.5(\delta r')_s$ ve $r'_s = r'_p - 0.5(\delta r')_s$ yazılıarak

$$2r'_p \left[\frac{(T'_s - T'_p)}{(\delta r')_s} \right] \Delta x' \Delta t' \quad \text{haline gelir. Böylece ayrılaştırılmış denklem şu şekilde}$$

dönüşür.

$$a_P T'_P = a_E T'_E + a_W T'_W + a_N T'_N + a_S T'_S + a_P^0 T'_P^0 \quad (77-a)$$

$$a_E = \frac{\Delta r'}{Pe^2 (\delta x')_e} \quad (77-c)$$

$$a_W = \frac{\Delta r'}{Pe^2 (\delta x')_w} \quad (77-c)$$

$$a_N = 0 \quad (77-b)$$

$$a_S = \frac{2\Delta x'}{(\delta r')_s} \quad (77-d)$$

$$a_P^0 = \frac{\Delta r' \Delta x'}{\alpha_{w'} \Delta t'} \quad (77-f)$$

$$a_P = a_E + a_W + a_N + a_S + a_P^0 \quad (77-g)$$

Alt akış bölgesinde, dış yüzeyde (45-e) :

$$r'=1+d' \quad \text{ve} \quad x \geq 0 \quad \text{icin} \quad \frac{\partial T'_w}{\partial r'} + Bi(T'_w - 1) = 0 \quad . \quad \text{Sınırda} \quad (\delta r')_n = (\delta r')_s \quad \text{alınırsa,}$$

$$\left. \frac{\partial T'_w}{\partial r'} \right)_P = \frac{T'_N - T'_S}{2(\delta r')_s} \quad \text{ve} \quad \frac{T'_N - T'_S}{2(\delta r')_s} + Bi(T'_P - 1) = 0 \Rightarrow T'_N = T'_S - 2(\delta r')_s Bi (T'_P - 1)$$

Bu ifade, denklem (54) 'ün sağ tarafındaki birinci terimde yerine yazılacak olursa;

$$\left\{ r'_n \left[\frac{T'_S - 2(\delta r')_s Bi (T'_P - 1) - T'_P}{(\delta r')_s} \right] - r'_s \left[\frac{T'_P - T'_S}{(\delta r')_s} \right] \right\} \Delta x' \Delta t'$$

$$r'_n = r'_p + 0.5(\delta r')_n = r'_p + 0.5(\delta r')_s \quad \text{ve} \quad r'_s = r'_p - 0.5(\delta r')_s \quad \text{yazılarak;}$$

$$\left\{ \frac{2r'_p}{(\delta r')_s} (T'_S - T'_P) - Bi [2r'_p + (\delta r')_s] T'_P + Bi [2r'_p + (\delta r')_s] \right\} \Delta x' \Delta t' \quad \text{elde edilir. Böylece}$$

ayırıklaştırılmış denklem;

$$a_P T'_P = a_E T'_E + a_W T'_W + a_N T'_N + a_S T'_S + a_P^0 T'_P^0 + b \quad (78-a)$$

$$a_E = \frac{r'_p \Delta r'}{Pe^2 (\delta x')_e} \quad (78-b)$$

$$a_W = \frac{r'_p \Delta r'}{Pe^2 (\delta x')_w} \quad (78-c)$$

$$a_N = 0 \quad (78-d)$$

$$a_s = \frac{2r_p' \Delta x'}{(\delta r')_s} \quad (78-e)$$

$$a_p^0 = \frac{r_p' \Delta x' \Delta r'}{\alpha_{wf} \Delta t'} \quad (78-f)$$

$$b = Bi [2r_p' + (\delta r')_s] \Delta x' \quad (78-g)$$

$$a_p = a_E + a_W + a_N + a_S + a_p^0 + b \quad (78-h)$$

Ara yüzeyde (45-g) veya (47-e) :

$$r'=1 \quad \text{de} \quad \frac{\partial T_w'}{\partial r'} = \frac{1}{k_{wf}} \frac{\partial T_f'}{\partial r'} \quad . \quad \text{Patankar'ın harmonic ortalama yöntemi ile}$$

(Patankar, 1980) denklem (54) 'ün sağ tarafındaki ilk terim;

$$\left\{ r_n' \left[\frac{T_N' - T_p'}{(\delta r')_n} \right] - \frac{r_s'}{k_{wf}} \left[\frac{T_p' - T_s'}{(\delta r')_s} \right] \right\} \Delta x' \Delta t' \quad \text{şekline dönüşür. Bu durumda ayrıklas-}$$

tırılmış denklem;

$$a_p T_p' = a_E T_E' + a_W T_W' + a_N T_N' + a_S T_S' + a_p^0 T_p'^0 \quad (79-a)$$

$$a_E = \frac{r_p' \Delta r'}{Pe^2 (\delta x')_e} \quad (79-b)$$

$$a_W = \frac{r_p' \Delta r'}{Pe^2 (\delta x')_w} \quad (79-c)$$

$$a_N = \left(\frac{r_p'}{(\delta r')_n} + 0.5 \right) \Delta x' \quad (79-d)$$

$$a_S = \left(\frac{r_p'}{(\delta r')_s} - 0.5 \right) \frac{\Delta x'}{k_{wf}} \quad (79-e)$$

$$a_P^0 = \frac{r_p' \Delta x' \Delta r'}{\alpha_{wf} \Delta t'} \quad (79-f)$$

$$a_P = a_E + a_W + a_N + a_S + a_P^0 \quad (79-g)$$

Alt akış bölgesinin uzağında (47-c) :

$$x' = +\infty \text{ da } \frac{\partial T_f'}{\partial x'} = 0 \Rightarrow \left. \frac{\partial T_f'}{\partial x'} \right)_P = \frac{T_E' - T_W'}{(\delta x')_e + (\delta x')_w} = 0 \Rightarrow T_E' = T_W'$$

Ayrıca; $(\delta x')_e = (\delta x')_w$ alınarak denklem (74)'ün sol tarafındaki ikinci terim,

$$(r_p' - r_p'^3) \left[\left(T_P' + \frac{T_P' - T_W'}{\exp[Pe^2(1-r_p'^2)(\delta x')_w] - 1} \right) - \left(T_W' + \frac{T_W' - T_P'}{\exp[Pe^2(1-r_p'^2)(\delta x')_w] - 1} \right) \right] \Delta r' \Delta t'$$

ve sadeleştirilirse

$$(r_p' - r_p'^3) \left[\left(T_P' - T_W' + \frac{2(T_P' - T_W')}{\exp[Pe^2(1-r_p'^2)(\delta x')_w] - 1} \right) \right] \Delta r' \Delta t' \quad \text{Böylece ayrıklas-tırılmış}$$

denklem şu hale gelir.

$$a_P T_P' = a_E T_E' + a_W T_W' + a_N T_N' + a_S T_S' + a_P^0 T_P'^0 \quad (80-a)$$

$$a_E = 0 \quad (80-b)$$

$$a_W = \left\{ \frac{\exp[Pe^2(1-r_p'^2)(\delta x')_w] + 1}{\exp[Pe^2(1-r_p'^2)(\delta x')_w] - 1} \right\} (r_p' - r_p'^3) \Delta r' \quad (80-c)$$

$$a_N = \left(\frac{r_p'}{(\delta r')_n} + 0.5 \right) \Delta x' \quad (80-d)$$

$$a_s = \left(\frac{r_p'}{(\delta r')_s} - 0.5 \right) \Delta x' \quad (80-e)$$

$$a_p^0 = \frac{r_p' \Delta x' \Delta r'}{\Delta t'} \quad (80-f)$$

$$a_p = a_E + a_W + a_N + a_S + a_p^0 \quad (80-g)$$

Boru ekseninde (47-f) :

$$r'=0 \text{ da } \frac{\partial T_f'}{\partial r'} = 0 \Rightarrow T'_N = T'_S \text{ ve } (\delta r')_n = (\delta r')_s \text{ alınarak denklem (74)'ün}$$

$$\text{sağ tarafı; } \left\{ r_n' \left[\frac{(T_N' - T_P')}{(\delta r')_n} \right] - r_s' \left[\frac{(T_P' - T_N')}{(\delta r')_n} \right] \right\} \Delta x' \Delta t' \Rightarrow r_n' = r_p' + 0.5(\delta r')_n \text{ ve}$$

$$r_s' = r_p' - 0.5(\delta r')_s = r_p' - 0.5(\delta r')_n \text{ yazılıarak } 2r_p' \left[\frac{T_N' - T_P'}{(\delta r')_n} \right] \Delta x' \Delta t' \text{ halini alır.}$$

Böylece ayrıklığılmış denklem;

$$a_p T_p' = a_E T_E' + a_W T_W' + a_N T_N' + a_S T_S' + a_p^0 T_p'^0 \quad (81-a)$$

$$a_E = \frac{(1 - r_p'^2) \Delta r'}{\exp[Pe^2(1 - r_p'^2)(\delta x')_e] - 1} \quad (81-b)$$

$$a_w = \left\{ \frac{\exp[Pe^2(1 - r_p'^2)(\delta x')_w]}{\exp[Pe^2(1 - r_p'^2)(\delta x')_w] - 1} \right\} (1 - r_p'^2) \Delta r' \quad (81-c)$$

$$a_N = \frac{2}{(\delta r')_n} \Delta x' \quad (81-d)$$

$$a_S = 0 \quad (81-e)$$

$$a_p^0 = \frac{\Delta x' \Delta r'}{\Delta t'} \quad (81-f)$$

$$a_p = a_E + a_W + a_N + a_S + a_p^0 \quad (81-g)$$

Sınırların ve sınır şartlarının kesiştiği köşe noktalarında ise ayrıklanılmış denklemler aşağıdaki gibidir.

Alt akış bölgesinin uzağında, dış yüzeyde (45-c) ve (45-e) :

$$(45\text{-c}) \text{ şartından denklem (54)'ün sağ tarafındaki ikinci terim } \frac{2r'_P}{Pe^2} \left[\frac{T'_W - T'_P}{(\delta r')_w} \right] \Delta r' \Delta t'$$

ve (45-e) şartından sağ taraftaki birinci terim;

$$\left\{ \frac{2r'_P}{(\delta r')_s} (T'_S - T'_P) - Bi [2r'_P + (\delta r')_s] T'_P + Bi [2r'_P + (\delta r')_s] \right\} \Delta x' \Delta t' \quad \text{ve} \quad \text{böylece}$$

ayırıklaştırılmış denklem;

$$a_P T'_P = a_E T'_E + a_W T'_W + a_N T'_N + a_S T'_S + a_P^0 T'_P^0 + b \quad (82\text{-a})$$

$$a_E = 0 \quad (82\text{-b})$$

$$a_W = \frac{2r'_P \Delta r'}{Pe^2 (\delta r')_w} \quad (82\text{-c})$$

$$a_N = 0 \quad (82\text{-d})$$

$$a_S = \frac{2r'_P \Delta x'}{(\delta r')_s} \quad (82\text{-e})$$

$$a_P^0 = \frac{r'_P \Delta x' \Delta r'}{\alpha_{wf} \Delta t'} \quad (82\text{-f})$$

$$b = Bi [2r'_P + (\delta r')_s] \Delta x' \quad (82\text{-g})$$

$$a_P = a_E + a_W + a_N + a_S + a_P^0 + b \quad (82\text{-h})$$

Alt akış bölgesinin uzağında, ara yüzeyde (45-c) ve (45-g) :

(45-c) şartından denklem (54)'ün sağ tarafındaki ikinci terim,

$$\frac{2r'_P}{Pe^2} \left[\frac{T'_W - T'_P}{(\delta x')_w} \right] \Delta x' \Delta t' \quad \text{ve (45-g) şartından sağ taraftaki birinci term;}$$

$$\left\{ r'_n \left[\frac{T'_N - T'_P}{(\delta r')_n} \right] - \frac{r'_s}{k_{wf}} \left[\frac{T'_P - T'_S}{(\delta r')_s} \right] \right\} \Delta x' \Delta t' . \quad \text{Böylece ayrıklanmış denklem;}$$

$$a_P T'_P = a_E T'_E + a_W T'_W + a_N T'_N + a_S T'_S + a_P^0 T'_P^0 \quad (83-a)$$

$$a_E = 0 \quad (83-b)$$

$$a_W = \frac{2r'_P \Delta r'}{Pe^2 (\delta x')_w} \quad (83-c)$$

$$a_N = \left(\frac{r'_p}{(\delta r')_n} + 0.5 \right) \Delta x' \quad (83-d)$$

$$a_S = \left(\frac{r'_p}{(\delta r')_s} - 0.5 \right) \frac{\Delta x'}{k_{wf}} \quad (83-e)$$

$$a_P^0 = \frac{r'_P \Delta r' \Delta x'}{\alpha_{wf} \Delta t'} \quad (83-f)$$

$$a_P = a_E + a_W + a_N + a_S + a_P^0 \quad (83-g)$$

Alt akış bölgesinin uzağında, boru ekseninde (47-e) ve (47-f) :

(47-e) şartından denklem (74) 'ün sol tarafındaki ikinci term,

$$(r'_p - r'^3_p) \left\{ T'_P - T'_W + \frac{2(T'_P - T'_W)}{\exp[Pe^2(1-r'^2_p)(\delta x')_w] - 1} \right\} \Delta r' \Delta t' \quad \text{ve (47-f) şartından}$$

denklem (74) 'ün sağ tarafı, $2r'_P \left[\frac{T'_N - T'_P}{(\delta r')_n} \right] \Delta x' \Delta t'$ Böylece ayrıklanmış denklem;

$$a_P T'_P = a_E T'_E + a_W T'_W + a_N T'_N + a_S T'_S + a_P^0 T'_P^0 \quad (84-a)$$

$$a_E = 0 \quad (84-b)$$

$$a_w = \left\{ \frac{\exp[Pe^2(1-r_p'^2)(\delta r')_w] + 1}{\exp[Pe^2(1-r_p'^2)(\delta r')_w] - 1} \right\} (1-r_p'^2) \Delta r' \quad (84-c)$$

$$a_N = \frac{2\Delta r'}{(\delta r')_n} \quad (84-d)$$

$$a_S = 0 \quad (84-e)$$

$$a_P^0 = \frac{\Delta x' \Delta r'}{\Delta t'} \quad (84-f)$$

$$a_P = a_E + a_W + a_N + a_S + a_P^0 \quad (84-g)$$

2.3.2. Çözüm

Sıcaklık dağılımı, ayrıklAŞırlıMış denklemler kullanılarak Gauss-Seidel iterasyon yöntemiyle belirlendi. Eksenel simetri nedeniyle radyal yönde cidar dış yüzeyi ile boru ekseni arasında sınırlanan hesaplama bölgesinin, eksenel yönde hem üst akış hem de alt akış bölgelerindeki sınırları ise benzer bir çalışma (Bilir, 1994) sonuçlarından tahmin edilerek belirlendi. Bu sınırlar seyrek düğüm noktası sistemleri ile denendi ve gerek cidar tarafında gerekse akışkan tarafında $x = -\infty$ ve $x = +\infty$ daki sınır şartlarının sağlandığı kontrol edildi.

Düğüm noktaları hem cidar hem de akışkan tarafına dağıtıldı. Yapılan denemeler ile hesaplama bölge sine radyal yönde 16 adet kontrol hacim yerleştirilmesi tamınkar sonuçlar verdi. Bunlardan 8'i cidar tarafına diğer 8'i ise akışkan tarafına yerleştirildi. Cidar tarafında radyal basamak uzunlukları birbirine eşit ve $d'/8$ olarak alındı. Akışkan tarafında ise ilk dört radyal basamak uzunluğu cidar-akışkan ara yüzeyine yakın tarafta cidar tarafındakine eşit, eksen tarafındaki diğer dört kontrol hacmin radyal yönündeki basamak uzunluğu ise kalan mesafeyi dört eşit parçaya bölerek belirlendi. Bu şekilde özellikle ara yüzeye yakın bölgelerde düğüm noktaları sıklaştırılarak hassasiyet artırılmış oldu. Aynı nedenle eksenel

yönde de borunun ısıtılmaya başlandığı kesit civarında ($x=0$) daha sık düğüm noktası kullanıldı. Bu kesitin her iki tarafında da ilk eksenel basamak uzunluğu 0.001 olarak alındı ve hem üst akış hemde alt akış bölgelerine doğru basamak uzunlukları bir öncekinin 1.35 katı arttırılarak eksenel yönde doğrusal olarak gerdirildi. Akış yönündeki toplam düğüm noktası sayısı, hesaplama bölgesinin uzunluğu ile belirlendiği için ve bu uzunluk parametre değerlerine bağlı olarak değiştiği ve özellikle Peclet sayısı ve cidar kalınlık oranından önemli ölçüde etkilendiği için farklı olabilmektedir. Ancak çok uç parametrik değerlerin dışında genellikle 25 düğüm noktası üst akış bölgesinde, 33 düğüm noktası alt akış bölgesinde kullanıldı. Böylece tüm hesaplama bölgesi genel olarak 17 X 58 lik düğüm noktası sistemleri ile karakterize edildi.

Zaman adımı için de çözüm doğruluğunu ya da hassasiyeti artırmak gayesi ile eşit olmayan aralıklar seçildi. İlk zaman adımı 0.0001 olarak alındı. Takip eden zaman adımları bir öncekinin %10 ‘u kadar artırıldı. Böylece, başlangıçta ısı transferi ve karakteristiklerdeki değişim hızlı olduğu için zaman aralıkları küçük alınmış, sürekli rejime yaklaşıldıkça değişim hızı yavaşladığı için, çözüm süresini çok arttırmamak gayesiyle zaman adımları gittikçe büyütülmüş oldu.

Her zaman adımdındaki sıcaklık dağılımı Patankar’ın (1980) çizgi-çizgi (line by line) yöntemiyle belirlendi. Bir deneme esnasında hesaplama bölgesindeki noktaların hangi sıra ile ziyaret edileceği, yakınsamanın hızlandırılması ve çözüme çabuk ulaşmak açısından önemlidir. Araştırmalar, noktalar taranırken öncelikle sıcaklıkların verildiği sınır bölgelerinden içlere doğru ve taşınım problemlerinde akış doğrultusunda hareket etmenin çözümü hızlandırdığını ortaya koymuştur. (Patankar, 1980). Bu nedenle denemeler esnasında düğüm noktaları dış cidardan eksene doğru tarandı ve akış yönünde süpürüldü. Bölüm 2.3.1.2 de bahsedildiği gibi arayüzeydeki sınır şartları ayırtlanırken Patankar’ın (1980) Harmonik ortalama yaklaşımı, (harmonic mean approach), kullanıldığı için, cidar ve akışkan taraflı için denemelerde sıralı (consecutive) çözüm prosedürü yerine sürekli çözüm prosedürü uygulandı. Cidar ve akışkan tarafları arasında bilgi transferi ise ara yüzeye çakışan sınır şartları ile sağlandı. Herhangi bir deneme esnasında, denklem (12-d), dolayısıyla bir önceki denemedede hesaplanmış olan ara yüzey sıcaklıklarını akışkan taraflı için sınır şartı olarak kullanıldı. Denemeye cidar tarafında devam edilirken ise

denklem (10-g), dolayısıyla ara yüzey ısı akıları akışkan tarafından cidar tarafına bilgi aktarmak için kullanıldı.

Çözümlerde hassasiyet limiti 10^{-4} olarak alındı ve bir zaman dilimindeki denemelere tüm noktalar için kontrol hacim enerji denklemlerindeki uyumsuzluk kalanlarının en büyüğü bu değerin altına düşünceye kadar devam edildi. Bir zaman dilimi için toplam deneme sayısı 2'nin altına düştüğü anda da sistem sürekli rejime ulaşmış kabul edildi ve denemelere son verildi.

Çözümler esnasında yakınsamanın bir hayli hızlı olduğu gözlandı. Geçici rejimin başlangıcında nisbeten küçük zaman adımları seçildiği için birkaç denemedede çözüme ulaşılırken, ilerleyen zamanlarda deneme sayısının arttığı, sürekli rejime yaklaşıldıkça da tekrar ve hızla azaldığı görüldü. Deneme sayısı ve zaman adımı sayısı parametre değerlerine bağlı olmakla birlikte, genellikle bir zaman adımı için ortalama 30-100 deneme ve toplam olarak ortalama 4000 denemedede sonuçlara ulaşıldı.

Kullanılan yöntem bazı doğruluk testleri ile de kontrol edildi. Toplam düğüm sayısı ve konumları, tarama ve süpürme yönleri, hassasiyet limiti ve zaman adımları değiştirilerek yapılan çözümler ile elde edilen sonuçlarda ciddi bir farklılık görülmedi. Örnek olarak, toplam düğüm sayısı 17×58 'e kıyasla dört kat artırılarak ya da azaltılarak yapılan denemelerde, boyutsuz ara yüzey ısı akısı, q_{wi} değerlerinde ortalama 0.04 civarında bir farklılık görülmüştür.

Yığık sıcaklıkların, ara yüzey ısı akılarının ve Nusselt sayılarının hesaplanması için kullanılan, denklem (49) daki integral, Simpson sayısal integrasyon yöntemi ile (Hildebrand, 1976), denklem (51) veya denklem (52) deki türev ise Newton-Gregory fark formülleri ile (Spiegel, 1971) hesaplanmıştır. Bu yöntemlerin detayları Ek-A da verilmiştir.

Sıcaklık dağılımını, önceki kısımlarda anlatılan iteratif yöntemle belirleyen ve diğer ısı transferi karakteristiklerini hesaplayan Pascal dilinde bir bilgisayar programı yazılmış ve program listesi Ek-B de verilmiştir. Aynı program içerisinde yer alan bir grafik çözümleme alt programı ile sonuçlar doğrudan grafik tarzında alınabilmektedir. Karakteristik eğrilerinin çiziminde, belirgin çözüm noktalarının arası, Lagrange interpolasyon formülü (Aktaş, Öncül ve Ural, 1981) kullanılarak

belirlenen ara değerler ile doldurulmuştur. Bu yöntemin detayları da yine Ek-A da verilmiştir.

Çözümlerde; 80486/ DX-400 mikroişlemcili, 8 MB ana hafızası olan, 640X480 pixel çözünürlüklü grafik ekrana sahip, IBM uyumlu bir PC kullanılmıştır.



3. SONUÇLAR VE TARTIŞMA

İkinci bölümdeki analizden görüldüğü gibi ele alınan geçici birleşik problem beş parametreye bağlıdır. Bunlar; Peclet sayısı, Pe , Biot sayısı, Bi , cidar kalınlık oranı, d' , cidar-akışkan ısı iletkenlik katsayısı oranı, k_{wf} ve cidar-akışkan ısı yayılım katsayısı oranı, α_{wf} dir. Çözümler bu parametrelerin değişik kombinasyonları için yapılmıştır. $Pe=0.5, 1, 5, 20$; $Bi=1, 10, 100, 1000, 10000$; $d'=0.02, 0.1, 0.3$; $k_{wf}=0.1, 1, 10, 100, 1000$; $\alpha_{wf}=0.1, 1, 10, 100, 1000$. Bu değerler mühendislik açısından uygulamada söz konusu olabilecek değerler arasından ve öngörülen koşulların anlamlı seviyede olabileceği şekilde (örneğin akışkan eksenel iletimi) seçilmiştir.

Taşının ile ısı transferi problemlerinde sonuçlar geleneksel olarak yerel Nusselt sayıları ile ifade edilir. Ancak birleşik problemlerde, tanımında 3 bilinmeyen içeriği için (denklem (52)) bu pek uygun bir yöntem değildir ve sonuçlar daha anlamlı mesaj içeren boyutsuz ara yüzey ısı akışı q_{wi} ile ifade edilir (Faghri ve Sparrow, 1980). Burada da sonuçlar genellikle boyutsuz arayüzey ısı akışı değerleri ile verilmiştir. Ancak geçici birleşik problemin özelliklerini daha iyi görebilmek için bazı sonuçlar yüksık sıcaklık, cidar dış ve iç yüzey sıcaklıklarını ve Nu sayıları ile de ifade edilmişlerdir.

Şekil 3.1 de $Pe=5$, $d'=0.1$, $k_{wf}=10$, $\alpha_{wf}=1$, ve $Bi=10$ için çeşitli zaman aralıklarında boyutsuz arayüzey ısı akısının eksenel dağılımı görülmektedir. Bu değerler ortalama parametre değerleri ile oluşturulan bir tipik kombinasyondur. Diğer parametre değerleri ile de yukarı benzer karakteristikler elde edilmiştir. Şekil 3.1 den görüldüğü gibi gerek cidarda ve gerekse akışkan tarafındaki eksenel iletim nedeniyle üst akış bölgesinde önemli ölçüde ısı transferi gerçekleşmektedir. Zaman ilerledikçe ısının geriye doğru daha fazla yayılması ile akışkanın üst akış tarafındaki bu ön ısıtılma mesafesi de artmaktadır. Diğer taraftan üst akış bölgesinde

başlangıçta cidar eksenel iletimi akışkan eksenel iletimine nazaran daha hızlı gerçekleştiğinden ısı akısı değerleri önceleri artmakta, daha sonra ise akışkan tarafındaki eksenel iletimin etkisini arttırması ile cidar tarafı sıcaklığındaki artış yavaşlarken akışkan tarafı sıcaklığı artmakta ve ısı akısı değerleri azalmaktadır. Bu nedenle farklı zaman dilimlerindeki eğriler birbirlerini kesmektedirler.

Alt akış bölgesinde ise eğriler bir maksimum değere yükselmekte ve önceleri bu değerde sabit kalmakta, ilerleyen zaman içerisinde ise bir miktar düşme olduktan sonra yine belli bir değerde sabit kalmaktadır. Başlangıçta cidardaki hızlı radyal iletim nedeniyle iç yüzey sıcaklıkları akışkan sıcaklığına nazaran daha hızlı artmakta ve buna bağlı olarak ısı transfer hızı artmaktadır. Daha sonraları cidar sıcaklıklarındaki artış hızı azalırken akışkan sıcaklığındaki artış ısı akısı değerlerinin azalmasına neden olmaktadır. Öte yandan zamanla taşının etkisindeki artış hem pik ve ortalama ısı akısı değerlerinin azalmasına hem de ısı akısı değerlerinde alt akış tarafındaki düzgünliğin bozulmasına neden olmaktadır. Bu eğilim sistem sürekli rejime ulaşıcaya kadar devam etmektedir.

Şekil 3.2, 3.3 ve 3.4 de aynı parametre değerleri ile yapılan çözüm için dış yüzey sıcaklığı, ara yüzey sıcaklığı ve yiğik sıcaklık eksenel dağılımının zamana göre değişimleri gösterilmiştir. Şekillerin incelenmesinden her üç sıcaklık için eğrilerin geçici rejimin ilk zamanlarında alt akış bölgesinde ara yüzey ısı akısı eğrilerinde olduğu gibi büyük ölçüde düz olduğu gözlenmektedir. Başlangıç periyodunda üst akış tarafındaki değerlerin nisbeten küçük olduğu ve zaman ilerledikçe gerek cidar ve gerekse akışkan eksenel iletimi nedeniyle arttığı görülmektedir. Yine zaman ilerledikçe her üç sıcaklık profilinin oluşmaya başladığı eksenel konum üst akış bölgesinde daha geriye doğru kaymaktadır. Öte yandan arayüzey sıcaklıklarının ve yiğik sıcaklıkların zamana göre değişimi Şekil 3.3 ve 3.4 de kiyaslandığında, başlangıçta arayüzey sıcaklıklarının yiğik sıcaklıklara nazaran daha hızlı arttığı, ilerleyen zamanlarda ise yiğik sıcaklıkların daha hızlı arttığı gözlenebilir. Bu da ara yüzey ısı akısı değerlerinin başlangıçta artarken daha sonra azalmasını açıklamaktadır.

Beklenildiği gibi sıcaklık profilleri dış yüzey için ara yüzeye göre ve arayüzey için de yiğik sıcaklığa göre daha hızlı gelişmektedir. Her üç sıcaklık için

eğriler sürekli rejimde ve gelişmiş bölgede asimptotik değerleri olan 1'e ulaşmaktadır.

Şekil 3.5 de alt akış bölgesinde yerel Nusselt sayılarının eksenel dağılımının zamana göre değişimi görülmektedir. Şeklin incelenmesinden eğrilerin alt akış bölgesine doğru hafifce yükseldiği ve daha sonra azalmaya başladığı ve ilk zamanlarda sabit kaldığı görülmektedir. Sürekli rejimde Nusselt değerinin bir minimuma erişikten sonra tam gelişmiş bölgede bir miktar yükseldiği görülmektedir. Isı gelişme bölgesinin sonunda gerçekleşen bu artış bazı birleşik problem sonuçlarında da belirtilmiştir, (Bilir, 1995).

Şekil 3.6-3.10 da aynı çözüm için beş farklı eksenel konumda radyal yönde sıcaklık dağılımının zamana göre değişimleri görülmektedir. Şekillerin incelenmesinden cidarda sıcaklıkların akışkan tarafına nazaran daha hızlı arttığı görülmektedir. Yine alt akış tarafında sıcaklıkların üst akış tarafına nazaran daha hızlı arttığı görülmektedir. Isı gelişme bölgesinin sonuna doğru ise sürekli rejimde sıcaklık profilinin asimptotik değeri olan 1' e ulaştığı görülmektedir.

Şekil 3.11-3.13 cidar kalınlık oranının ara yüzey ısı akısına etkisini incelemek amacıyla hazırlanmıştır. Şekiller geçici rejimin 3 farklı zamanı için ve değişik cidar kalınlık oranları için parametrize edilerek çizilmiştir. İnce cidarlı bir boruda ısı direnç ve sistemin ısı kapasitesi düşük olduğu için dış yüzeyden giren ısı ara yüzeye hızlı bir şekilde iletilmektedir. Bu nedenle geçici rejimin başlangıcında ara yüzey ısı akısı değerleri ince cidarlı borular için daha yüksektir (Şekil 3.11). Yine aynı nedenle ince cidarlı borularda daha yüksek ara yüzey sıcaklıkları nedeni ile sürekli rejimde alt akış bölgesindeki ara yüzey ısı akısı değerleri daha yüksektir (Şekil 3.13). Öte yandan ara zaman diliminde bunun tersi bir durum söz konusudur (Şekil 3.12). Zaman ilerledikçe taşınının etkisini artırması ince cidarlı borular için daha erken başladığından, ara zaman diliminde ince cidarlı borularda, kalın cidarlı borulara nazaran daha düşük ısı akısı değerleri ortaya çıkmaktır ve eğriler alt akış bölgesinde birbirlerini kesmektedirler.

İnce cidarlı borularda ortaya çıkan ilginç bir durum da üst akış bölgesinde negatif ara yüzey ısı akısı değerlerinin görülmektedir. Geçici rejimin ilk zamanlarında üst akış bölgesinin hemen başlangıcında düşük miktarda ancak pozitif ısı akısı

değerleri görülmektedir. Zaman ilerledikçe cidarda üst akış tarafına doğru eksenel iletim ile transfer edilen ısı radyal yöndeki direncin çok küçük olması nedeniyle kısa bir mesafede akışkana transfer edilmekte ve akışkan tarafındaki geriye doğru eksenel iletim nedeniyle yiğik sıcaklıklar üst akış bölgesinde ara yüzey sıcaklıklarından daha yüksek olmaktadır. Böylece akışkan tarafından cidar tarafına transfer edilen ısı ince cidarlı borular için negatif ısı akısı değerlerini ortaya çıkarmaktadır.

Kalın cidarlı borularda daha fazla cidar eksenel iletimi nedeni ile üst akış tarafındaki ön ısıtma (veya soğutma) bölgesi daha uzun mesafeye yayılmaktadır. Alt akış bölgesinde ıslılaşma mesafesi ise hemen hemen aynı olmaktadır. Cidar kalınlığı arttıkça artan ıslı atalet nedeni ile sürekli rejime ulaşma süresi de artmaktadır.

Şekil 3.14-3.16 da cidar-akışkan ısı iletkenlik katsayısı oranının, k_{wf} , boyutsuz ara yüzey ısı akısına etkisi görülmektedir. Eğriler geçici rejimin değişik zamanlarında beş farklı k_{wf} değeri için parametrize edilerek çizilmiştir.

Bu şekillerden görüleceği gibi geçici rejimin başlangıç safhalarında büyük k_{wf} değerleri için cidarda radyal yöndeki direnç azaldığından daha büyük ara yüzey ısı akısı değerleri görülmektedir. Öte yandan k_{wf} büyüdükçe cidardaki artan eksenel iletim nedeniyle üst akış tarafındaki ara yüzey ısı akısı değerleri de büyümekte ve profiller üst akış tarafına doğru daha fazla yayılmaktadır. Büyük k_{wf} değerleri için akışkan bölgesine ısının daha kolay transferi, ıslılaşma mesafesinin de kısalmasına neden olmaktadır. Yine büyük k_{wf} , büyük α_{wf} yanı daha az ıslı atalet anlamına geldiği için sürekli rejime ulaşma süresi de daha kısadır. Bu şekillerden çıkarılabilen bir diğer sonuç, k_{wf} 'in etkisinin, bu değer büyüdükçe ve zaman ilerledikçe azaldığıdır. $k_{wf} > 100$ için bu parametrenin değişmesinin etkisinin ihmali edilebileceği söylenebilir.

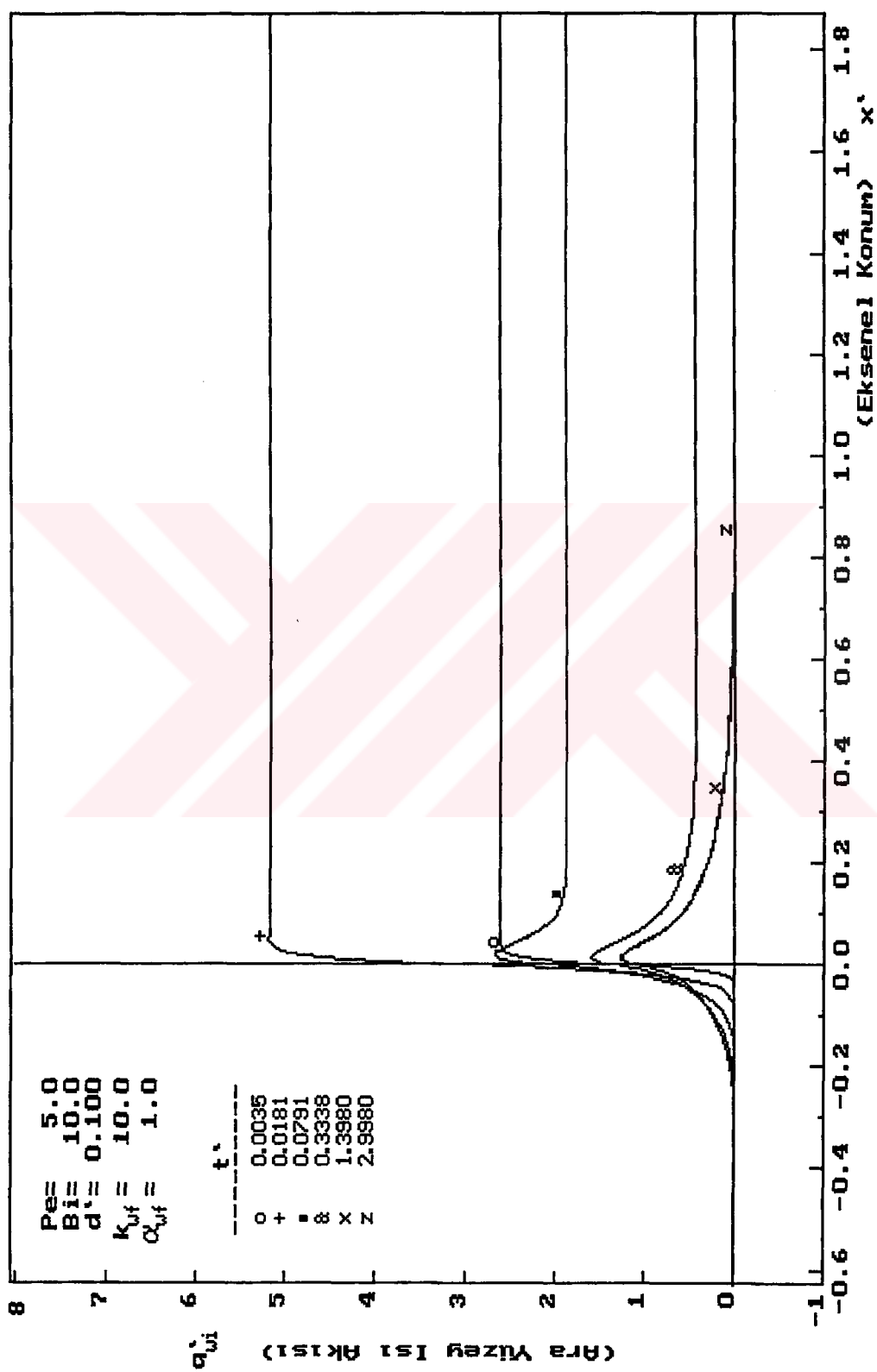
Şekil 3.17-3.19 da cidar-akışkan ıslı yayılım katsayısı oranı, α_{wf} 'in boyutsuz ara yüzey ısı akısına etkisi gösterilmiştir. Şekillerden α_{wf} 'in özellikle geçici rejimin başlangıç ve ara safhalarında önemli etkisinin olduğu görülmektedir. Erken zamanlarda büyük α_{wf} değerleri için cidardaki küçük ıslı kapasite nedeniyle daha yüksek ara yüzey ısı akısı değerleri ortaya çıkmaktadır. Zaman ilerledikçe taşınım etkisinin artması ile ara yüzey ısı akısı değerlerindeki azalma eğilimi büyük α_{wf} değerleri için daha hızlı gelişmektedir. α_{wf} büyüdükçe üst akış tarafındaki ara yüzey

ısı akısı değerleri büyümekte ve üst akış tarafında daha geriye doğru yayılmaktadır. Bu da cidar tarafındaki ıslı ataletin küçülmesi ve iletkenliğin büyümesi nedeni ile cidarda ısının üst akış bölgesinde daha gerilere doğru ve daha hızlı transfer edilmesi ile açıklanabilir. α_{wf} 'in etkisi geçici rejimin ara safhalarında önemli ölçüde görülmekle birlikte sürekli rejime ulaşma süresi ($\alpha_{wf} = 0.1$ hariç) aynı olmaktadır. Yine $\alpha_{wf} = 0.1$ hariç, eğrilerin sürekli rejimdeki son şekli beklenildiği gibi aynı olmaktadır. Bu durum için diğerlerine kıyasla ortaya çıkan farklı bir özellik de ara zaman dilimlerinde üst akış bölgesinde görülen negatif ara yüzey ısı akısı değerleridir. Cidardaki çok yüksek ıslı atalet ara zaman diliminde üst akış bölgesinde akışkan tarafında sıcaklıkların cidar tarafına nazaran daha büyük olmasına ve negatif ara yüzey ısı akısı değerlerinin ortaya çıkmasına neden olmaktadır. Öte yandan yine aynı durum için cidardaki ıslı ataletin çok büyük olması sürekli rejime ulaşma süresinin diğerlerine nazaran bir hayli büyümeye ve cidardaki büyük ıslı kapasitenin ara yüzeye iletilen ısıyı azaltması neden olarak gösterilebilir.

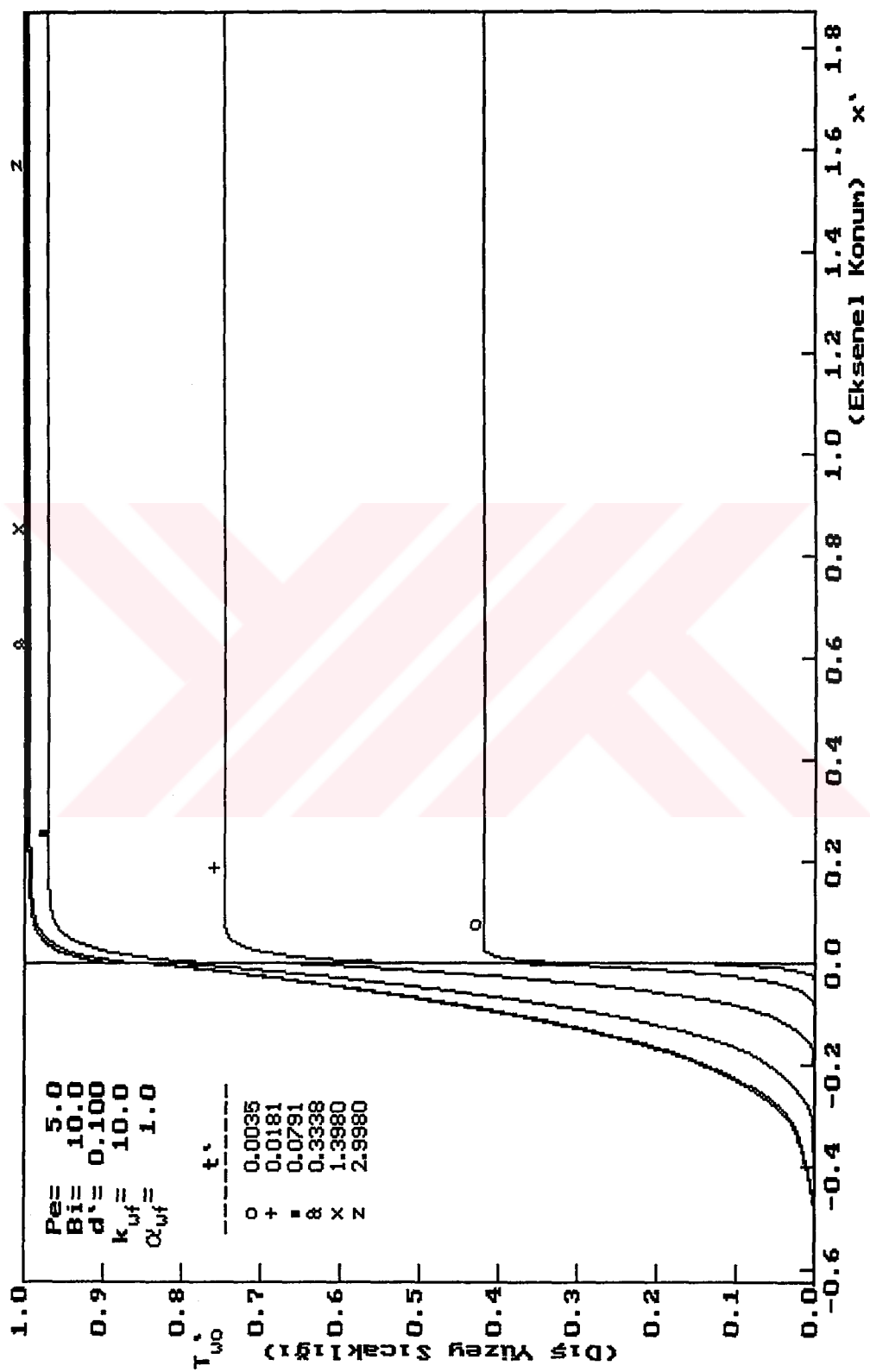
Şekil 3.20-3.22 de Peclet sayısının, Pe , boyutsuz arayüzey ısı akısına etkisi üç değişik zaman için görülmektedir. Pe sayısı azaldıkça, akışkan eksenel iletimi arttıgı için ısının üst akış bölgesine daha fazla yayılması ile q_{wi} eğrileri üst akış tarafında daha geriye doğru gitmekte ve değeri de büyümektedir. Ayrıca Peclet sayısı azaldıkça taşınım etkisi azaldığından alt akış tarafında ıslı gelişme mesafesi de büyümektedir. Peclet sayısı düştükçe ara yüzey ısı akısı eğrilerindeki pik değerler azalmakta ve eğrilerdeki değişim hızı da düşmektedir. Yine Peclet sayısının azalması sürekli rejime ulaşma süresinin de artmasına neden olmaktadır.

Şekil 3.23-3.25 de Biot sayısının geçici rejimde boyutsuz ara yüzey ısı akısına etkisi altı değişik Bi değeri için parametrize edilerek üç değişik zamanda gösterilmiştir. Şekillerin incelenmesi göstermektedir ki geçici rejimin başlangıcında büyük Biot sayıları için ara yüzey ısı akısı değerleri de büyümektedir. Biot sayısının büyümesi dış yüzeyden boruya transfer edilen ısının artması anlamına geldiği için başlangıç ve ara safhalarda ısı transferi miktarı büyüğü gibi gelişme hızı da artmaktadır. Yine aynı nedenle sürekli rejimdeki ısı akısı değerleri büyük Biot sayıları için daha büyük olmaktadır ve üst akış tarafındaki ön ısıtma mesafesi ve miktarı artmaktadır. Alt akış tarafındaki ıslı gelişme mesafesi ise çok küçük Biot sayıları için bir hayli büyümekte, hatta Şekil 3.25 den görüldüğü gibi ısı akısı eğrileri

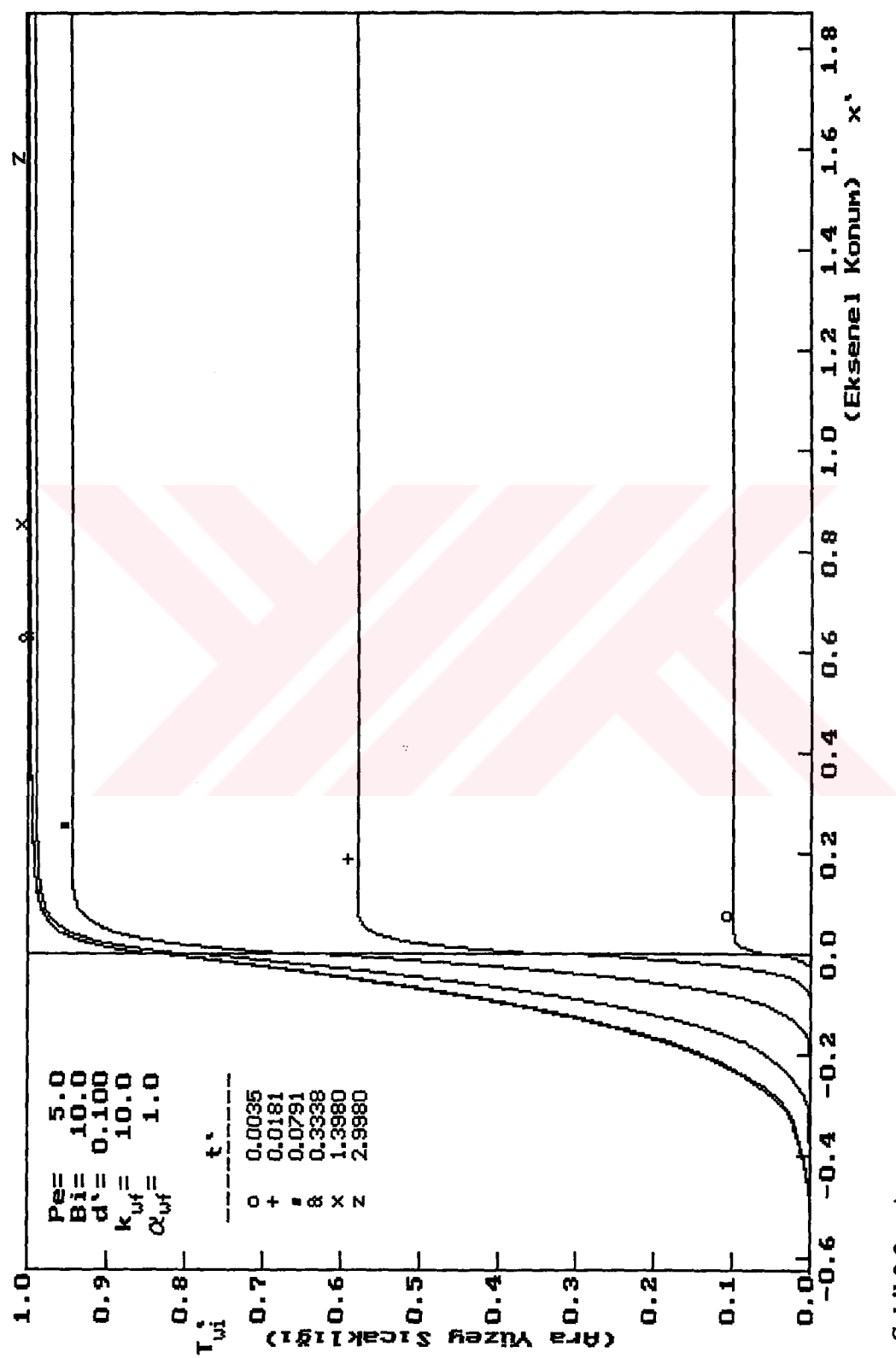
ısil gelişme bölgesinde sıfırı yakınsamamaktadır. Biot sayısının çok küçülmesi dış cidardaki çok yüksek taşınım direnci nedeni ile ısil gelişmenin tam olarak sağlanamamasına neden olmaktadır. Yine çok düşük Biot sayıları için sürekli rejime ulaşma süresi de bir hayli artmaktadır. Aynı şekilde q_{wi} eğrilerinin maksimum değerleri ve eğrilerin değişim hızı da azalmaktadır.



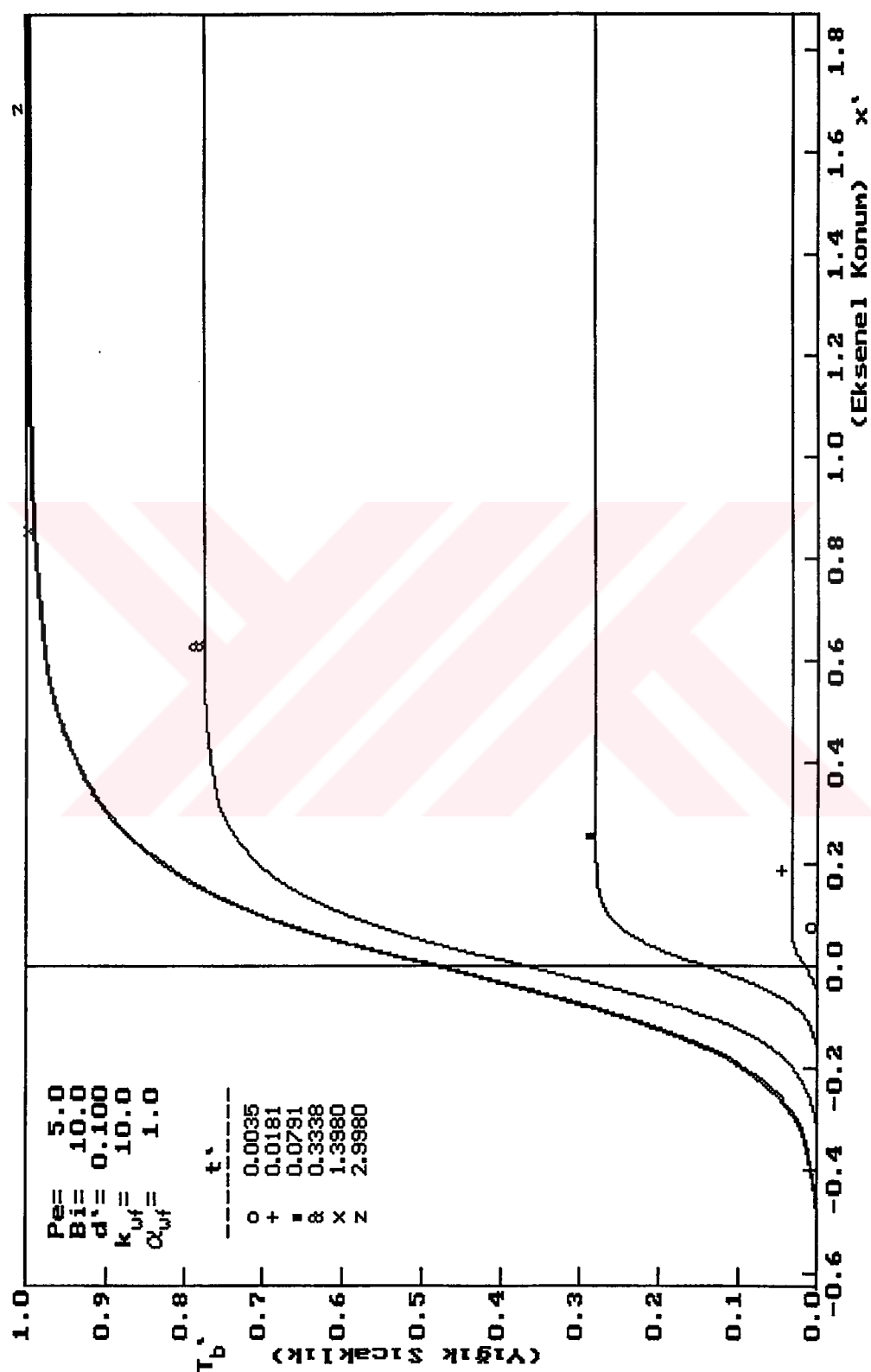
Şekil 3.1. Ara yüzey ısı akışının eksenin dağılımının zamana göre değişimi.



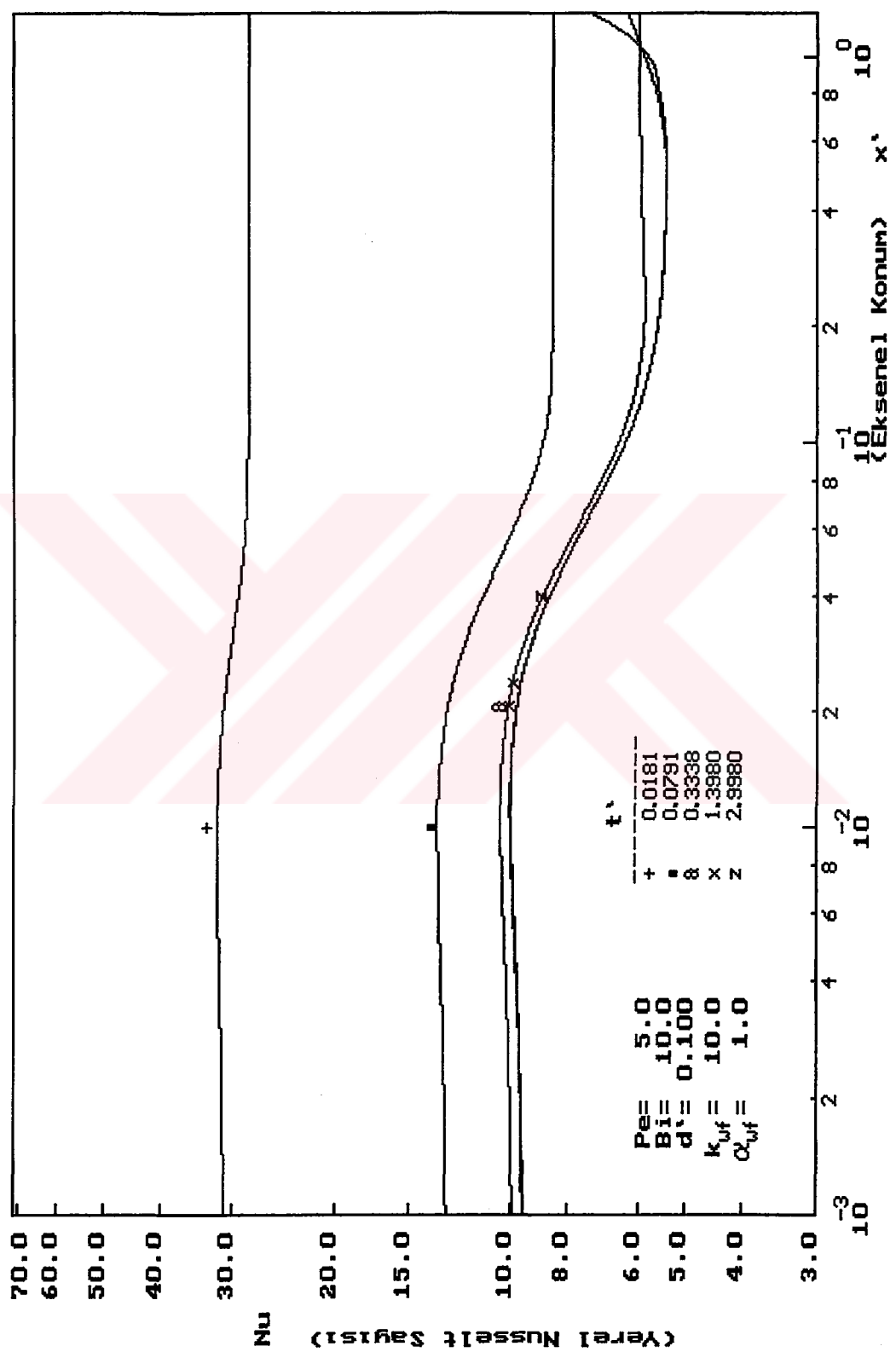
Şekil 3.2. Dış yüzey sıcaklığı eksenel dağılımının zamana göre değişimi



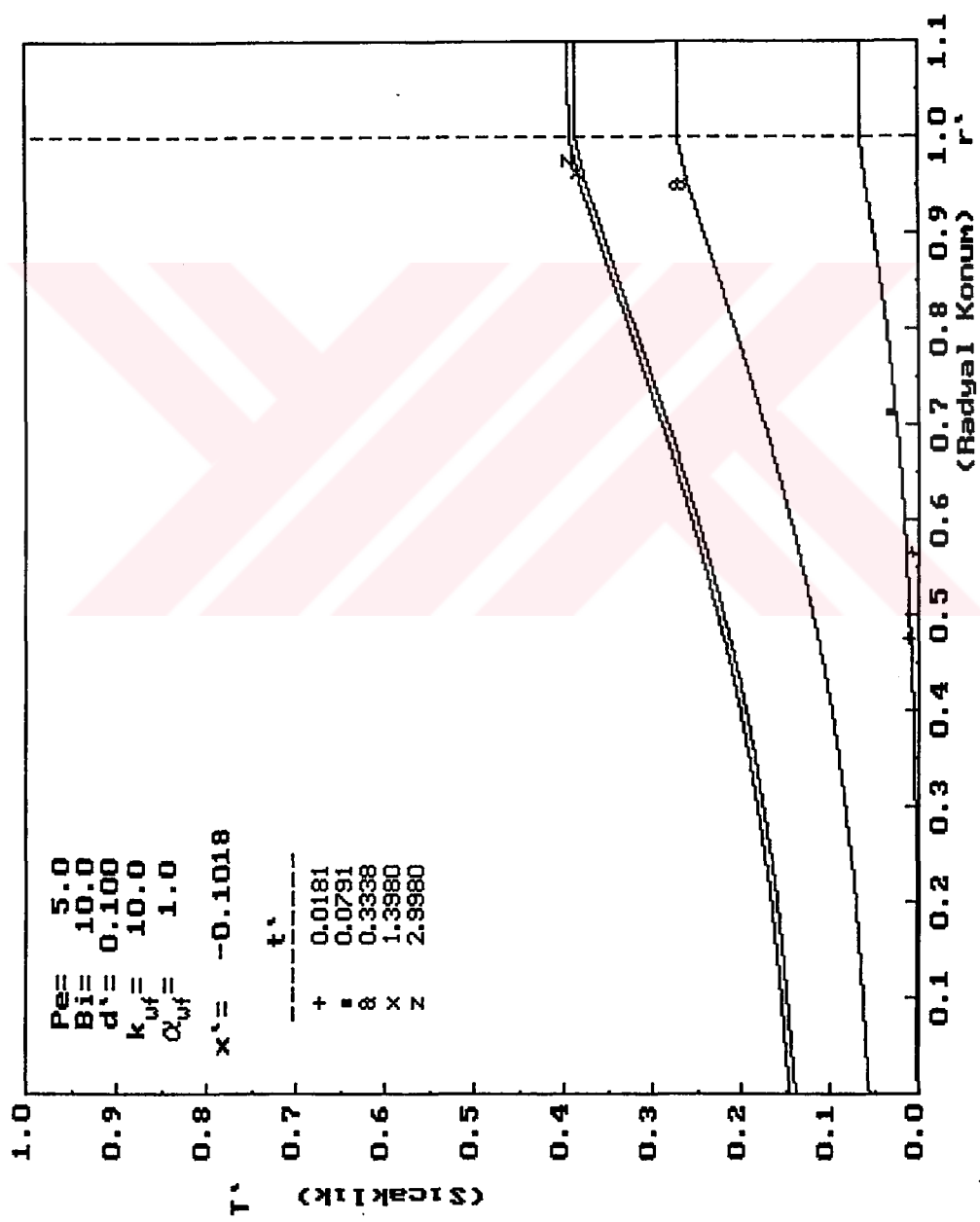
Şekil 3.3. Ara yüzey sıcaklığı ekseneel dağılımının zamana göre değişimi



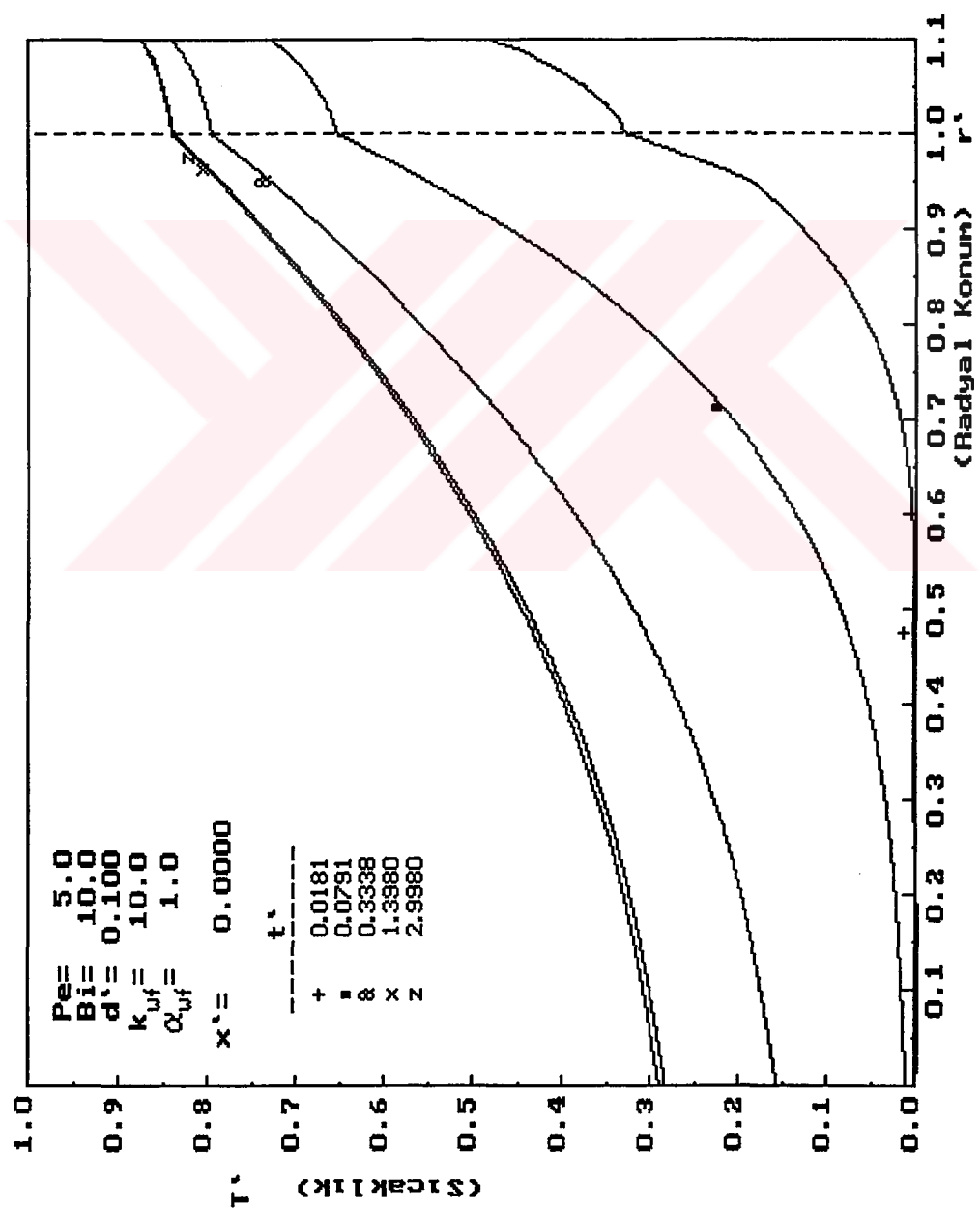
Sekil 3.4. Yıgık sıcaklık eksenel dağılımının zamana göre değişimi



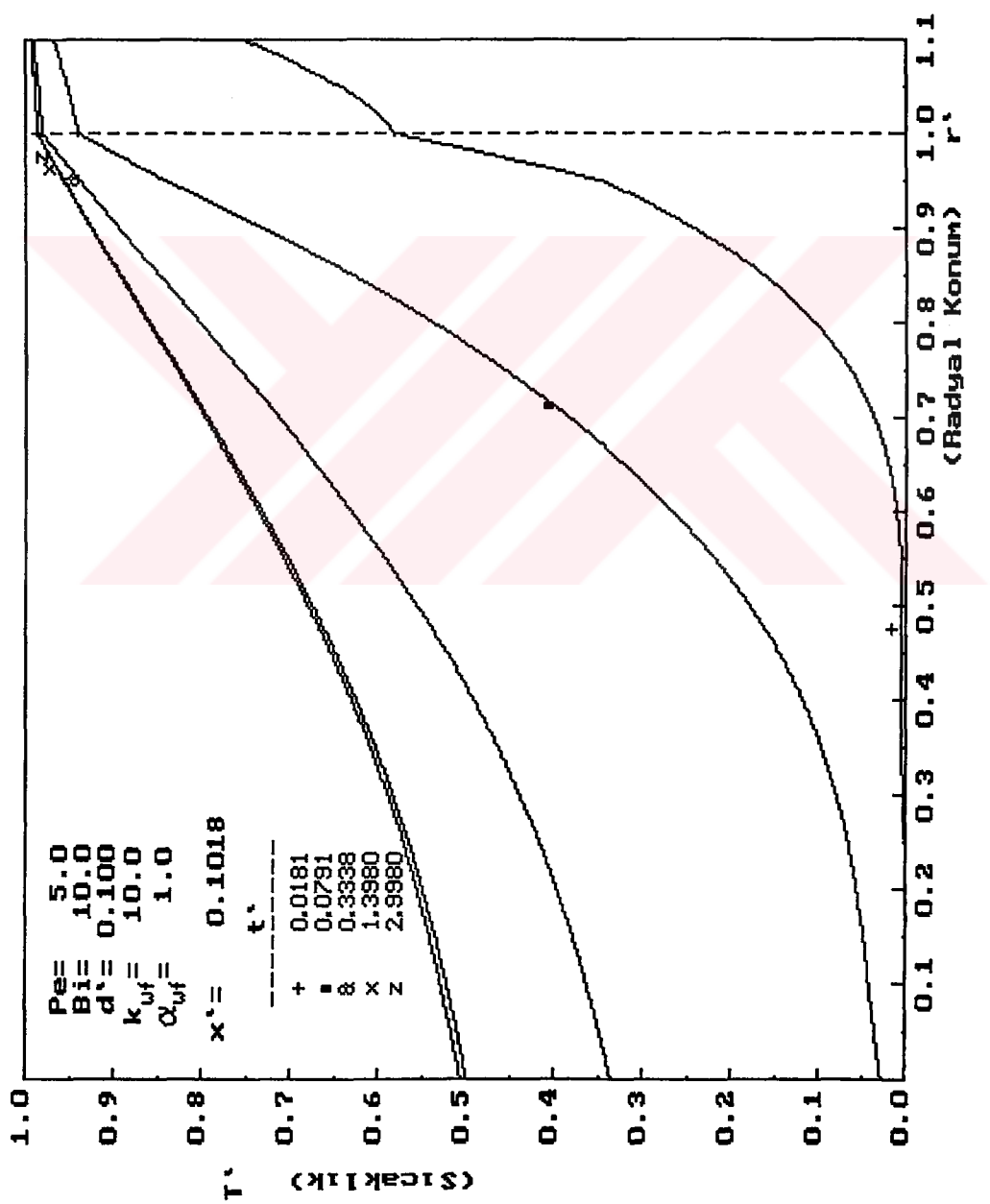
Sekil 3.5. Yerel Nusselt sayısı ekseneel dağılımının zamana göre değişimi



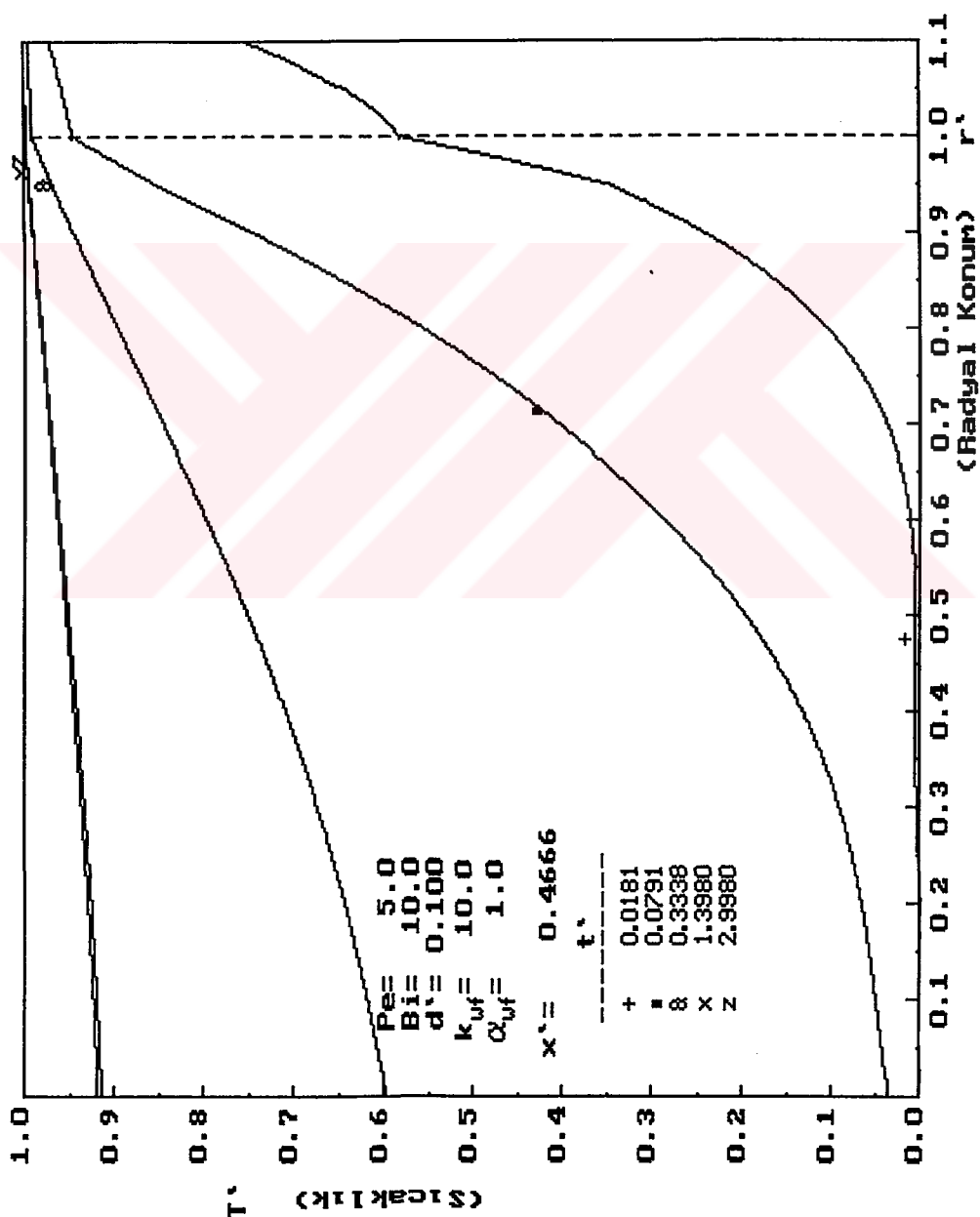
Sekil 3.6. Radyal sıcaklık dağılımının zamana göre değişimi ($x^* = -0.1018$)



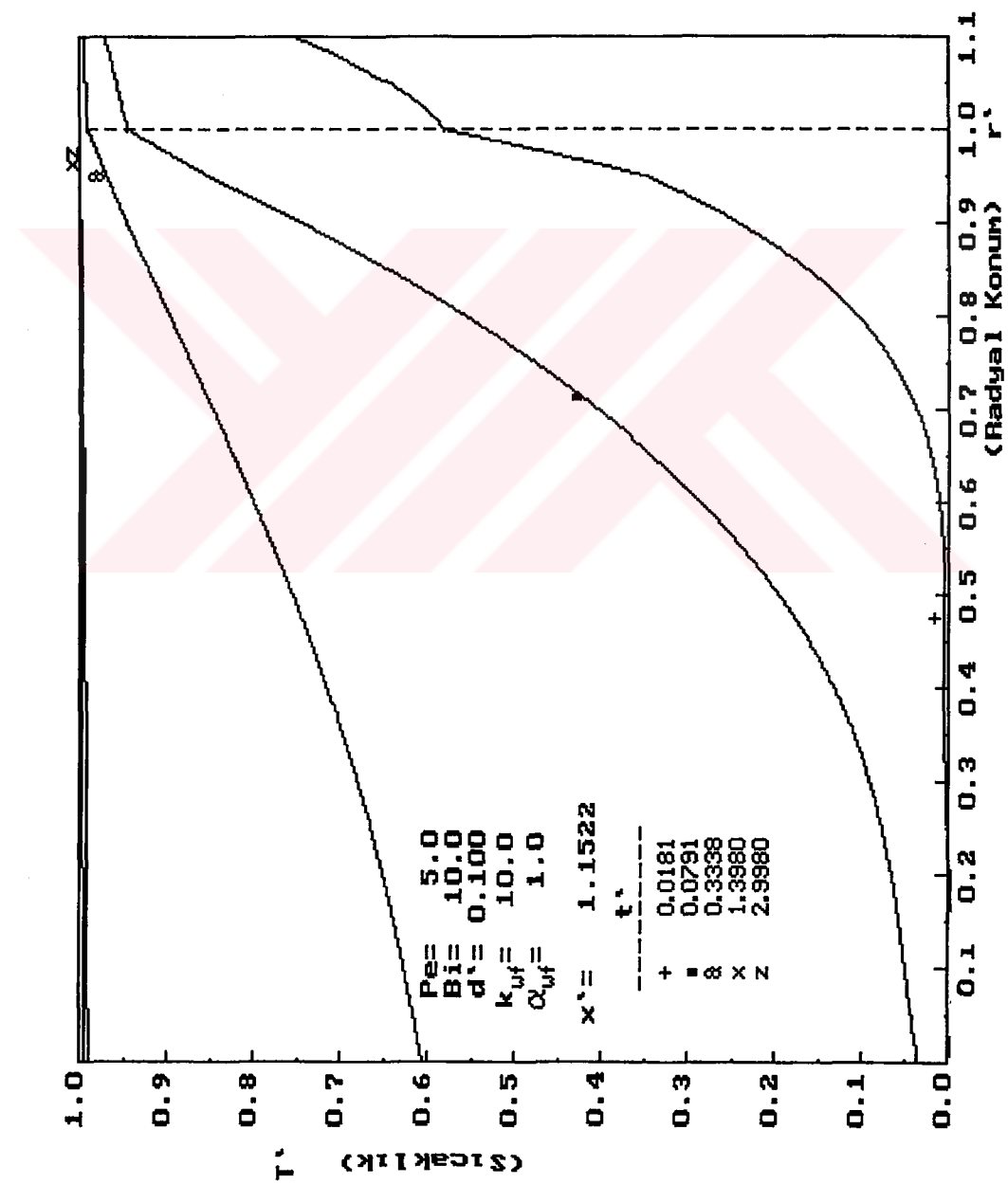
Sekil 3.7. Radyal sıcaklık dağılımının zamana göre değişimi ($x^* = 0$)



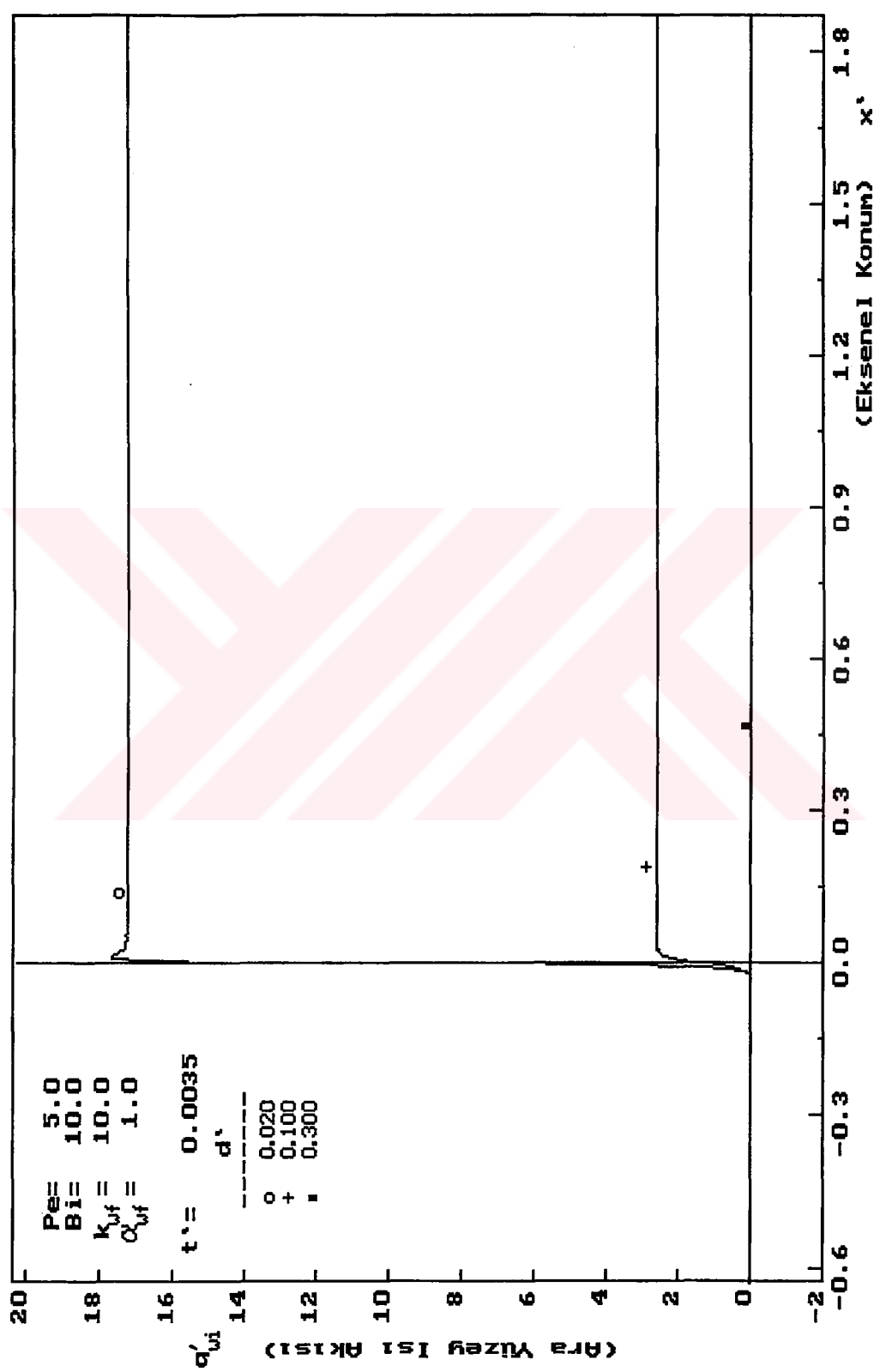
Şekil 3.8. Radyal sıcaklık dağılımının zamana göre değişimi ($x_r = 0.1018$)



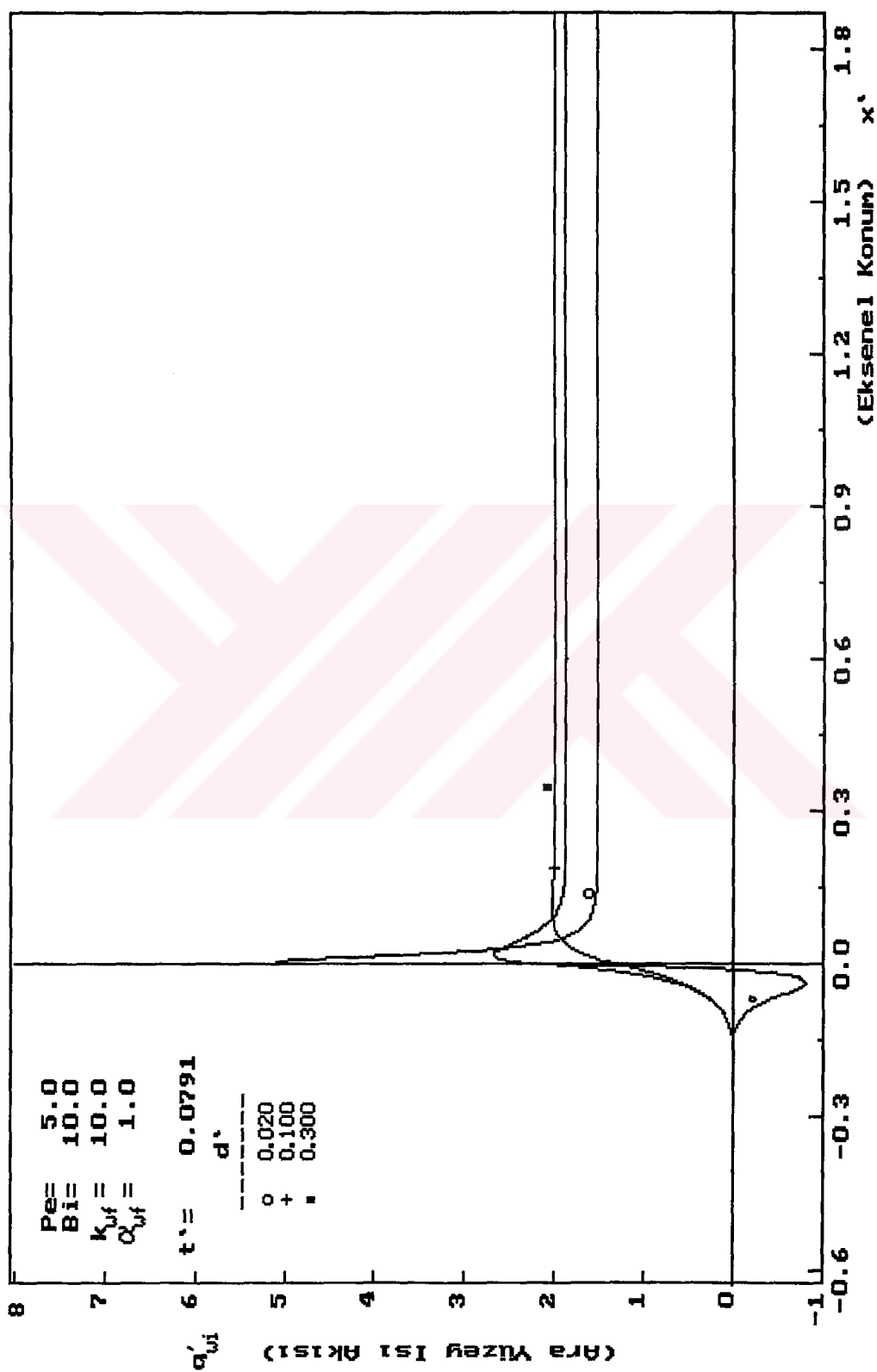
Şekil 3.9. Radyal sıcaklık dağılımının zamana göre değişimi ($x'=0.4666$)



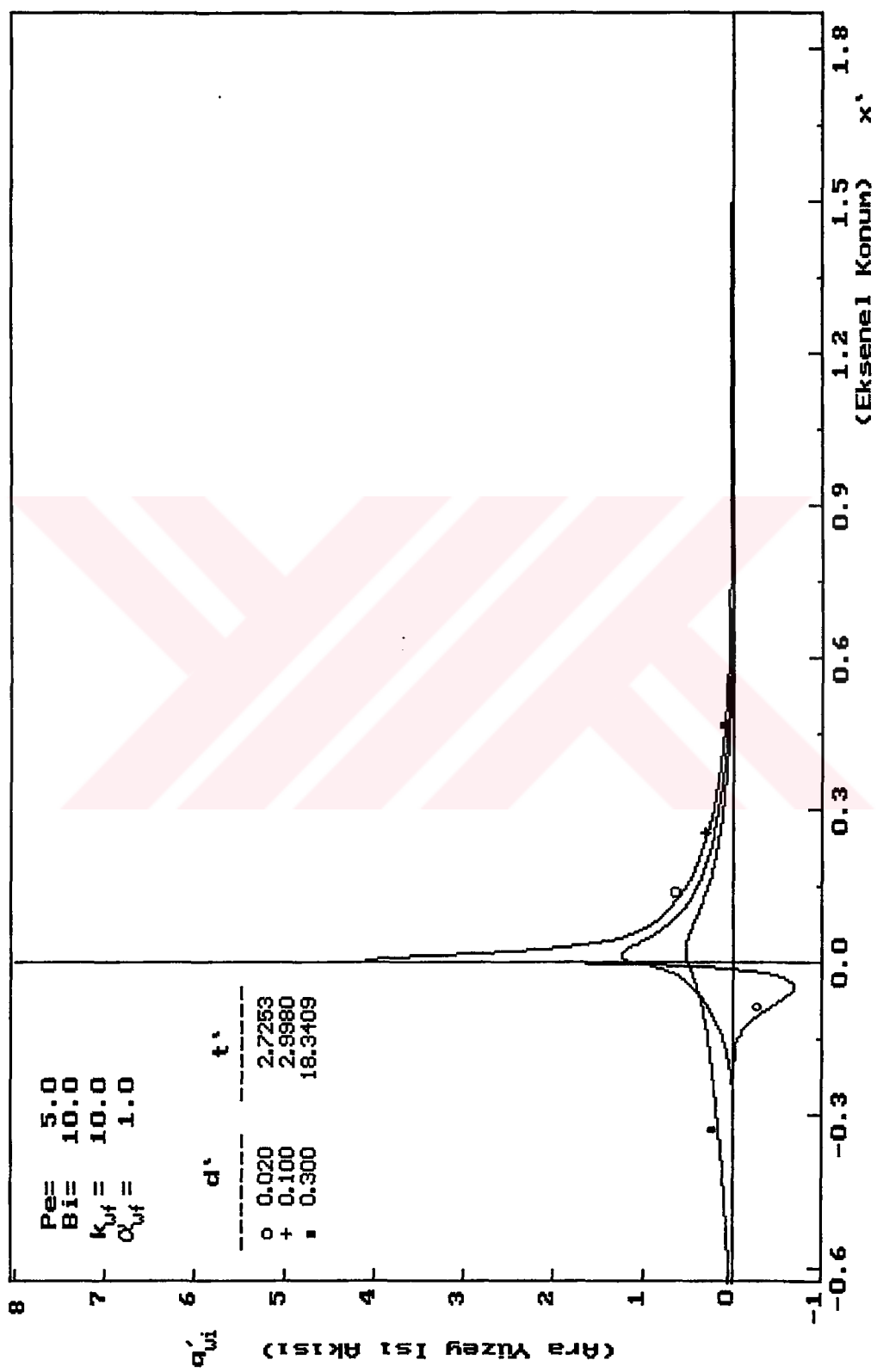
Sekil 3.10. Radyal sıcaklık dağılımının zamana göre değişimi ($x' = 1.1522$)



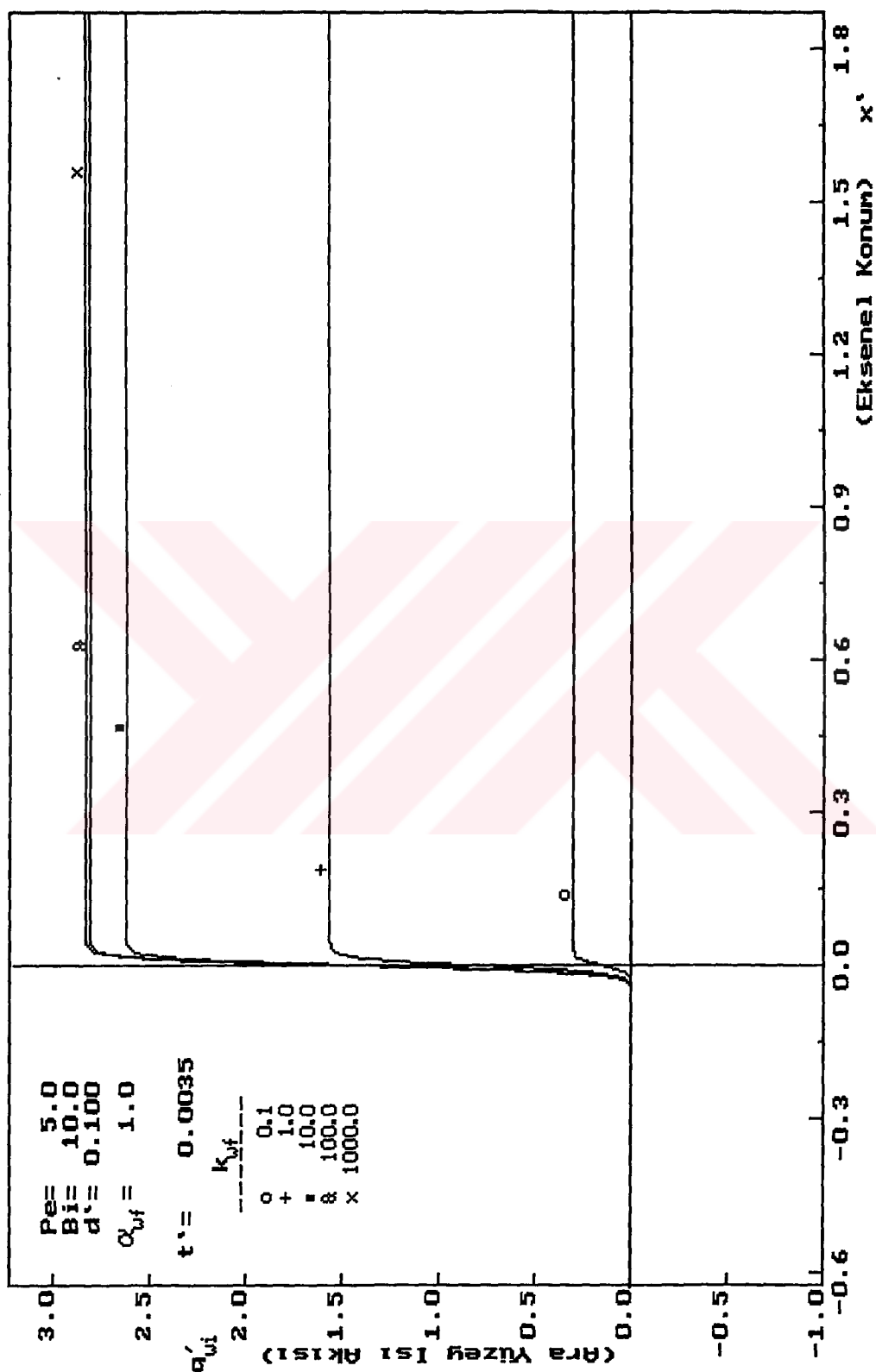
Şekil 3.11. Cidar kalınlık oranının ara yüzey ısı akışına etkisi ($t^* = 0.0035$)



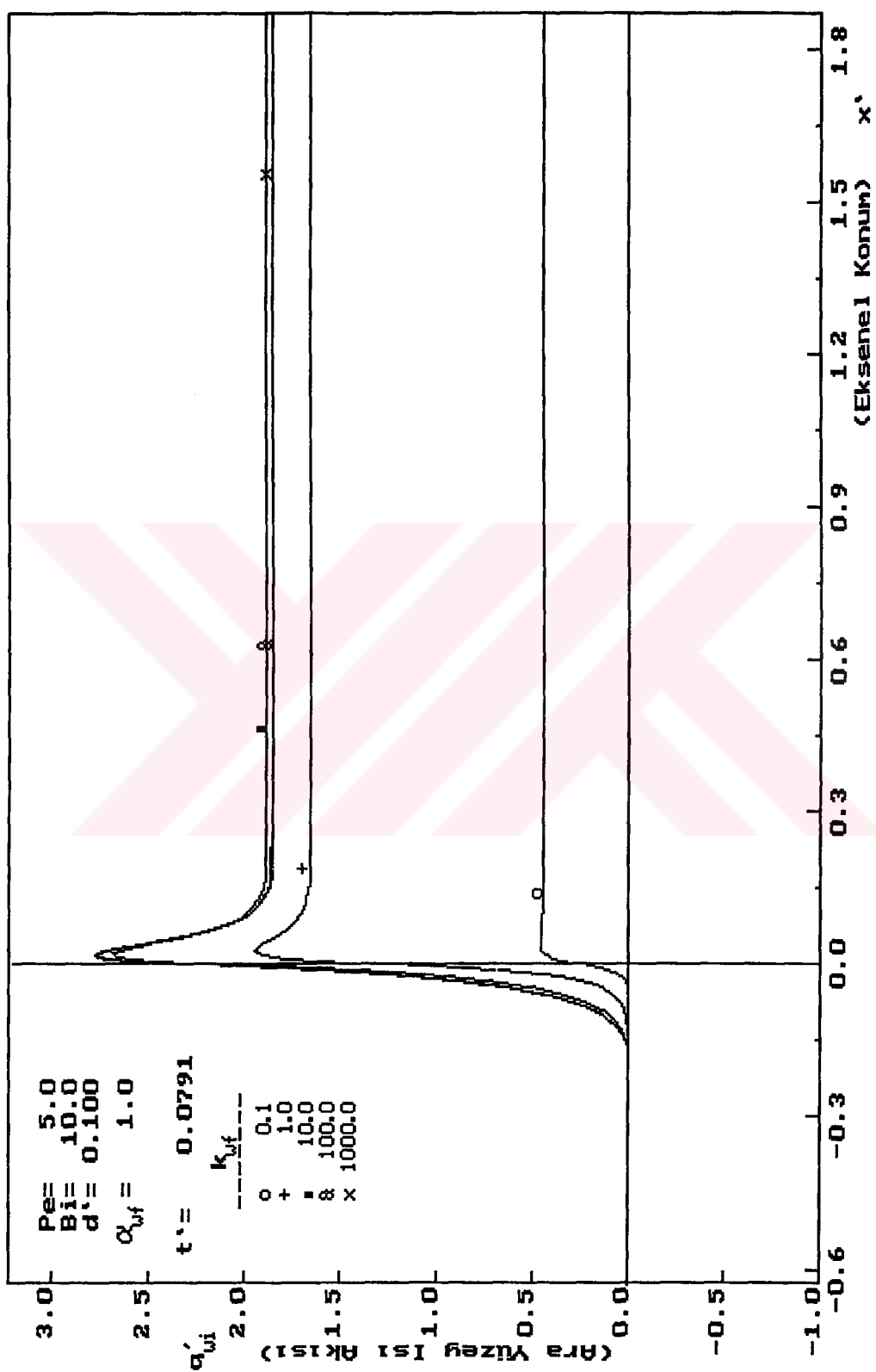
Şekil 3.12. Cidar kalınlık oranının ara yüzey ısı akışına etkisi ($t' = 0.0791$)



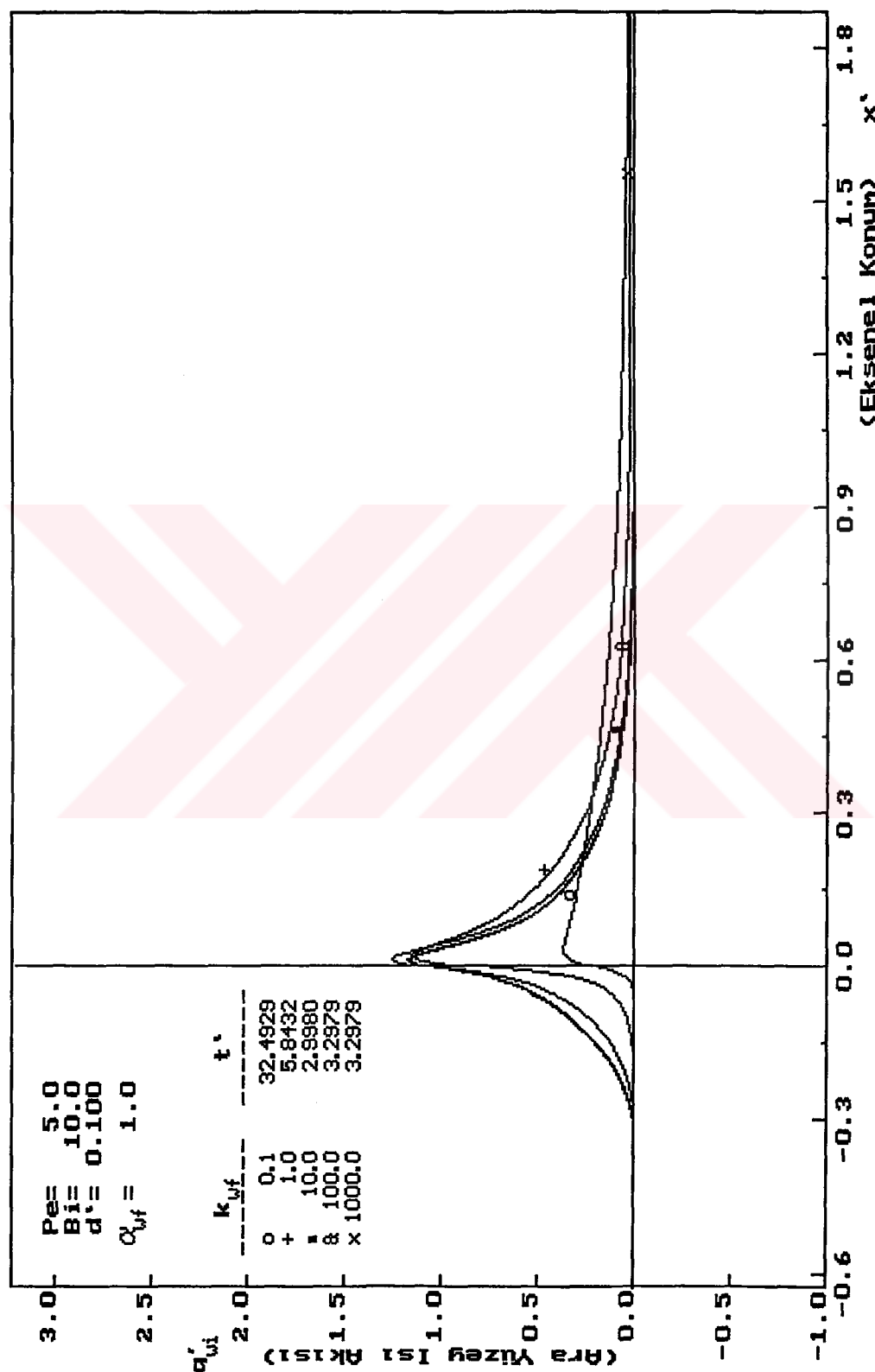
Şekil 3.13. Cidar kalınlık oranının ara yüzey ısı akışına etkisi (sürekli rejimde)



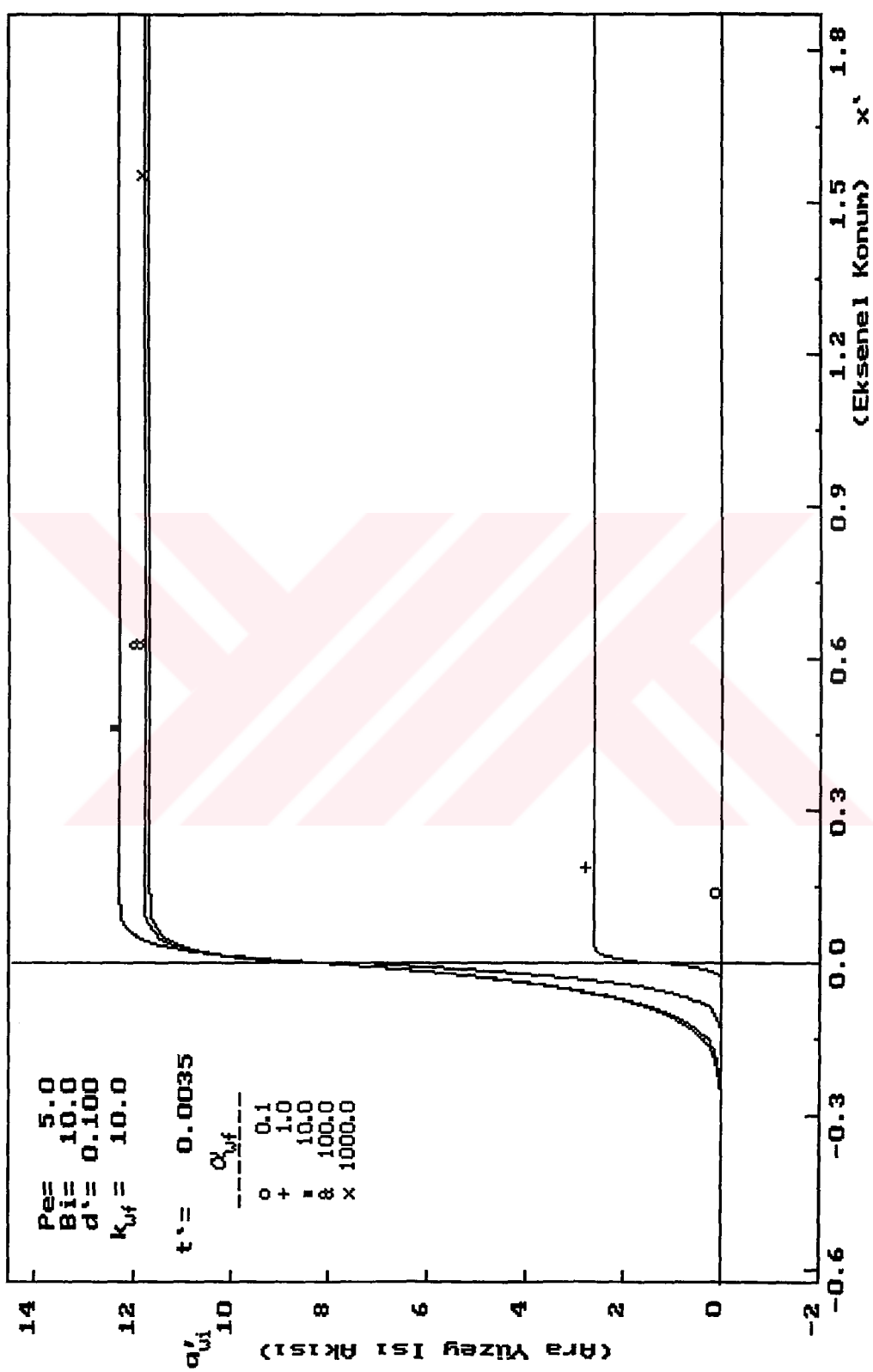
Şekil 3.14. Ciddar-akışkan ısı iletkenlik katsayısı oranının ara yüzey ısı akışına etkisi ($t' = 0.0035$)



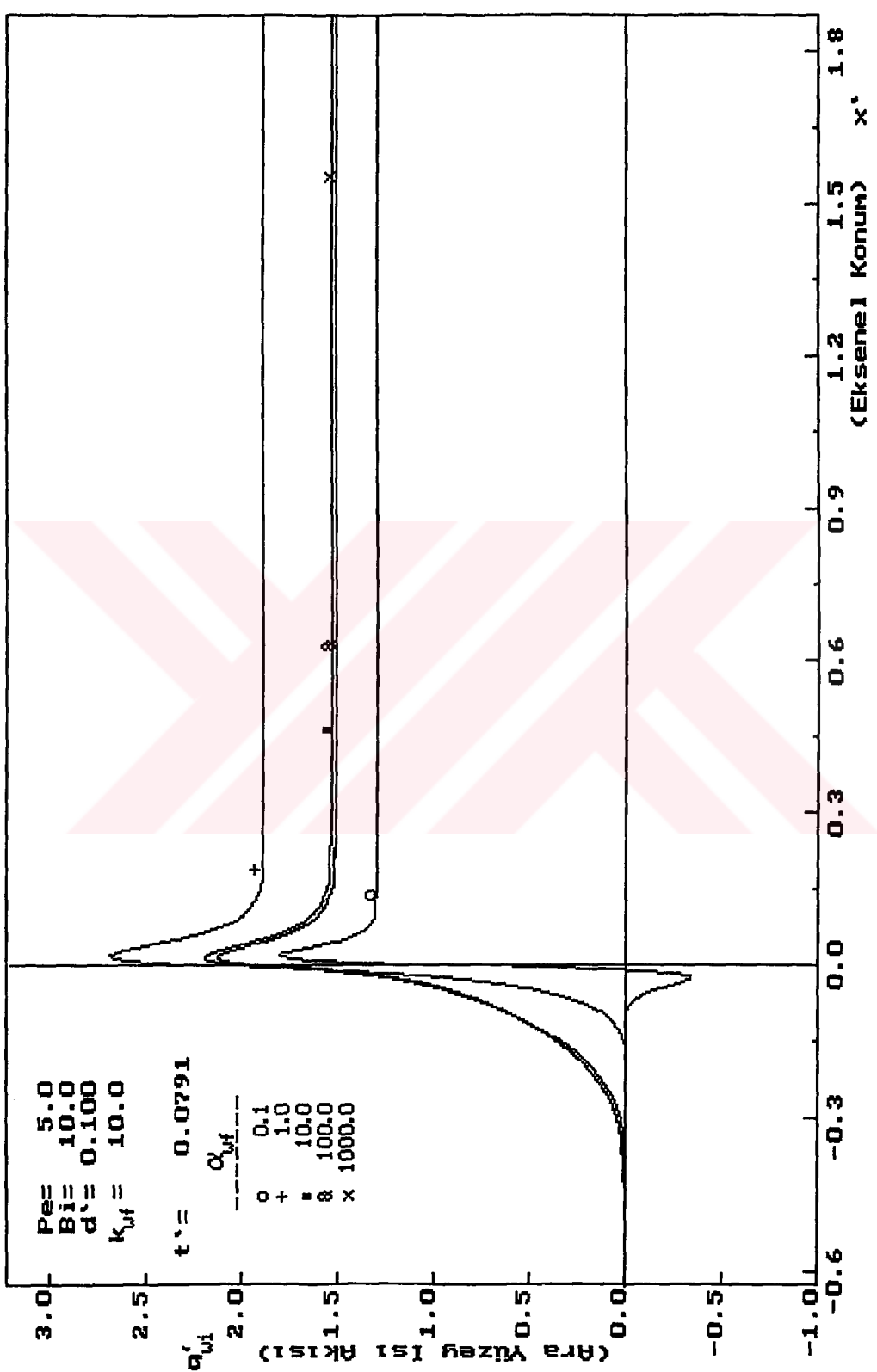
Sekil 3.15. Cidar-akışkan ısı iletkenlik katsayısı oranının ara yüzey ısı akışına etkisi ($t^* = 0.0791$)



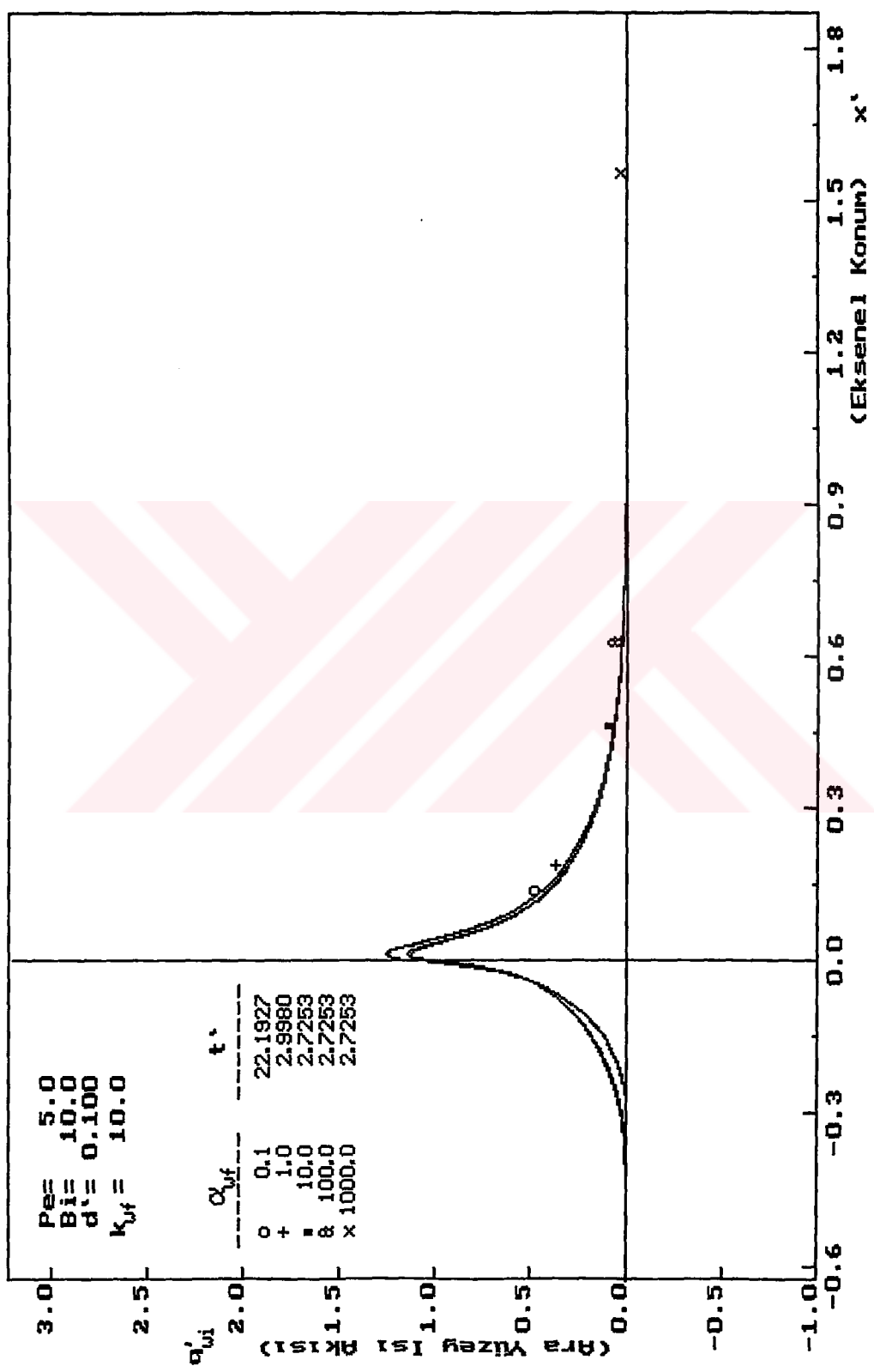
Şekil 3.16. Cidar-akışkan ısı iletkenlik katısayısı oranının arası yüzey ısı akışına etkisi (sürekli rejimde)



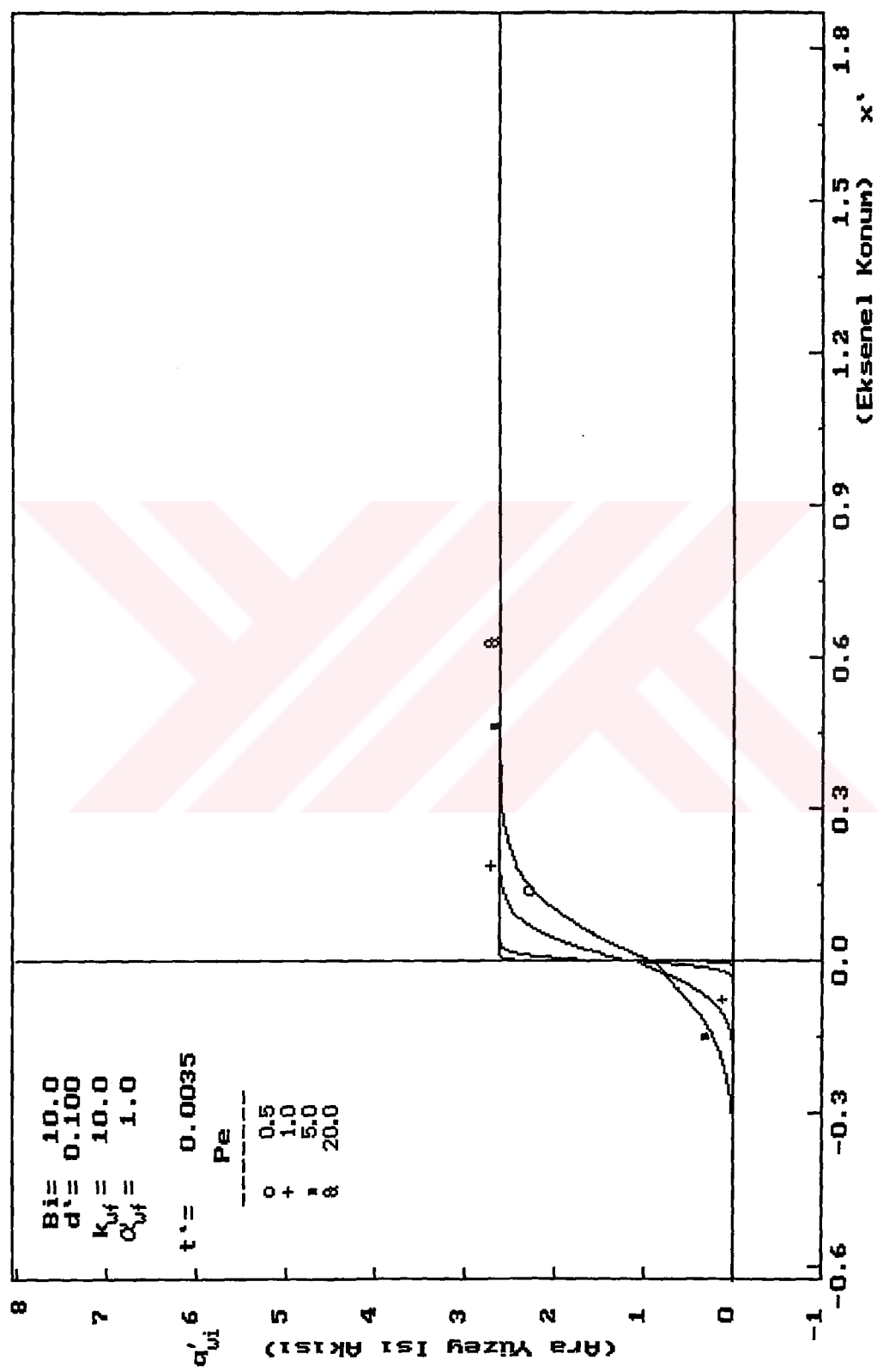
Sekil 3.17. Cidar-akışkan ıslı yayılım katsayısı oranının ara yüzey ısı akışına etkisi ($t^* = 0.0035$)



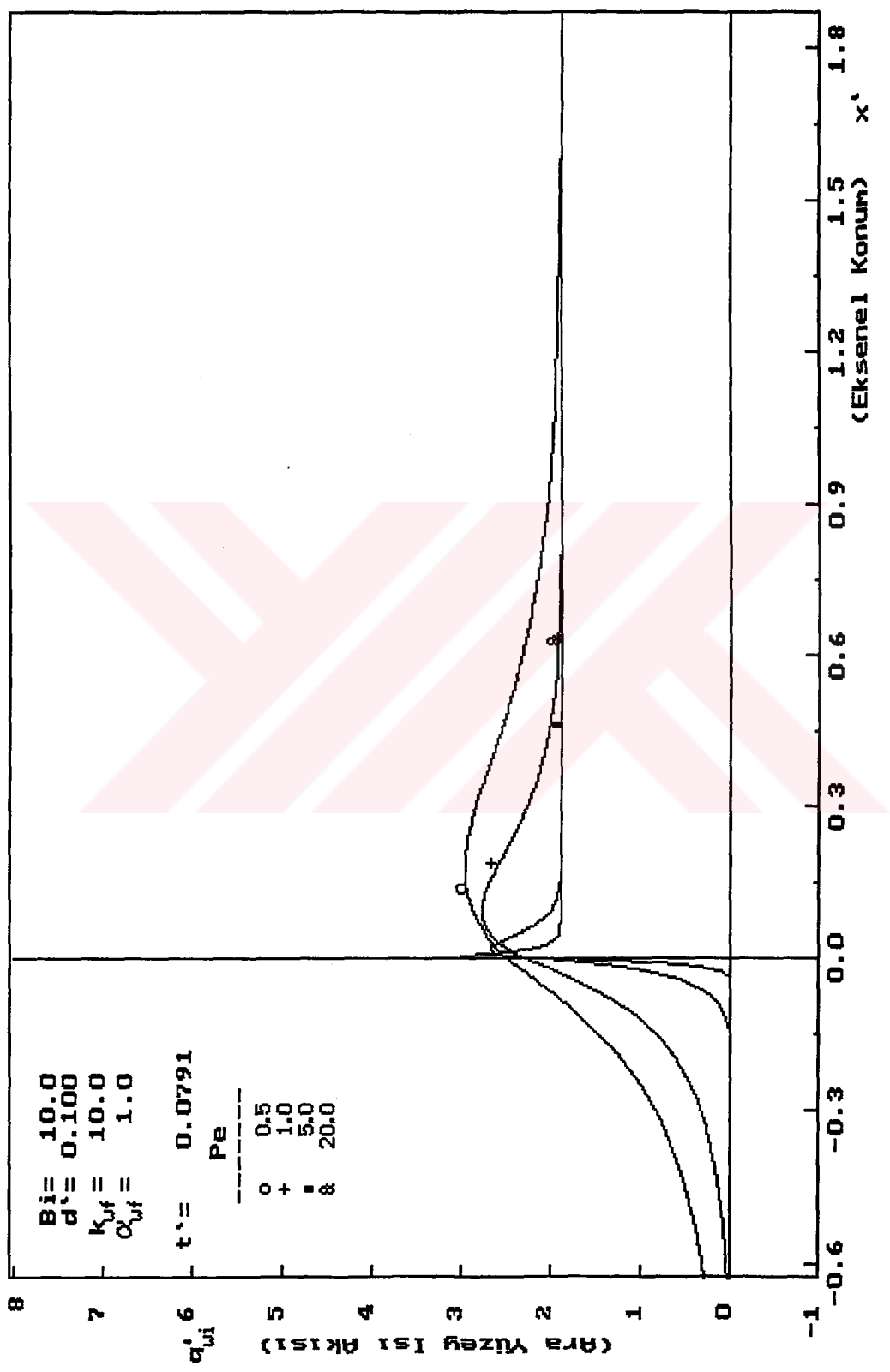
Sekil 3.18. Cidar-akışkan ıslı yayılım katsayıları oranının ara yüzey ısı akışına etkisi ($t^* = 0.0791$)



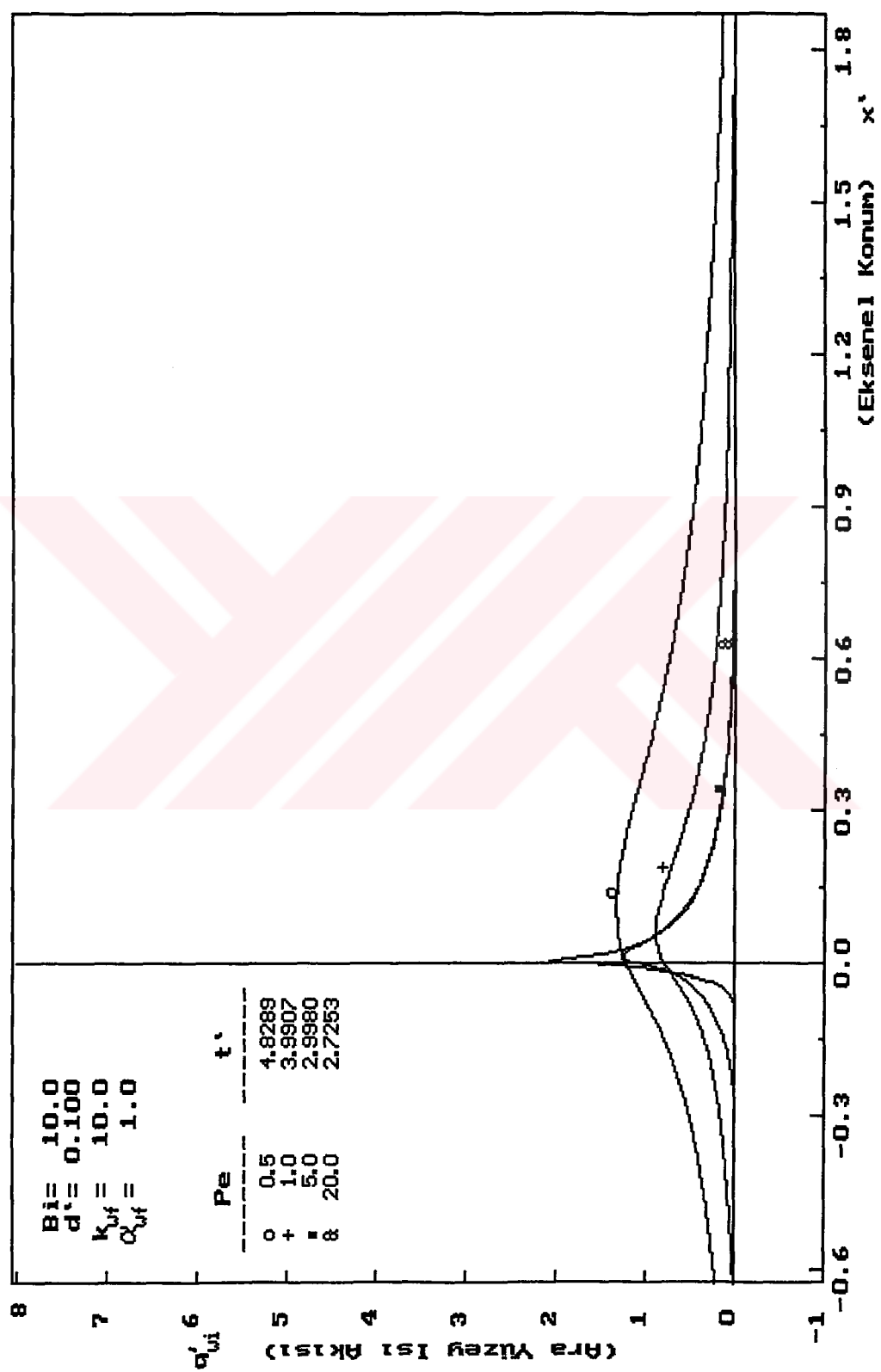
Sekil 3.19. Cidar-akışkan ıslı yayılma katsayısı oranının arası yüzey ısı akışına etkisi (sürekli rejimde)



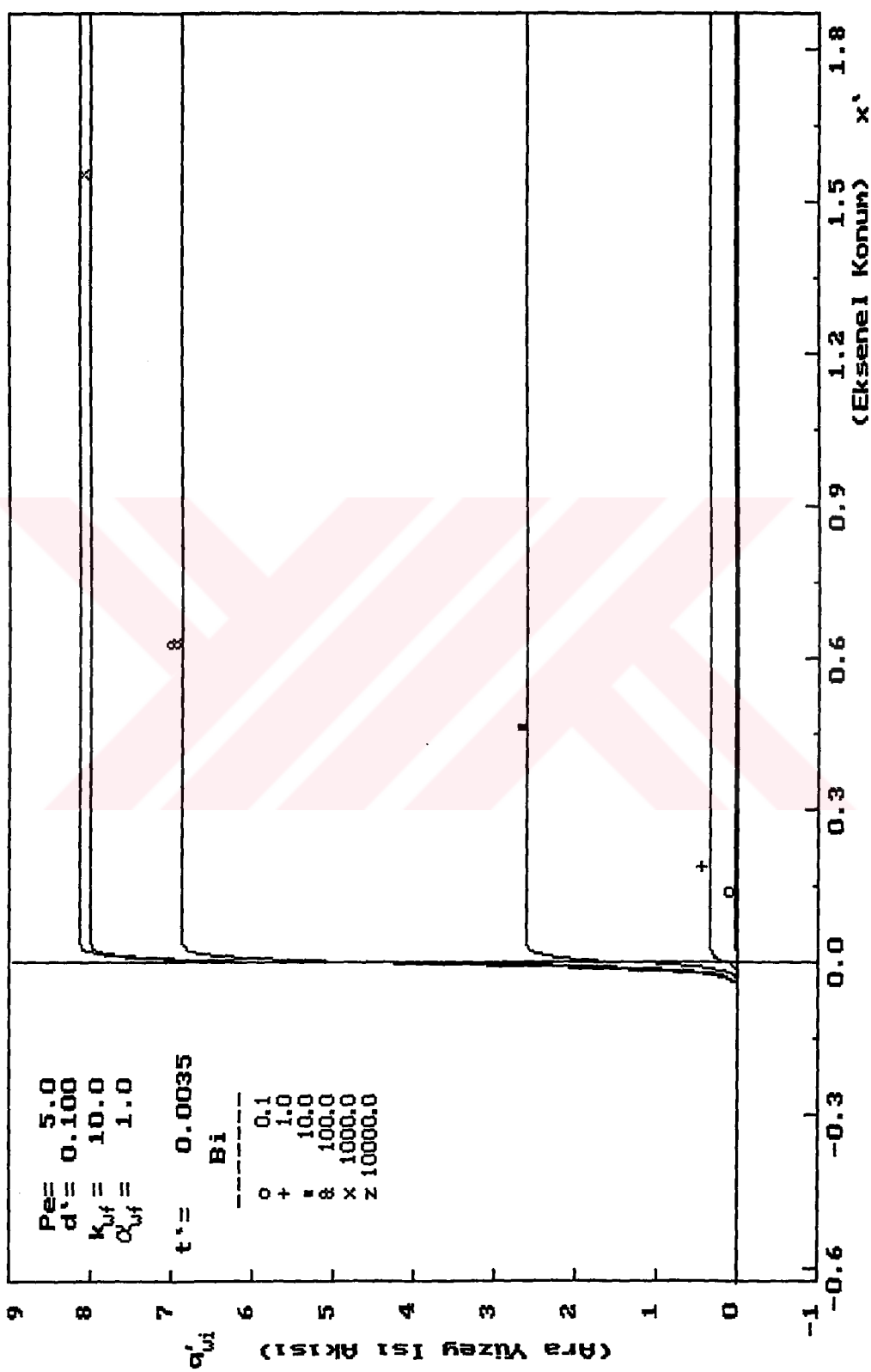
Sekil 3.20. Pecler sayisinin ara yüzey ısı akisina etkisi ($t^* = 0.0035$)



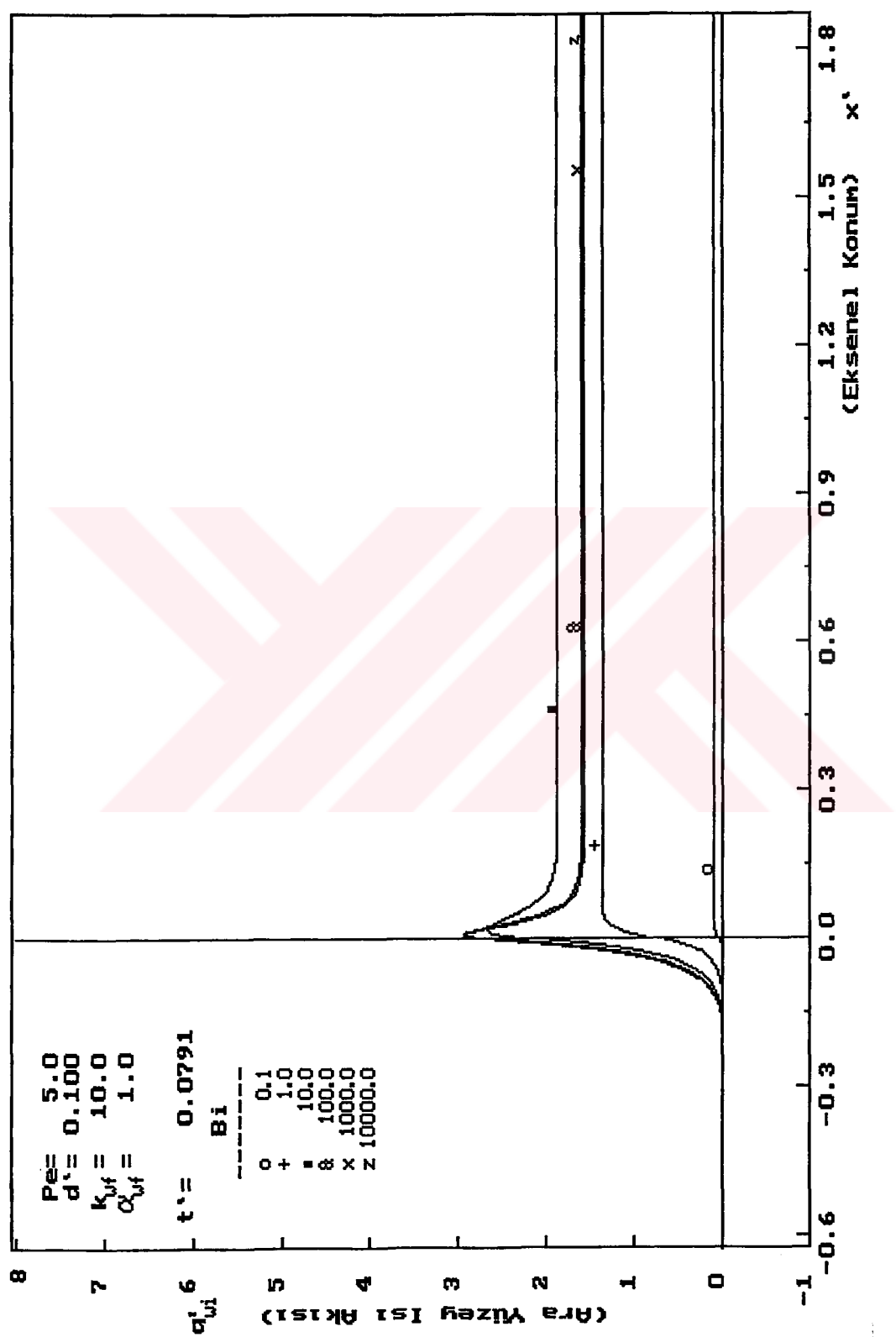
Şekil 3.21. Peclet sayısının ara yüzey ısı akışına etkisi ($t^* = 0.0791$)



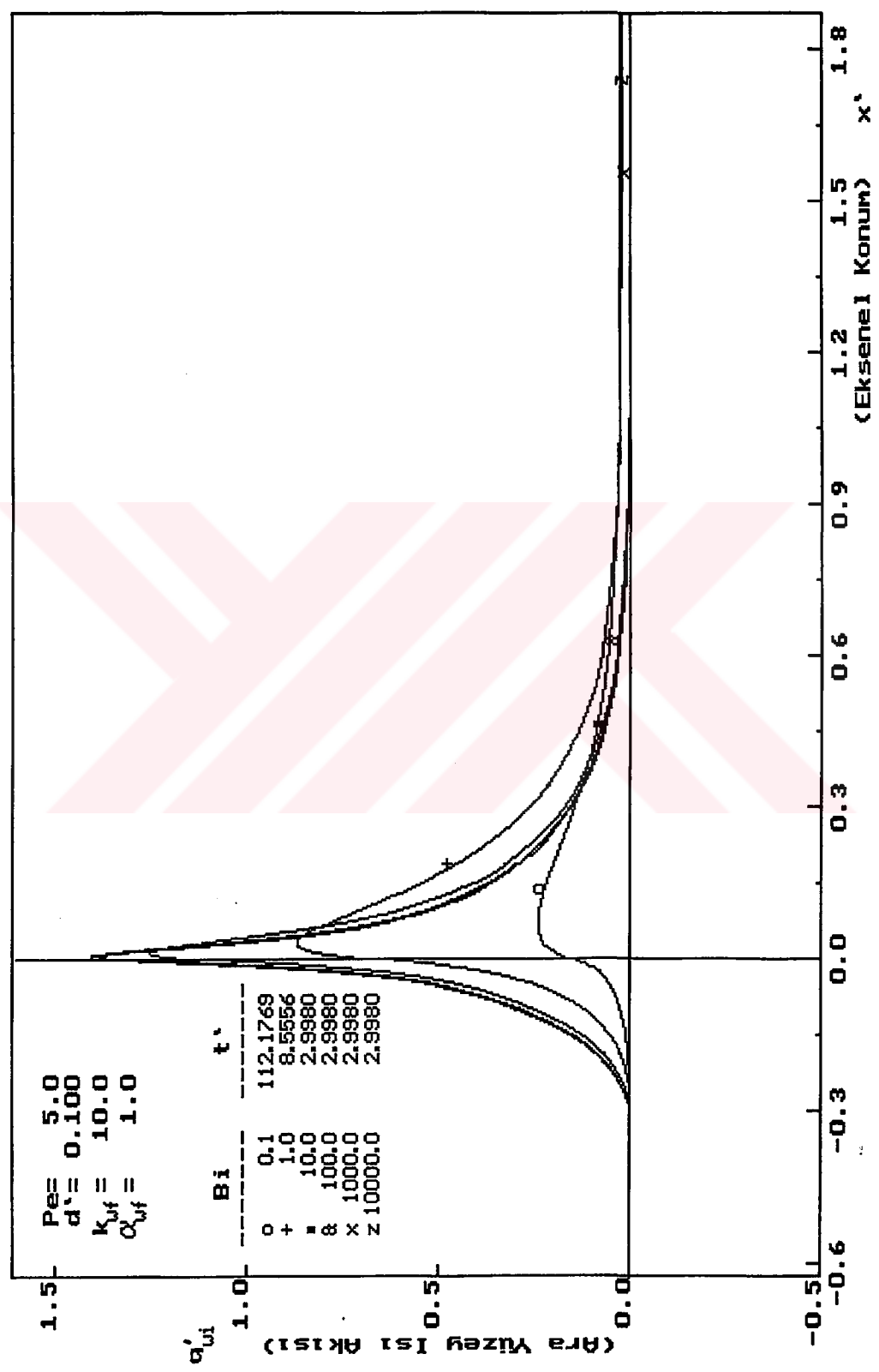
Sekil 3.22. Peclet sayısının ara yüzey ısı akışına etkisi (sürekli rejimde)



Şekil 3.23. Biot sayısının ara yüzey ısı akışına etkisi ($i^* = 0.0035$)



Şekil 3.24. Biot sayısının ara yüzey ısı akışına etkisi ($t' = 0.0791$)



Sekil 3.25. Biot sayısının ara yüzey ısı akışına etkisi (surekli rejimde)

4. SONUÇ

Bu çalışmada, kalın cidarlı borularda, laminer akış, ıslı gelişme bölgesi, geçici rejim, birleşik ısı transferi problemi, iki-boyutlu cidar ve eksenel akışkan iletimi gözönüne alınarak incelenmiştir. Problem, üst akış bölgesi yalıtılmış iki bölgeli bir boruda, alt akış bölgesinde çevre akışkanı sıcaklığında meydana gelen ani değişim sınır şartında, bir sonlu farklar yöntemi ile sayısal olarak çözülmüştür. Problemi tanımlayan beş boyutsuz parametrenin, Pe , Bi , k_{wf} , α_{wf} ve d' , etkilerini görmek için parametrik bir çalışma gerçekleştirilmiştir. Elde edilen sonuçlar şu şekilde özetlenebilir.

1. Gerek cidar ve gerekse akışkan tarafındaki eksenel iletim nedeniyle üst akış bölgesine önemli ölçüde ısı transfer edilmekte ve bu, akışkanın ısıtılan (veya soğutulan) bölgeye gelmeden önce ön ısıtımasına (veya soğutulmasına) neden olmaktadır. Üst akış bölgesindeki ısı transferi miktarı geçici rejimin başlangıcında artmakta daha sonra ise azalmaktadır. Yine ön ısıtılma bölgesi zaman ilerledikçe üst akış tarafında daha gerilere doğru yayılmaktadır. Akışkan tarafında cidar tarafına nazaran ısının ters yönde daha fazla yayıldığı durumlarda, örneğin çok ince cidarlı borularda veya çok küçük α_{wf} değerleri için, üst akış bölgesinde ters yönde (akışkan tarafından cidar tarafına) ısı akısı görülebilmektedir.

2. Borunun ısıtılan kısmında ya da alt akış bölgesinde arayüzey ısı akışı değerleri cidardaki hızlı radyal iletim nedeniyle başlangıçta hızla artmakta ve kısa bir mesafede sabit bir değere ulaşmaktadır. İlerleyen zamanlarda ise akışkan tarafında etkisini arttıran ve ıslı gelişme bölgesine daha fazla yayılan taşınım etkisi nedeniyle ısı akışı değerleri hem ortalama olarak azalmakta ve hem de eğrilerdeki düzgünlük bozularak bir maksimum değere eriştiğinden sonra akış yönünde azalmaktadır. Bu eğilim sistem sürekli rejime ulaşıcaya kadar devam etmektedir.

3. Cidar iletiminin ve akışkan eksenel iletiminin etkileri d' büyükükçe Pe , Bi , k_{wf} ve α_{wf} küçüldükçe artmaktadır. $d' < 0.02$, $k_{wf} > 100$, $\alpha_{wf} > 100$, $Pe > 20$ ve $Bi > 100$ için her bir parametredeki değişim problemin sonuçları üzerine etkisini kaybetmektedir. Parametre değerlerindeki değişmenin etkisi geçici rejimin başlangıç saflarında daha fazla olmakta, sürekli rejime yaklaşıldıkça azalmaktadır.

4. Parametre değerlerindeki değişim, sürekli rejime ulaşma süresini de etkilemeyecektir ve her bir parametre için etkisi arttıkça (d' büyükükçe, Pe , Bi , k_{wf} ve α_{wf} küçüldükçe) sürekli rejime ulaşma süresi de uzamaktadır.

5. KAYNAKLAR

- Aktaş, Z., Öncül, H., Ural, S. 1984. Sayısal Çözümleme, C. 1, s. 275-297, ODTÜ, Ankara.
- Bilir, Ş. 1992. Numerical solution of Graetz problem with axial conduction, *Numerical Heat Tr., Part A*, Vol. 21, pp. 493-500.
- Bilir, Ş. 1994. Transient conjugated heat transfer with thermally developing pipe flow, *İş Bilimi ve Tekniği Dergisi*, C.17, No.1, s. 11-20.
- Bilir, Ş. 1995. Laminar flow heat transfer in pipes including two-dimensional wall and fluid axial conduction, *Int. J. Heat Mass Tr.*, Vol.38, No.9, pp. 1619-1625.
- Campo, A., Auguste J.-C. 1978, Axial conduction in laminar pipe flows with nonlinear wall heat fluxes, *Int. J. Heat Mass Tr.*, Vol.30, No.21, pp. 1597-1607.
- Cotta, R.M., Mikhailov, M.D., Özışık, M.N. 1987. Transient conjugated forced convection in ducts with periodically varying inlet temperature, *Int. J. Heat Mass Tr.*, Vol.30, No.10, pp. 2073-2082.
- Faghri, M., Sparrow, E.M. 1980. Simultaneous wall and fluid axial conduction in laminar pipe flow heat transfer, *Trans ASME J. of Heat Tr.*, Vol.102, pp.58-63.
- Hildebrand, F. B. 1976, Advanced Calculus for Applications, *Prentice-Hall*, pp. 107-111.
- Kakaç, S., Yener, Y. 1980. Convective Heat Transfer, *ODTÜ, Yayın No. 65*, s.132-213, Ankara.
- Kays, W.M. 1966. Convective Heat and Mass Transfer, *McGraw-Hill*, pp.102-149.
- Krishan, B. 1982. On conjugated heat transfer in fully developed flow, *Int. J. Heat Mass Tr.*, Vol.25, No.2, pp.288-289.
- Lee, S.L., Hwang, G.J. 1981. Finite element solution of low Peclet number fluid flow in a round pipe with the Cauchy boundary condition, *The Canadian J. Of Chem. Eng.*, Vol.59, pp.760-765.
- Lee, K. -T., Yan, W. -M. 1993. Transient conjugated forced convection heat transfer with fully developed laminar flow in pipes, *Numerical Heat Tr., Part A*, Vol.23, pp.341-359.
- Li, W., Kakaç, S. 1991. Unsteady thermal entrance heat transfer in laminar flow with a periodic variation of inlet temperature, *Int. J. Heat Mass Tr.*, Vol.34, No.10, pp.2581-2592.

- Lin, T.F., Kuo, J.C. 1988. Transient conjugated heat transfer in fully developed laminar pipe flows, *Int. J. Heat Mass Tr.*, Vol.31, No.5, pp.1093-1102.
- Olek, S., Elias, E., Wacholder, E., Kaizerman, S. 1991. Unsteady conjugated heat transfer in laminar pipe flow, *Int. J. Heat Mass Tr.*, Vol.34, No.6, pp.1443-1450.
- Patankar, S. V. 1980. Numerical Heat Transfer and Fluid Flow, *Hemisphere, Washington, D.C.*
- Schneider, P. J. 1957. Effects of axial fluid conduction on heat transfer in the entrance region of parallel plates and tubes, *Trans ASME*, Vol.79, pp.765-773.
- Schutte, D.J., Rahman, M.M., Faghri A. 1992. Transient conjugate heat transfer in a thick walled pipe with developing laminar flow, *Numerical Heat Tr., Part A*, Vol.21, pp.163-186.
- Spiegel, M.R. 1971. Finite Difference and Difference Equations, *Schaum's Series, McGraw Hill*, p.122.
- Sucec, J. 1981. An improved quasi-steady approach for transient conjugated forced convection problems, *Int. J. Heat Mass Tr.*, Vol.24, No.10, pp.1711-1722.
- Sucec, J., Sawant, A.M. 1984. Unsteady conjugated forced convection heat transfer in a parallel plate duct, *In. J. Heat Mass Tr.*, Vol.27, No.1, pp.95-101.
- Sucec, J. 1986. Transient heat transfer in the laminar thermal entry region of a pipe: an analytical solution, *Applied Scientific Research*, Vol.43, pp.115-125.
- Sucec, J. 1987-a. Unsteady conjugated forced convective heat transfer in a duct with convection from the ambient, *Int. J. Heat Mass Tr.*, Vol.30, No.9, pp.1963-1970.
- Sucec, J. 1987-b. Exact solution for unsteady conjugated heat transfer in the thermal entrance region of a duct, *Trans ASME J. of Heat Tr.*, Vol.109, pp.295-299.
- Travelho, J.S., Santos, W.F.N. 1991. Solution for transient conjugated forced convection in the thermal entrance region of a duct with periodically varying inlet temperature, *Trans ASME J. of Heat Tr.*, Vol.113, pp.558-562.
- Vick B., Özışık, M.N. 1981. Effects of axial conduction and convective boundary conditions in slug flow inside a circular tube, *Trans ASME J. of Heat Tr.*, Vol.103, pp.436-440.
- Vick, B., Özışık, M.N., Ullrich, D.F. 1983. Effects of axial conduction in laminar tube flow with convective boundaries, *J. of Franklin Inst.*, Vol.316, pp.159-173.
- Wijeysundera N.E. 1986. Laminar forced convection in circular and flat ducts with wall axial conduction and external convection, *Int. J. Heat Mass Tr.*, Vol.29, No.5, pp.797-807.
- Yan, W.-M., Tsay, Y.L., Lin, T.F. 1989. Transient conjugated heat transfer in laminar pipe flows, *Int. J. Heat Mass Tr.*, Vol.32, No.4, pp.775-777.
- Yan, W.-M. 1993. Transient conjugated heat transfer in channel flows with convection from the ambient, *Int. J. Heat Mass Tr.*, Vol.36, No.5, pp.1295-1301.

Yan, W.-M. 1995. Unsteady conjugated heat transfer in turbulent channel flows with convection from the ambient, *Int. J. Heat Mass Tr.*, Vol.38, No.11, pp.2101-2108.



Özgeçmiş

1957-Yunak (Konya) doğumlu olan Ali Ateş ilk ve orta tahsilini Konyada tamamladıktan sonra Isparta Devlet Müh. Ve Mim. Akademisi Makina Müh. Bölümünü bitirdi. Daha sonra Yıldız Üniversitesi Fen Bilimleri Enstitüsü İşi ve Proses Tekniği Anabilim Dalında yükseklisansa başladı. Ancak bu eğitimini Selçuk Üniversitesi Fen Bilimleri Enstitüsünde tamamladı. Bir ara Araştırma Görevlisi olarak çalıştığı S.Ü. Müh. Mim. Fak. Makina Bölümünden ayrılarak serbest ticari faaliyette bulundu ve 1994 yılında tekrar S.Ü. İlgın Meslek Yüksekokulunda Öğr. Gör. Olarak göreve başladı. Halen bu görevini sürdürmekte olan Ali Ateş evli ve 3 çocuk babasıdır.

6. EKLER

EK-A

Sayısal Türev, Sayısal İntegral ve Enterpolasyon

Newton-Gregory formülüne göre bir fonksiyonun herhangi bir k noktasındaki türevi, fonksiyonun bu noktadaki ve bu noktadan önce eşit aralıklarla dizilmiş bilinen üç noktadaki değerlerine göre şöyle hesaplanabilir, (Hildebrand, 1976).

$$f'(k) = \frac{1}{h} \left[\nabla f(k) + \frac{1}{2} \nabla^2 f(k) + \frac{1}{3} \nabla^3 f(k) \right] \quad (\text{A. 1})$$

Burada h , noktalar arasındaki mesafedir. $\nabla f(k)$, $\nabla^2 f(k)$, $\nabla^3 f(k)$ ifadeleri ise şöyle tanımlanabilir.

$$\nabla f(k) = f(k) - f(k-h) \quad (\text{A. 2})$$

$$\nabla^2 f(k) = [f(k) - f(k-h)] - [f(k-h) - f(k-2h)] \quad (\text{A. 3})$$

$$\begin{aligned} \nabla^3 f(k) = & \{ [f(k) - f(k-h)] - [f(k-h) - f(k-2h)] \} - \{ [f(k-h) - f(k-2h)] - \\ & - f(k-3h) \} \quad (\text{A. 4}) \end{aligned}$$

N pozitif bir çift tamsayı olmak üzere herhangi bir $f(x)$ fonksiyonunun Simpson' un 1/3 kuralına göre $x=a$ ile $x=a+Nh$ aralığındaki integrali şu formülle yaklaşık olarak hesaplanabilir, (Spiegel, 1971).

$$\int_a^{a+Nh} f(x) dx = \frac{h}{3} \left[f(a) + 4f(a+h) + 2f(a+2h) + 4f(a+3h) + \dots + f(a+Nh) \right] \quad (\text{A. 5})$$

Herhangi bir $f(x)$ fonksiyonunun $(n+1)$ adet ayrik noktada değerleri biliniyorsa yani çözümü varsa, Lagrange enterpolasyon formülü uygulanarak ara noktaların değerleri hesaplanabilir, (Aktaş, Öncül ve Ural, 1984)

$$F(x) = \sum_{i=0}^n L_i(x) f_i \quad (\text{A. 6})$$

ifadesi Lagrange enterpolasyon formülüdür. Burada L_i terimleri daha açık olarak;

$$L_i(x) = \frac{(x - x_0)(x - x_1)(x - x_2) \dots (x - x_{i-1})(x - x_{i+1}) \dots (x - x_n)}{(x_i - x_0)(x_i - x_1)(x_i - x_2) \dots (x_i - x_{i-1})(x_i - x_{i+1}) \dots (x_i - x_n)} \quad (\text{A. 7})$$

şeklinde yazılabilir.

Bilinen üç nokta için yukarıdaki formüller şöyle uygulanabilir.

$$L_0 = \frac{(x - x_1)(x - x_2)}{(x_0 - x_1)(x_0 - x_2)} \quad (\text{A. 8})$$

$$L_1 = \frac{(x - x_0)(x - x_2)}{(x_1 - x_0)(x_1 - x_2)} \quad (\text{A. 9})$$

$$L_2 = \frac{(x - x_0)(x - x_1)}{(x_2 - x_0)(x_2 - x_1)} \quad (\text{A. 10})$$

$$F(x) = L_0 f_0 + L_1 f_1 + L_2 f_2 \quad (\text{A. 11})$$

EK- B**Bilgisayar Program Listeleri****a) TRANSCON.PAS Listesi (Ana Program)**

```

Program TransientConjugatet;
{$N+,E-}
{$R+}
{$S+}
(*
*****
*-- Program .....: TRANSCON.PAS
*-- Yazılım .....: Ş.BİLİR, A.ATEŞ
*-- Tarih .....: 27-04-98
*-- Version .....: Pascal 7.0
*-- Notlar .....: Ana program listesi
*-- PhD Thesis, Selçuk University
*****
*)

Uses Crt,Dos,Printer,Graph,Degiskenler,Isaretci,Gerekli,Enterpolasyon,Enterp5,
      Cizim1,Cizim2,Cizim3,Cizim4, Cizim5,SGoster,NusseltS,YSicak,THesapla,
      Katsayi,Mesyaz,Mesafe;
VAR EkM : integer;
begin
  clrscr;
  hlim:=0.0001;
  DelT:=0.0001;
  sol:=25;
  sag:=33;
  alt:=8;
  ust:=alt;
  s:=99;
  getmem(T,((sol+sag+4)*(alt+ust+4)+(sol+sag+4))*sizeof(double));
  getmem(Ap,((sol+sag+4)*(alt+ust+4)+(sol+sag+4))*sizeof(double));
  getmem(Ae,((sol+sag+4)*(alt+ust+4)+(sol+sag+4))*sizeof(double));
  getmem(Aw,((sol+sag+4)*(alt+ust+4)+(sol+sag+4))*sizeof(double));
  getmem(An,((sol+sag+4)*(alt+ust+4)+(sol+sag+4))*sizeof(double));
  getmem(As,((sol+sag+4)*(alt+ust+4)+(sol+sag+4))*sizeof(double));
  getmem(Ap0,((sol+sag+4)*(alt+ust+4)+(sol+sag+4))*sizeof(double));
  getmem(b,((sol+sag+4)*(alt+ust+4)+(sol+sag+4))*sizeof(double));

```

```

getmem(DelX,(sol+sag+4)*sizeof(double));
getmem(DelXM,(sol+sag+4)*sizeof(double));
getmem(X,(sol+sag+4)*sizeof(double));
getmem(Tb,(sol+sag+4)*sizeof(double));
getmem(Tp,(sol+sag+4)*sizeof(double));
getmem(Nu,(sol+sag+4)*sizeof(double));
getmem(Dt,(sol+sag+4)*sizeof(double));
getmem(Qwt,(sol+sag+4)*sizeof(double));

getmem(DelR,(alt+ust+4+sol+sag+4)*sizeof(double));
getmem(DelRM,(alt+ust+4+sol+sag+4)*sizeof(double));
getmem(R,(alt+ust+4+sol+sag+4)*sizeof(double));
EkM:=LastMode;
while true do begin
  TextMode(C80 + Font8x8);
  renk(14,9);
  ortalı(3,'TRANSIENT CONJUGATED HEAT TRANSFER');
  renk(7,0);
  renk(14,11);
  ortalı(8,'Seçenekler Listesi');
  renk(15,0);
  gotoxy(6,11); WriteLn('-> Dış Yüzey SıcaklıĞı Eksenel Dağılımının Zamana
Göre Değişimi');
  gotoxy(6,12); WriteLn('-> Ara Yüzey " " " " " ');
  gotoxy(6,13); WriteLn('-> Yiğik Sıcaklık " " " " " ');
  gotoxy(6,14); WriteLn('-> Radyal Sıcaklık Dağılımının Zamana Göre Değişimi
(x=-0.1018)');
  gotoxy(6,15); WriteLn('-> " " " " " " (x=0.0)');
  gotoxy(6,16); WriteLn('-> " " " " " " (x=0.1018)');
  gotoxy(6,17); WriteLn('-> " " " " " " (x=0.4666)');
  gotoxy(6,18); WriteLn('-> " " " " " " (x=1.1522)');
  gotoxy(6,19); WriteLn('-> Yerel Nusselt Sayısı Eksenel Dağılımının Zamana
Göre Değişimi');
  gotoxy(6,20); WriteLn('-> Ara Yüzey Isı Akısı Eksenel Dağılımının Zamana
Göre Değişimi');
  gotoxy(6,21); WriteLn('-> Cidar Kalınlık Oranının Ara Yüzey Isı Akısına Etkisi
(t=0.0035)');
  gotoxy(6,22); WriteLn('-> " " " " " " " " (t=0.0791)');
  gotoxy(6,23); WriteLn('-> " " " " " " " " (sür.rejim)');
  gotoxy(6,24); WriteLn('-> Cidar-Akışkan Isı İletkenlik Kats.Oranının AYIA`na
Etkisi (t=0.0035)');
  gotoxy(6,25); WriteLn('-> " " " " " " " " " (t=0.0791)');
  gotoxy(6,26); WriteLn('-> " " " " " " " " " (sür.rejim)');
  gotoxy(6,27); WriteLn('-> Cidar-Akışkan Isıl Yayılım Kats.Oranının AYIA`na
Etkisi (t=0.0035)');
  gotoxy(6,28); WriteLn('-> " " " " " " " " " (t=0.0791)');
  gotoxy(6,29); WriteLn('-> " " " " " " " " " (sür.rejim)');

```

```

gotoxy(6,30); WriteLn('-> Peclet Sayısının Ara Yüzey Isı Akısına
Etkisi (t'=0.0035)');
gotoxy(6,31); WriteLn(' " " " " " " (t'=0.0791)');
gotoxy(6,32); WriteLn(' " " " " " " (sür.rejim)');
gotoxy(6,33); WriteLn('-> Biot Sayısının Ara Yüzey Isı Akısına Etkisi
(t'=0.0035)');
gotoxy(6,34); WriteLn(' " " " " " " (t'=0.0791)');
gotoxy(6,35); WriteLn(' " " " " " " (sür.rejim)');
gotoxy(6,38); WriteLn('-> Programdan Çıkış');
renk(12,0);
gotoxy(5,11); WriteLn('a');
gotoxy(5,12); WriteLn('b');
gotoxy(5,13); WriteLn('c');
gotoxy(5,14); WriteLn('d');
gotoxy(5,15); WriteLn('e');
gotoxy(5,16); WriteLn('f');
gotoxy(5,17); WriteLn('g');
gotoxy(5,18); WriteLn('h');
gotoxy(5,19); WriteLn('i');
gotoxy(5,20); WriteLn('j');
gotoxy(5,21); WriteLn('k');
gotoxy(5,22); WriteLn('l');
gotoxy(5,23); WriteLn('m');
gotoxy(5,24); WriteLn('n');
gotoxy(5,25); WriteLn('o');
gotoxy(5,26); WriteLn('p');
gotoxy(5,27); WriteLn('q');
gotoxy(5,28); WriteLn('r');
gotoxy(5,29); WriteLn('s');
gotoxy(5,30); WriteLn('t');
gotoxy(5,31); WriteLn('u');
gotoxy(5,32); WriteLn('v');
gotoxy(5,33); WriteLn('w');
gotoxy(5,34); WriteLn('x');
gotoxy(5,35); WriteLn('y');
gotoxy(5,38); WriteLn('0');
renk(6,0);
gotoxy(5,43); Write('Uyarı:');
Renk(7,0);
gotoxy(12,43); write('Grafikler çok büyük veya çok küçük çıktıgı zaman');
gotoxy(12,44); write('CIZIM?.PAS Unit'lerindeki gx1,gy1,gx2,gy2
değişkenlerinin');
gotoxy(12,45); write('değerleri değiştirilerek ölçek ayarı yapılması gereklidir.');

renk(9,0);
GotoXY(05,48); Write('Program devam ederken..');
renk(14,5);
gotoxy(05,49); Write('ESC -> Çıkış');

```

```

gotoxy(21,49); Write('SPACE, ENTER -> Devam');
gotoxy(46,49); Write('F2 -> Ekrandaki Grafiği Kaydet');
renk(7,0);
imlec('Y');
tdt:=0.0;
adt:=0;
s:=99;
rk:=1;
yaz:=1;
sdt:=0;
bas:=15;
for j:=alt+ust+1 Downto 0 do
  for i:=1 to sol+sag+2 do
    begin
      T^[i,j]:=0.0;
    end;
  Mesafeler(sol,sag,alt,ust);
repeat
  sec:=UpperCase(readkey);
until sec in['A'..'Y','0',#27];
TextMode(EkM);
imlec('Y');
if (sec='0') or (sec=#27) then break;
if (sec='A') or (sec='B') or (sec='C') or (sec='D') or (sec='E') or (sec='F') or
(sec='G') or (sec='H') or (sec='I') or (sec='J') or (sec='K') or (sec='N') or (sec='Q') or
(sec='T') or (sec='W') then bas:=15
else if (sec='L') or (sec='O') or (sec='R') or (sec='U') or (sec='X') then bas:=45
else bas:=255;
while true do
  if s>1 then begin
    if (sec='K') or (sec='L') or (sec='M') then begin
      d:=d_ussu[yaz];
      Mesafeler(sol,sag,alt,ust);
    end
    else if (sec='N') or (sec='O') or (sec='P') then ksf:=kwf[yaz]
    else if (sec='Q') or (sec='R') or (sec='S') then asf:=awf[yaz]
    else if (sec='T') or (sec='U') or (sec='V') then pe:=peclet[yaz]
    else if (sec='W') or (sec='X') or (sec='Y') then bi:=biot[yaz];
    Katsayilar(sol,sag,alt,ust,sdt);
    Hesaplama(sol,sag,alt,ust);
    sdt:=sdt+1;
    GotoXY(17,22);
    Write(sdt:2,'. Zaman Aralığı Hesaplandı... ');
    WriteLn(' İtr.sayı: ',s:6);
    TempBulk(sol,sag,alt,ust);
    Nusselt(sol,sag,alt,ust);
    DelT:=DelT*1.1;
    Tdt:=Tdt+DelT;
  end;
end;

```

```

if ((sdt mod bas)=0) or (s=1) then begin
  if sec='A' then CizdirT(sol,sag,alt,ust,1)
  else if sec='B' then CizdirT(sol,sag,alt,ust,2)
  else if sec='C' then CizdirT(sol,sag,alt,ust,0)
  else if sec='D' then CizdirR(sol,sag,alt,ust,1)
  else if sec='E' then CizdirR(sol,sag,alt,ust,2)
  else if sec='F' then CizdirR(sol,sag,alt,ust,3)
  else if sec='G' then CizdirR(sol,sag,alt,ust,4)
  else if sec='H' then CizdirR(sol,sag,alt,ust,5)
  else if sec='I' then CizdirNu(sol,sag,alt,ust,0,Nu^)
  else if sec='J' then CizdirQ(sol,sag,alt,ust,0,Dt^)
  else if (sec='K') or (sec='L') or (sec='M') or (sec='N') or (sec='O') or (sec='P')
    or (sec='Q') or (sec='R') or (sec='S') or (sec='T') or (sec='U') or (sec='V')
    or (sec='W') or (sec='X') or (sec='Y') then begin
    CizdirP(sol,sag,alt,ust,Dt^);
    DelT:=0.0001;
    tdt:=0.0;
    sdt:=0;
    s:=99;
    for j:=alt+ust+1 Downto 0 do
      for i:=1 to sol+sag+2 do
        T^[[i,j]]:=0.0;
        yaz:=yaz+1;
      end;
    end;
    if tus=#27 then break;
  end
  else begin
    beklet;
    if tus=#27 then break;
  end;
end;
freemem(T,((sol+sag+4)*(alt+ust+4)+(sol+sag+4))*sizeof(double));
freemem(Ap,((sol+sag+4)*(alt+ust+4)+(sol+sag+4))*sizeof(double));
freemem(Ae,((sol+sag+4)*(alt+ust+4)+(sol+sag+4))*sizeof(double));
freemem(Aw,((sol+sag+4)*(alt+ust+4)+(sol+sag+4))*sizeof(double));
freemem(An,((sol+sag+4)*(alt+ust+4)+(sol+sag+4))*sizeof(double));
freemem(As,((sol+sag+4)*(alt+ust+4)+(sol+sag+4))*sizeof(double));
freemem(Ap0,((sol+sag+4)*(alt+ust+4)+(sol+sag+4))*sizeof(double));
freemem(b,((sol+sag+4)*(alt+ust+4)+(sol+sag+4))*sizeof(double));

freemem(DelX,(sol+sag+4)*sizeof(double));
freemem(DelXM,(sol+sag+4)*sizeof(double));
freemem(X,(sol+sag+4)*sizeof(double));
freemem(Tb,(sol+sag+4)*sizeof(double));
freemem(Tp,(sol+sag+4)*sizeof(double));
freemem(Nu,(sol+sag+4)*sizeof(double));
freemem(Dt,(sol+sag+4)*sizeof(double));

```

```

freemem(Qwt,(sol+sag+4)*sizeof(double));

freemem(DelR,(alt+ust+4+sol+sag+4)*sizeof(double));
freemem(DelRM,(alt+ust+4+sol+sag+4)*sizeof(double));
    freemem(R,(alt+ust+4+sol+sag+4)*sizeof(double));
end.

```

b) DEGISKENLER.PAS Listesi

Unit Degiskenler;

(*

```
*****
*-- Program .....: DEGISKENLER.PAS
*-- Yazılım .....: S.BİLİR, A.ATEŞ
*-- Tarih .....: 29-04-98
*-- Version .....: Pascal 7.0
*-- Notlar .....: Program içinde kullanılan global değişkenler
*--          PhD Thesis, Selçuk University
*****
```

*)

interface

const

```

Biot : array[1..6] of real = (0.1,1.0,10.0,100.0,1000.0,10000.0);
Peclet : array[1..4] of real = (0.1,1.0,5.0,20.0);
kwf : array[1..5] of real = (0.1,1.0,10.0,100.0,1000.0);
awf : array[1..4] of real = (0.1,1.0,10.0,100.0);
d_ussu : array[1..3] of real = (0.02,0.1,0.3);
x_ussu : array[1..5] of real = (-0.1,0.0,0.1,0.5,1.1);
indis : array[1..5] of byte = (0,0,0,0,0);
Bi : real = 10.0;
Pe : real = 5.0;
Ksf : real = 10.0;
Asf : real = 1.0;
D : real = 0.1;
f : real = 0.001;
maxy = 19;
maxx = 80;

```

Type

```

Mat_arr = array[1..maxx, 0..maxy] of real;
Row_arr = array[1..maxx] of real;
Col_arr = array[0..maxy] of real;
St80 = String[80];

```

var

```
Ap,Ae,Aw,An,As,Ap0,b,T : ^Mat_arr;
```

```

DelX,DelXM,X,Tb,Tp,Nu,Dt,Qwt : ^Row_arr;
DelR,DelRM,R      : ^Col_arr;
Delt,Tdt,Drn,Drs,Dxe,Dxw,ebf,
hlim,Rrr,Bbb,DelR1,DelR2,ebd1,ebd2 : real;
isn,sdt,tsy,s     : longint;
sol,sag,alt,ust,na,i,j,z,rk : word;
ciz,yaz,bas       : byte;
tus,sec           : char;
alan1,alan2,adt   : word;
resim1,resim2     : pointer;
Lx,Ly             : array[1..999] of real;
implementation
end.

```

c) MESAFE.PAS Listesi

Unit Mesafe;

(*

```
*****
*-- Program .....: MESAFE.PAS
*-- Yazılım .....: Ş.BİLİR, A.ATEŞ
*-- Tarih .....: 29-04-98
*-- Version .....: Pascal 7.0
*-- Notlar .....: Düğüm sistemindeki yatay ve düşey mesafelerin hesaplanması
*--          PhD Thesis, Selçuk University
*****
```

*)

Interface

uses degiskenler;

Procedure Mesafeler(m1,m2,nn,l : byte); { Eksenel ve Radyal Uzunlukların
Girilmesi }

Implementation

Procedure Mesafeler;

var

i,j,k,ix,ind : byte;
frk : real;

Begin

for j:=1 to nn+l+1 do

r^[j]:=0.0;

for i:=1 to m1+m2+2 do Begin

```

x^i]:=0.0;
End;
x^m1+1]:=0.0; x^m1]:=-f; x^m1+2]:=+f;
DelX^m1+1]:=f; DelX^m1+2]:=f; DelX^m1]:=f*1.35;
{ x=0 in sol tarafi ( x'<0 ) yani üst akış bölgesi mesafeleri }
frk:=99.0;
For i:=m1-1 Downto 2 Do
Begin
  DelX^i]:=DelX^i+1]*1.35;
  x^i]:=x^i+1]-DelX^i+1];
  if abs(abs(x^i))-abs(x_ussu[1]))<frk then begin
    frk:=abs(abs(x^i))-abs(x_ussu[1]));
    indis[1]:=i;
    end;
  End;
  ind:=indis[1];
  x_ussu[1]:=x^ind];
  indis[2]:=m1+1;
{ x=0 in sağ tarafi ( x'>=0 ) yani alt akış bölgesi mesafeleri }
frk:=99.0;
ix:=3;
For i:=m1+3 to m1+m2+1 Do
Begin
  DelX^i]:=DelX^i-1]*1.35;
  x^i]:=x^i-1]+DelX^i];
  if (ix<6) and (abs(x^i)-x_ussu[ix])<frk) then begin
    frk:=abs(x^i)-x_ussu[ix]);
    indis[ix]:=i;
    end;
  if (ix<6) and (x^i>x_ussu[ix]) then begin
    ind:=indis[ix];
    x_ussu[ix]:=x^ind];
    ix:=ix+1;
    frk:=99.0;
    end;
  End;
  DelX^1]:=DelX^2]; DelX^m1+m2+2]:=DelX^m1+m2+1];
  x^1]:=x^2]-DelX^2]; x^m1+m2+2]:=x^m1+m2+1]+DelX^m1+m2+2];
For i:=1 to m1+m2+1 do
  DelXM^i]:=(DelX^i+DelX^i+1])/2.0;
  DelXM^m1+m2+2]:=(DelX^m1+m2+1]+DelX^m1+m2+2])/2.0;
{ Radyal Mesafelerinin Girilmesi }
  DelR2:=d/l; { Boru cidar kalınlığını l=8 parçaya böl }
  DelR1:=(1-DelR2*nn/2)/(nn/2); { Akışkan bölg. geniş olan aralıklar }
  r^1]:=0.0;
  na:=(nn div 2)+1;
  For j:=2 to na do begin
    Delr^j]:=DelR1;

```

```

r^j]:=r^j-1]+Delr^j];
End;
For j:=na+1 to nn+l+1 do begin
  Delr^j]:=DelR2;
  r^j]:=r^j-1]+Delr^j];
End;
Delr^1]:=Delr^2; Delr^nn+l+2]:=Delr^nn+l+1];
For j:=1 to nn+l+1 do
  DelRM^j]:=(Delr^j+Delr^j+1])/2.0;
End;
End.

```

d) MESYAZ.PAS Listesi

```

Unit MesYaz;
(*
*****
*-- Program .....: MESYAZ.PAS
*-- Yazılım .....: S.BİLİR, A.ATEŞ
*-- Tarih .....: 01-05-98
*-- Version .....: Pascal 7.0
*-- Notlar .....: Hesaplanan mesafelerin istendiğinde yazdırılabilmesi için
*--                  PhD Thesis, Selçuk University
*****
*)

```

```

Interface
Uses Crt,Printer,Degiskenler,gerekli;
Procedure MYazdir(m1,m2,nn,l : byte);      { Verilen Radyal ve Eksenel Mesafelerin
Yazdırılması }
Implementation
Procedure MYazdir;
var
  i,j : byte;
Begin
  WriteLn('Mesafeler Yazdırılıyor..');
  WriteLn('d='';d:7:4);
  for j:=1 to nn+l+1 do
    Begin
      Write('R(''j:2,''); Write(r^j]:7:4); Write('   '); Write('DeltaR(''j:2,''));
      Write(Delr^j]:7:4);
      Write('   '); Write('DeltaRM(''j:2,'')); Writeln(DelRM^j]:7:4);
    End;
  for j:=24 to isn do
    Begin

```

```

    Write(lst,'R('j:2,) '); Write(lst,r^[j]:7:4); Write(lst,'   ');
    Write(lst,'DeltaR('j:2,) ');
        Write(lst,Delr^[j]:7:4);
        Write(lst,'   ');
        Write(lst,'DeltaRM('j:2,) ');
        Writeln(lst,DelRM^[j]:7:4);
    End;
beklet;
writeln; writeln;
for i:=1 to m1+1 do
Begin
    write('X('i:2,) ');
    write(x^[i]:7:4); write('   ');
    write('DeltaX('i:2,) ');
    write(DelX^[i]:7:4);
    write('   ');
    write('DeltaXM('i:2,) ');
    Writeln(DelXM^[i]:7:4);
End;
beklet;
writeln;
for i:=M1+1 to m1+m2+2 do
Begin
    write('X('i:2,) ');
    write(x^[i]:7:4); write('   ');
    write('DeltaX('i:2,) ');
    write(DelX^[i]:7:4);
    write('   ');
    write('DeltaXM('i:2,) ');
    Writeln(DelXM^[i]:7:4);
End;
End;
End.

```

e) KATSAYI.PAS Listesi

Unit Katsayi;

(*

*-- Program: KATSAYILAR.PAS

*-- Yazılım: S.BİLİR, A.ATEŞ

*-- Tarih: 29-04-98

*-- Version: Pascal 7.0

*-- Notlar: Ayırıklaştırılmış denklemlerin katsayılarının hesabı

*-- PhD Thesis, Selçuk University

*)

Interface

uses crt,Degiskenler;

Procedure Katsayilar(m1,m2,nn,l,ddt : byte); { Katsayıların Hesabı }

Implementation

Procedure Katsayilar;

var

i,j,k : byte;

```

Begin
for j:=nn+l+1 Downto 1 do
  for i:=1 to m1+m2+2 do
    begin
      Ae^[i,j]:=0.0;
      Aw^[i,j]:=0.0;
      An^[i,j]:=0.0;
      As^[i,j]:=0.0;
      Ap0^[i,j]:=0.0;
      b^*[i,j]:=0.0;
      Ap^*[i,j]:=0.0;
    end;

{ Cidar Bölgesine ait katsayılar.. }

For i:=2 to m1+m2 do
  for j:=nn+l+1 Downto nn+2 do begin
    Ae^*[i,j]:=(r^*[j]*DelRM^*[j])/(Pe*Pe*DelX^*[i+1]);
    Aw^*[i,j]:=(r^*[j]*DelRM^*[j])/(Pe*Pe*DelX^*[i]);
    An^*[i,j]:=(r^*[j]/Delr^*[j+1]+0.5)*DelXM^*[i];
    As^*[i,j]:=(r^*[j]/Delr^*[j]-0.5)*DelXM^*[i];
    Ap0^*[i,j]:=(r^*[j]*DelRM^*[j]*DelXM^*[i])/(Asf*DelT);
    b^*[i,j]:=0.0;
    Ap^*[i,j]:=Ae^*[i,j]+Aw^*[i,j]+An^*[i,j]+As^*[i,j]+Ap0^*[i,j]+b^*[i,j];
  End;

{ Akişkan Bölgesine ait katsayılar.. }

for i:=2 to m1+m2 do
  For j:=nn Downto 2 do Begin
    Ae^*[i,j]:=(r^*[j]-exp(3.0*ln(r^*[j])))*DelRM^*[j]/(exp(Pe*Pe*(1-
exp(2.0*ln(r^*[j])))*DelX^*[i+1])-1.0);
    Aw^*[i,j]:=(exp(Pe*Pe*(1-exp(2.0*ln(r^*[j])))*DelX^*[i])*(r^*[j]-
exp(3.0*ln(r^*[j])))*DelRM^*[j])
      /(exp(Pe*Pe*(1-exp(2.0*ln(r^*[j])))*DelX^*[i])-1.0);
    An^*[i,j]:=(r^*[j]/Delr^*[j+1]+0.5)*DelXM^*[i];
    As^*[i,j]:=(r^*[j]/Delr^*[j]-0.5)*DelXM^*[i];
    Ap0^*[i,j]:=(r^*[j]*DelRM^*[j]*DelXM^*[i])/DelT;
    b^*[i,j]:=0.0;
    Ap^*[i,j]:=Ae^*[i,j]+Aw^*[i,j]+An^*[i,j]+As^*[i,j]+Ap0^*[i,j]+b^*[i,j];
  End;

{ Sınır Şartlarındaki katsayılar.. }

j:=nn+l+1;
For i:=2 to m1 do begin
  Ae^*[i,j]:=(DelRM^*[j])/(Pe*Pe*DelX^*[i+1]);
  Aw^*[i,j]:=(DelRM^*[j])/(Pe*Pe*DelX^*[i]);
  An^*[i,j]:=0.0;
  As^*[i,j]:=2/Delr^*[j]*DelXM^*[i];
  Ap0^*[i,j]:=(DelRM^*[j]*DelXM^*[i])/(Asf*DelT);
  b^*[i,j]:=0.0;

```

```

Ap^*[i,j]:=Ae^*[i,j]+Aw^*[i,j]+An^*[i,j]+As^*[i,j]+Ap0^*[i,j]+b^*[i,j];
end;
j:=nn+l+1; { 1-f şarti }
For i:=m1+1 to m1+m2 do begin
  Ae^*[i,j]:=(r^*[j]*DelRM^*[j])/(Pe*Pe*DelX^*[i+1]);
  Aw^*[i,j]:=(r^*[j]*DelRM^*[j])/(Pe*Pe*DelX^*[i]);
  An^*[i,j]:=0.0;
  As^*[i,j]:=2*r^*[j]/Delr^*[j]*DelXM^*[i];
  Ap0^*[i,j]:=(r^*[j]*DelRM^*[j]*DelXM^*[i])/(Asf*DelT);
  b^*[i,j]:=Bi*(2*r^*[j]+Delr^*[j])*DelXM^*[i];
  Ap^*[i,j]:=Ae^*[i,j]+Aw^*[i,j]+An^*[i,j]+As^*[i,j]+Ap0^*[i,j]+b^*[i,j];
end;

j:=nn+1;
For i:=2 to m1+m2 do begin
  Ae^*[i,j]:=(r^*[j]*DelRM^*[j])/(Pe*Pe*DelX^*[i+1]);
  Aw^*[i,j]:=(r^*[j]*DelRM^*[j])/(Pe*Pe*DelX^*[i]);
  An^*[i,j]:=(r^*[j]/Delr^*[j+1]+0.5)*DelXM^*[i];
  As^*[i,j]:=(r^*[j]/Delr^*[j]-0.5)*DelXM^*[i]/ksf;
  Ap0^*[i,j]:=(r^*[j]*DelRM^*[j]*DelXM^*[i])/(Asf*DelT);
  b^*[i,j]:=0.0;
  Ap^*[i,j]:=Ae^*[i,j]+Aw^*[i,j]+An^*[i,j]+As^*[i,j]+Ap0^*[i,j]+b^*[i,j];
end;

j:=1;
For i:=2 to m1+m2 do begin
  Ae^*[i,j]:=DelRM^*[j]/(exp(Pe*Pe*DelX^*[i+1])-1);
  Aw^*[i,j]:=exp(Pe*Pe*DelX^*[i])*DelRM^*[j]/(exp(Pe*Pe*DelX^*[i])-1);
  An^*[i,j]:=2.0/Delr^*[j+1]*DelXM^*[i];
  As^*[i,j]:=0.0;
  Ap0^*[i,j]:=(DelRM^*[j]*DelXM^*[i])/DelT;
  b^*[i,j]:=0.0;
  Ap^*[i,j]:=Ae^*[i,j]+Aw^*[i,j]+An^*[i,j]+As^*[i,j]+Ap0^*[i,j]+b^*[i,j];
end;

i:=m1+m2+1;
For j:=nn+1 Downto nn+2 do Begin
  Ae^*[i,j]:=0.0;
  Aw^*[i,j]:=2*(r^*[j]*DelRM^*[j])/(Pe*Pe*DelX^*[i]);
  An^*[i,j]:=(r^*[j]/Delr^*[j+1]+0.5)*DelXM^*[i];
  As^*[i,j]:=(r^*[j]/Delr^*[j]-0.5)*DelXM^*[i];
  Ap0^*[i,j]:=(r^*[j]*DelRM^*[j]*DelXM^*[i])/(Asf*DelT);
  b^*[i,j]:=0.0;
  Ap^*[i,j]:=Ae^*[i,j]+Aw^*[i,j]+An^*[i,j]+As^*[i,j]+Ap0^*[i,j]+b^*[i,j];
End;

i:=m1+m2+1;
For j:=nn Downto 2 do Begin

```

```

Ae^[[i,j]]:=0.0;
Aw^[[i,j]]:=((exp(Pe*Pe*(1-exp(2.0*ln(r^[[j])))*DelX^[[i]])+1)*(r^[[j]]-
exp(3*ln(r^[[j]])))*DelRM^[[j]])
/(exp(Pe*Pe*(1-exp(2.0*ln(r^[[j])))*DelX^[[i]])-1));
An^[[i,j]]:=(r^[[j]]/Delr^[[j+1]]+0.5)*DelXM^[[i]];
As^[[i,j]]:=(r^[[j]]/Delr^[[j]]-0.5)*DelXM^[[i]];
Ap0^[[i,j]]:=(r^[[j]]*DelRM^[[j]]*DelXM^[[i]])/DelT;
b^[[i,j]]:=0.0;
Ap^[[i,j]]:=Ae^[[i,j]]+Aw^[[i,j]]+An^[[i,j]]+As^[[i,j]]+Ap0^[[i,j]]+b^[[i,j]];
End;

j:=nn+l+1; i:=m1+m2+1;
Ae^[[i,j]]:=0.0;
Aw^[[i,j]]:=2*(r^[[j]]*DelRM^[[j]])/(Pe*Pe*DelX^[[i]]);
An^[[i,j]]:=0.0;
As^[[i,j]]:=2*r^[[j]]/Delr^[[j]]*DelXM^[[i]];
Ap0^[[i,j]]:=(r^[[j]]*DelRM^[[j]]*DelXM^[[i]])/(Asf*DelT);
b^[[i,j]]:=Bi*(2*r^[[j]]+Delr^[[j]])*DelXM^[[i]];
Ap^[[i,j]]:=Ae^[[i,j]]+Aw^[[i,j]]+An^[[i,j]]+As^[[i,j]]+Ap0^[[i,j]]+b^[[i,j]];

j:=nn+1; i:=m1+m2+1;
Ae^[[i,j]]:=0.0;
Aw^[[i,j]]:=2*(r^[[j]]*DelRM^[[j]])/(Pe*Pe*DelX^[[i]]);
An^[[i,j]]:=(r^[[j]]/Delr^[[j+1]]+0.5)*DelXM^[[i]];
As^[[i,j]]:=(r^[[j]]/Delr^[[j]]-0.5)*DelXM^[[i]]/Ksf;
Ap0^[[i,j]]:=(r^[[j]]*DelRM^[[j]]*DelXM^[[i]])/(Asf*DelT);
b^[[i,j]]:=0.0;
Ap^[[i,j]]:=Ae^[[i,j]]+Aw^[[i,j]]+An^[[i,j]]+As^[[i,j]]+Ap0^[[i,j]]+b^[[i,j]];

j:=1; i:=m1+m2+1;
Ae^[[i,j]]:=0.0;
Aw^[[i,j]]:=(exp(Pe*Pe*DelX^[[i]])+1)*DelRM^[[j]]/(exp(Pe*Pe*DelX^[[i]])-1);
An^[[i,j]]:=2.0/Delr^[[j+1]]*DelXM^[[i]];
As^[[i,j]]:=0.0;
Ap0^[[i,j]]:=(DelRM^[[j]]*DelXM^[[i]])/DelT;
b^[[i,j]]:=0.0;
Ap^[[i,j]]:=Ae^[[i,j]]+Aw^[[i,j]]+An^[[i,j]]+As^[[i,j]]+Ap0^[[i,j]]+b^[[i,j]];
End;
End.

```

f) THEsapla.PAS Listesi

Unit THesapla;

(*

```

-- Program .....: THESAPLA.PAS
-- Yazılım .....: S.BİLİR, A.ATEŞ
-- Tarih .....: 03-05-98
-- Version .....: Pascal 7.0
-- Notlar .....: Düğüm noktası sıcaklıklarının hesaplanması
--              PhD Thesis, Selçuk University
*****)

```

Interface

Uses Degiskenler,Gerekli;

Procedure Hesaplama(m1,m2,nn,l : byte); { Düğüm noktaları sıcaklıklarının hesabi.. }

Implementation

Procedure Hesaplama;

var

 T0 : Mat_arr;

 i,j,m : Byte;

Begin

 s:=0;

 renk(7,0);

 Ortala(25,'Lütfen bekleyiniz..');

 For i:=1 to m1+m2+2 do

 For j:=nn+l+1 Downto 1 do

 T0[i,j]:=T^*[i,j];

 repeat

 ebf:=0.0;

 s:=s+1;

 For i:=2 to m1+m2+1 do begin

 For j:=nn+l+1 Downto 1 do begin

 if (Ap^*[i,j]=0.0) Then

 rrr:=0.0

 Else

 Rrr:=(Ae^*[i,j]*T^*[i+1,j]+Aw^*[i,j]*T^*[i-

1,j]+An^*[i,j]*T^*[i,j+1]+As^*[i,j]*T^*[i,j-1]+Ap0^*[i,j]*T0[i,j]+b^*[i,j])

$$/(1.0*Ap^*[i,j])-T^*[i,j];$$

 T^*[i,j]:=T^*[i,j]+rrr;

 if abs(rrr)>ebf then ebf:=abs(rrr);

 end;

 end;

 until (ebf<hlim);

 tsy:=tsy+s;

 End;

 End.

g) YSICAK.PAS Listesi

```

Unit YSicak;
(*
*****
*-- Program .....: YSICAK.PAS
*-- Yazılım .....: S.BİLİR, A.ATEŞ
*-- Tarih .......: 13-05-98
*-- Version .....: Pascal 7.0
*-- Notlar .....: Yiğik sıcaklıkların hesabı
*--                PhD Thesis, Selçuk University
*****)

```

Interface

Uses Crt,Graph,Degiskenler,Enterpolasyon;

Procedure TempBulk(m1,m2,nn,l : Byte); { Bulk (Yiğik) sıcaklıklar.. }

implementation

Procedure TempBulk;

var

```

ff    : Mat_arr;
Tp1a,Tp2a,Tp3a,Tp1b,Tp2b,Tp3b,Tba,Tbb : Row_arr;
i,j   : byte;

```

Begin

```

For i:=1 to m1+m2+2 do begin
  Tp1a[i]:=0.0; Tp2a[i]:=0.0; Tp3a[i]:=0.0;
  Tp1b[i]:=0.0; Tp2b[i]:=0.0; Tp3b[i]:=0.0;
End;

```

For i:=1 to m1+m2+1 do

Ff[i,1]:=0.0;

For i:=1 to m1+m2+1 do

For j:=2 to Nn+1 do

Ff[i,j]:=(r^j-exp(3*ln(r^j)))*T^i,j];

For i:=1 to m1+m2+1 do

Tp1a[i]:=Ff[i,1]+Ff[i,(Nn div 2)+1];

For i:=1 to m1+m2+1 do begin

j:=2;

While j<=(Nn div 2) do begin

Tp2a[i]:=Tp2a[i]+Ff[i,j];

j:=j+2;

End;

End;

For i:=1 to m1+m2+1 do begin

j:=3;

While j<=((Nn div 2)-1) do begin

Tp3a[i]:=Tp3a[i]+Ff[i,j];

j:=j+2;

```

End;
End;
For i:=1 to m1+m2+1 do
  Tba[i]:=4.0*DelR1/3.0*(Tp1a[i]+4.0*Tp2a[i]+2.0*Tp3a[i]);
For i:=1 to m1+m2+1 do
  Tp1b[i]:=Ff[i,nn+1]+Ff[i,(Nn div 2)+1];
For i:=1 to m1+m2+1 do begin
  j:=(Nn div 2)+2;
  While j<=Nn do begin
    Tp2b[i]:=Tp2b[i]+Ff[i,j];
    j:=j+2;
  End;
End;
For i:=1 to m1+m2+1 do begin
  j:=(Nn div 2)+3;
  While j<=(Nn-1) do begin
    Tp3b[i]:=Tp3b[i]+Ff[i,j];
    j:=j+2;
  End;
End;
For i:=1 to m1+m2+1 do
  Tbb[i]:=4.0*DelR2/3.0*(Tp1b[i]+4.0*Tp2b[i]+2.0*Tp3b[i]);
For i:=1 to m1+m2+1 do begin
  Tb^i]:=Tba[i]+Tbb[i];
end;
End;
End.

```

h) NUSSELTS.PAS Listesi

```

Unit NusseltS;
(*
*****
*-- Program .....: NUSSELTS.PAS
*-- Yazılım .....: S.BİLİR, A.ATEŞ
*-- Tarih .......: 13-05-98
*-- Version .....: Pascal 7.0
*-- Notlar .....: Yerel Nusselt sayılarının bulunması
*--                 PhD Thesis, Selçuk University
*****
*)

```

Interface
 Uses Degiskenler;
 Procedure Nusselt(m1,m2,nn,l : byte); { Yerel Nusselt sayıları.. }
 Implementation

```

Procedure Nusselt;
var
  Df1,Df2,Df3,Df12,Df23,Df123 : Row_arr;
  i,j      : byte;
Begin
  ebd1:=-999.0;
  ebd2:=-999.0;
  For i:=2 to m1+m2 do begin
    Df1[i]:=T^[i,Nn+1]-T^[i,Nn];
    Df2[i]:=T^[i,Nn]-T^[i,Nn-1];
    Df3[i]:=T^[i,Nn-1]-T^[i,Nn-2];
    Df12[i]:=Df1[i]-Df2[i];
    Df23[i]:=Df2[i]-Df3[i];
    Df123[i]:=Df12[i]-Df23[i];
    Dt^[i]:=(Df1[i]+Df12[i]/2.0+Df123[i]/3.0)/Delr2;
    If (T^[i,Nn+1]-Tb^[i])=0.0 Then
      Nu^[i]:=0.0
    Else
      Nu^[i]:=2.0*Dt^[i]/(T^[i,Nn+1]-Tb^[i]);
    if Dt^[i]>ebd1 then ebd1:=Dt^[i];
    if Nu^[i]>ebd2 then ebd2:=Nu^[i];
  End;
  For i:=2 to m1+m2 do begin
    Tp^[i]:=DelX^[i+1]*Dt^[i]+Tp^[i-1];
    Qwt^[i]:=2.0*Pe*Tp^[i];
  End;
End;
End.

```

i) SGOSTER.PAS Listesi

```

Unit Sgoster;
(*
*****
*-- Program .....: SGOSTER.PAS
*-- Yazılım .....: Ş.BİLİR, A.ATEŞ
*-- Tarih .......: 07-05-98
*-- Version .....: Pascal 7.0
*-- Notlar .....: Hesaplanan sıcaklıkların istendiğinde yazıcıdan alınabilmesi için
*--                PhD Thesis, Selçuk University
*****
*)

```

Interface
 Uses Crt,Printer,Degiskenler,Gerekli;
 Procedure Goster(m1,m2,nn,l : byte; sdt : integer);

```

Implementation
Procedure Goster;
var
  i,j,m,k : byte;
Begin
  renk(2,0);  Ortala(12,' Sonuçlar Yazdırılıyor..');
  renk(15+128,0); Ortala(14,' Lütfen Bekleyiniz..');
  renk(7,0);
  writeLn;
  writeLn;
{  WriteLn('T[i,17',m1+m2+1:2,',17] = ',T^[m1+m2+1,17]:12:9,' ');
  WriteLn('T[,m1+1:2,',17] = ',T^[m1+1,17]:12:9,' ');
  WriteLn(' Top.^tr.say.=',Tsy:6);  }

  WriteLn(lst,#18,'RESULTS OF TRANSIENT CONJUGATE PROBLEM');
  WriteLn(lst,#15,'ebf=',ebf:11:7,' Has.lim.=',hlim:12:9,' Itr.say.=',s:6,'
Top.^tr.say.=',Tsy:6,
' DeltaT=',DelT:11:7,' Top.Zaman=',Tdt:11:7,' d=',d:7:4,' Pe=',Pe:7:3,'
Bi=',Bi:7:3,
' AlfaWF=',Asf:7:3,' Kwf=',Ksf:7:3,' Kaçinci Adim=',sdt:4);
  m:=1;
  k:=1;
  For i:=1 to m1+m2+2 do begin
    Write(lst,'T[,i:2,',17] = ',T^[i,17]:12:9,' ');
    k:=k+1;
    if k>10 then begin
      WriteLn(lst);
      k:=1;
    end;
  End;
  WriteLn(lst);
  k:=1;
  For i:=1 to m1+m2+2 do begin
    Write(lst,'T[,i:2,',9] = ',T^[i,9]:12:9,' ');
    k:=k+1;
    if k>10 then begin
      WriteLn(lst);
      k:=1;
    end;
  End;
  WriteLn(lst);
  k:=1;
  For i:=1 to m1+m2+2 do begin
    Write(lst,'Tb^[,i:2,] = ',Tb^[i]:12:9,' ');
    k:=k+1;
    if k>10 then begin
      WriteLn(lst);
      k:=1;
    end;
  End;
}

```

```

    end;
End;
WriteLn(lst);
WriteLn(Lst,' x      Tb      Nu      Tw      log(x)  log(Nu)  qw
q');
WriteLn(Lst,'-----');
for i:=1 to m1+m2+1 do begin
  Write(lst,x^[i]:11:6);
  if Tb^[i]<5e-04 then Tb^[i]:=0.0;
  if T^*[i,nn]<5e-04 then T^*[i,nn]:=0.0;
  if Abs(Qwt^*[i])<0.005 then Qwt^*[i]:=0.0;
  if Abs(Dt^*[i])<0.005 then Dt^*[i]:=0.0;
  Write(Lst,Tb^*[i]:11:6,'',Nu^*[i]:11:6,'',T^*[i,nn]:11:6,'',3.0*ln(x^*[i]/0.001):11:6,
',10.0*ln(Nu^*[i]/3.0):11:6,'',
  Qwt^*[i]:11:6);
  if Dt^*[i]<0.0 then
    writeLn(lst,' -- ')
  else
    writeLn(lst,Dt^*[i]:11:6);
End;
WriteLn(lst);
End;
End.

```

j) CIZIM1.PAS Listesi

```

Unit cizim1;
(*
*****
*-- Program .....: CIZIM1.PAS
*-- Yazilim .....: S.BILIR, A.ATES
*-- Tarih .......: 08-05-98
*-- Version .....: Pascal 7.0
*-- Notlar .....:  $T_o$ -,  $T_r$ ,  $T_b$ - eksenel dağılımı grafikleri
*-- PhD Thesis, Selçuk University
*****
*)

```

Interface
 Uses Crt,Graph,Printer,Degiskenler,Enterpolasyon,Gerekli;
 Procedure cizdirT(m1,m2,nn,l,z: byte);
 Implementation
 Procedure cizdirT;

```

const
  gx1=240;
  gx2=240;
  gy1=370;
  gy2=370;
var
  Gd,Gm,xfl,i,j,k,xf2,yf1,yf2 : Integer;
  ig,jg : longint;
  nokta,yazy,yazx,yaz1,yaz2,yaz3,yaz4,yaz5,yaz6,yaz7,yaz8,yaz9,yaz10,
  yaz11,yaz12,yaz13,yaz14 : st80;
Begin
  renk(0,7);
  Gd:=detect;
  InitGraph(Gd,Gm,"");
  If GraphResult <> 0 Then Begin
    WriteLn('Grafik Hata..');
    beklet;
    exit;
  End;
  settextjustify(0,1);
  nokta:='o+'&xz*='I@#s0';
  setviewport(0,0,getmaxx,getmaxy,false);
  setlinestyle(0,0,1);
  setcolor(15);
  rectangle(40,10,getmaxx,getmaxy-99);
  xf1:=190; xf2:=190; yf1:=99; yf2:=99;
  Line(40,getmaxy-yf1,getmaxx,getmaxy-yf1);
  Line(xf1,getmaxy-99,xf1,10);
  For jg:=0 to 10 do begin
    str(jg/10:3:1,yazy);
    outtextxy(17,getmaxy-100-jg*gy1 div 10,yazy);
  end;
  For jg:=1 to 10 do begin
    line(40,getmaxy-99-jg*gy1 div 10,48,getmaxy-99-jg*gy1 div 10);
  end;
  ig:=-6;
  while ig<m1+m2+2 do begin
    str(ig/10:4:1,yazx);
    outtextxy((ig*gx1 div 10+xf1-29),getmaxy-90,yazx);
    inc(ig,2);
  end;
  ig:=-6;
  while ig<m1+m2+2 do begin
    line((ig*gx1 div 10+xf1),getmaxy-99,(ig*gx1 div 10+xf1),getmaxy-105);
    inc(ig,2);
  end;
  outtextxy(517,400,'x');
  if sdt>15 then begin

```

```

putimage(0,0,Resim1^,CopyPut);
putimage(0,200,Resim2^,CopyPut);
end;
if z=0 then begin
  outtextxy(0,95,'T');
  settextstyle(2,0,4);
  outtextxy(7,99,'b');
  settextstyle(0,0,1);
  outtextxy(11,95,'');
  outtextxy(92,99,'t');
  outtextxy(63,106,'-----');
  setcolor(15);
  settextstyle(2,0,4);
  settextjustify(1,1);
  i:=3;
  while i<m1+m2+1 do begin
    if x^[i]>-0.44 then begin
      k:=0;
      Lagrange(k,i,x^[i-2],x^[i-1],x^[i],Tb^[i-2],Tb^[i-1],Tb^[i],gx1,gy1);
      for j:=1 to (k-1) do
        line(trunc(lx[j]*gx1)+xfl,getmaxy-yfl-
trunc(lx[j]*gy1),trunc(lx[j+1]*gx1)+xfl,getmaxy-yfl-trunc(lx[j+1]*gy1));
      if (i=m1+10+rk) or (i=m1+11+rk) then
        outtextxy(Round(x^[i+rk]*gx1)+xfl,getmaxy-yfl-5-
Round(Tb^[i+rk]*gy1),nokta[rk]);
      end
      else i:=i+1;
    end;
    outtextxy(72,105+rk*10,nokta[rk]);
    str(tdt:7:4,yazx);
    outtextxy(105,105+rk*10,yazx);
    rk:=rk+1;
    if rk>13 then rk:=1;
  end
  else if z=1 then begin
    outtextxy(0,95,'T');
    settextstyle(2,0,4);
    outtextxy(7,99,'wo');
    settextstyle(0,0,1);
    outtextxy(11,95,'');
    outtextxy(92,99,'t');
    outtextxy(63,106,'-----');
    setcolor(15);
    settextstyle(2,0,4);
    settextjustify(1,1);
    i:=3;
    while i<m1+m2+1 do begin
      if x^[i]>-0.6 then begin

```

```

k:=0;
Lagrange(k,i,x^[i-2],x^[i-1],x^[i],T^[i-2,17],T^[i-1,17],T^[i,17],gx1,gy1);
for j:=1 to (k-1) do
  line(trunc(lx[j]*gx1)+xf1,getmaxy-yf1-
trunc(ly[j]*gy1),trunc(lx[j+1]*gx1)+xf1,getmaxy-yf1-trunc(ly[j+1]*gy1));
  if (i=m1+10+rk) or (i=m1+11+rk) then
    outtextxy(Round(x^[i+rk]*gx1)+xf1,getmaxy-yf1-5-
Round(T^[i+rk,17]*gy1),nokta[rk]);
  end
  else i:=i+1;
end;
outtextxy(72,105+rk*10,nokta[rk]);
str(tdt:7:4,yazx);
outtextxy(105,106+rk*10,yazx);
rk:=rk+1;
if rk>13 then rk:=1;
end
else if z=2 then begin
  outtextxy(0,95,'T');
  settextstyle(2,0,4);
  outtextxy(7,99,'wi');
  settextstyle(0,0,1);
  outtextxy(11,95,'');
  outtextxy(92,99,'t');
  outtextxy(63,106,'-----');
  setcolor(15);
  settextstyle(2,0,4);
  settextjustify(1,1);
  i:=3;
  while i<m1+m2+1 do begin
    if x^[i]>-0.6 then begin
      k:=0;
      Lagrange(k,i,x^[i-2],x^[i-1],x^[i],T^[i-2,9],T^[i-1,9],T^[i,9],gx1,gy1);
      for j:=1 to (k-1) do
        line(trunc(lx[j]*gx1)+xf1,getmaxy-yf1-
trunc(ly[j]*gy1),trunc(lx[j+1]*gx1)+xf1,getmaxy-yf1-trunc(ly[j+1]*gy1));
        if (i=m1+10+rk) or (i=m1+11+rk) then
          outtextxy(Round(x^[i+rk]*gx1)+xf1,getmaxy-yf1-5-
Round(T^[i+rk,9]*gy1),nokta[rk]);
      end
      else i:=i+1;
    end;
    outtextxy(72,105+rk*10,nokta[rk]);
    str(tdt:7:4,yazx);
    outtextxy(105,106+rk*10,yazx);
    rk:=rk+1;
    if rk>13 then rk:=1;
  end;

```

```

adt:=sdt-adt;
settextstyle(0,0,1);
settextjustify(0,1);
setcolor(15);
str(Pe:6:1,yaz1);
str(Bi:6:1,yaz2);
str(Ksf:6:1,yaz3);
str(Asf:6:1,yaz4);
str(d:6:3,yaz5);
str(hlim:7:5,yaz6);
str(sol:3,yaz7);
str(sag:3,yaz8);
str(tdt:11:4,yaz9);
str(tsy:6,yaz10);
str(adt:6,yazx);
outtextxy(55,25,'Pe='+yaz1);
outtextxy(55,35,'Bi='+yaz2);
outtextxy(55,45,'d`='+yaz5);
outtextxy(59,56,'k');
settextstyle(2,0,4);
outtextxy(67,60,'wf');
settextstyle(0,0,1);
outtextxy(78,56,'= '+yaz3);
outtextxy(59,69,'à');
settextstyle(2,0,4);
outtextxy(67,73,'wf');
settextstyle(0,0,1);
outtextxy(78,69,'= '+yaz4);
alan1:=ImageSize(0,0,getmaxx,199);
alan2:=ImageSize(0,200,Getmaxx,getmaxy-80);
if (alan1=0) or (alan2=0) then begin
  outtextxy(getmaxx-300,getmaxy-15,'Grafik tampon hafıza yetersiz..');
  beklet;
  exit;
end
else begin
  GetMem(Resim1,alan1);
  GetMem(Resim2,alan2);
  getimage(0,0,getmaxx,199,resim1^);
  getimage(0,200,Getmaxx,getmaxy-80,resim2^);
  end;
  beklet;
CloseGraph;
renk(7,0);
End;
End.

```

k) CIZIM2.PAS Listesi

```

Unit Cizim2;
(*
*****  

*-- Program .....: CIZIM2.PAS  

*-- Yazılım .....: S.BİLİR, A.ATEŞ  

*-- Tarih .....: 10-05-98  

*-- Version .....: Pascal 7.0  

*-- Notlar .....: qwr- eksenel dağılımı grafikleri  

*-- PhD Thesis, Selçuk University
*****  

*)

```

Interface

```

Uses Crt,Graph,Printer,Degiskenler,Enterpolasyon,Gerekli;  

Procedure cizdirQ(m1,m2,nn,l,z: byte; t2 : Row_arr);
Implementation
Procedure cizdirQ;
const
  gx1=240;
  gx2=240;
  gy1=42;
  gy2=5;
var
  Gd,Gm,i,j,k,j1,a1,o1,a2,o2,xfl,yfl,xf2,yf2,yyg,xxg : integer;
  ig,jg : longint;
  nokta,yazy,yazx,yaz1,yaz2,yaz3,yaz4,yaz5,yaz6,yaz7,yaz8,yaz9,yaz10 : st80;
  cizgi : byte;
Begin
  renk(0,7);
  Gd:=detect;
  InitGraph(Gd,Gm,"");
  If GraphResult <> 0 Then Begin
    WriteLn('Grafik Hata..');
    beklet;
    exit;
  End;
  settextjustify(0,1);
  nokta:='o+s&xz*=i@#s0';
  setviewport(0,0,getmaxx,getmaxy,false);
  setlinestyle(0,0,1);
  setcolor(15);
  rectangle(40,0,getmaxx,getmaxy-99);
  xf1:=190; xf2:=190; yf1:=141; yf2:=149;
  Line(40,getmaxy-yf1,getmaxx,getmaxy-yf1);

```

```

Line(xf1,getmaxy-100,xf1,2);
if sdt>15 then begin
  putimage(0,0,Resim1^,CopyPut);
  putimage(0,200,Resim2^,CopyPut);
end;
jg:=-1;
while jg<15 do begin
  str(jg:3,yazy);
  outtextxy(13,getmaxy-101-((jg+1)*gy1),yazy);
  inc(jg,1);
end;
str(8:3,yazy);
outtextxy(09,4,yazy);
jg:=-1;
while jg<15 do begin
  line(40,getmaxy-99-((jg+1)*gy1),45,getmaxy-99-((jg+1)*gy1));
  inc(jg,1);
end;
ig:=-6;
while ig<19 do begin
  str(ig/10:4:1,yazx);
  outtextxy(((ig*gx1 div 10)+(xf1-19)),getmaxy-90,yazx);
  inc(ig,2);
end;
ig:=-6;
while ig<19 do begin
  line(((ig*gx1 div 10)+xf1),getmaxy-99,((ig*gx1 div 10)+xf1),getmaxy-105);
  line(((ig*gx1 div 20)+xf1),getmaxy-99,((ig*gx1 div 20)+xf1),getmaxy-101);
  inc(ig,2);
end;
outtextxy(517,400,'x');
outtextxy(0,88,'q');
settextstyle(2,0,4);
outtextxy(8,92,'w');
settextstyle(0,0,1);
{  outtextxy(77,106,'k');
settextstyle(2,0,4);
outtextxy(84,109,'wf');
settextstyle(0,0,1);
outtextxy(55,116,'-----'); }
outtextxy(92,99,'t');
outtextxy(63,106,'-----');
setcolor(15);
settextstyle(2,0,4);
settextjustify(1,1);
i:=3;
while i<m1+m2+1 do begin
  if (x^[i]>-0.44) then begin

```

```

k:=0;
Lagrange(k,i,x^[i-2],x^[i-1],x^[i],T2[i-2],T2[i-1],T2[i],gx1,gy1);
for j:=1 to (k-1) do
  line(trunc(lx[j]*gx1)+xf1,getmaxy-yf1-
trunc(ly[j]*gy1),trunc(lx[j+1]*gx1)+xf1,getmaxy-yf1-trunc(ly[j+1]*gy1));
  if (i=m1+7+rk) or (i=m1+8+rk) then
    outtextxy(Round(x^[i+rk]*gx1)+xf1,getmaxy-yf1-5-
Round(T2[i+rk]*gy1),nokta[rk]);
  end
  else i:=i+1;
end;
outtextxy(70,105+rk*10,nokta[rk]);
str(tdt:8:4,yazy);
outtextxy(105,105+rk*10,yazy);
rk:=rk+1;
if rk>13 then rk:=1;
{  if s=1 then begin
  str(sdt:8,yazy);
  outtextxy(105,305+rk*10,yazy);
end;
if s>1 then begin
  outtextxy(72,115+rk*10,nokta[rk]);
  str(Bi:7:1,yazx);
  outtextxy(105,115+rk*10,yazx);
  rk:=rk+1;
  if rk>13 then rk:=1;
end;  }
settextstyle(0,0,1);
settextjustify(0,1);
setcolor(15);
str(Pe:6:1,yaz1);
str(Bi:6:1,yaz2);
str(Ksf:6:1,yaz3);
str(Asf:6:1,yaz4);
str(d:6:3,yaz5);
str(hlim:7:5,yaz6);
str(sol:3,yaz7);
str(sag:3,yaz8);
str(tdt:8:4,yaz9);
str(tsy:6,yaz10);

outtextxy(57,19,' Pe='+yaz1);
outtextxy(57,29,' Bi='+yaz2);
outtextxy(57,39,' d='+yaz5);
outtextxy(61,52,'k');
settextstyle(2,0,4);
outtextxy(67,55,'wf');
settextstyle(0,0,1);

```

```

outtextxy(81,52,'!+yaz3);
outtextxy(61,65,'a');
settextstyle(2,0,4);
outtextxy(67,68,'wf');
settextstyle(0,0,1);
outtextxy(81,65,'!+yaz4);
alan1:=ImageSize(0,0,getmaxx,199);
alan2:=ImageSize(0,200,Getmaxx,getmaxy-80);
if (alan1=0) or (alan2=0) then begin
  outtextxy(getmaxx-300,getmaxy-15,'Grafik tampon hafiza yetersiz..');
  beklet;
  exit;
end
else begin
  GetMem(Resim1,alan1);
  GetMem(Resim2,alan2);
  getimage(0,0,getmaxx,199,resim1^);
  getimage(0,200,getmaxx,getmaxy-80,resim2^);
end;
beklet;
CloseGraph;
renk(7,0);
End;
End.

```

I) CIZIM3.PAS Listesi

```

Unit Cizim3;
(*
*****
*-- Program .....: CIZIM3.PAS
*-- Yazılım .....: S.BİLİR, A.ATEŞ
*-- Tarih .......: 15-05-98
*-- Version .....: Pascal 7.0
*-- Notlar .....: Yerel Nusselt sayısı eksenel dağılımı grafikleri
*--           PhD Thesis, Selçuk University
*****)

```

Interface

Uses Crt,Graph,Printer,Degiskenler,Enterpolasyon,gerekli;

Procedure cizdirNu(m1,m2,nn,l,z: byte; t2 : Row_arr);

Implementation

Procedure cizdirNu;

const

dus : array[1..13] of real = (3,4,5,6,8,10,15,20,30,40,50,60,70);

```

yat : array[1..5] of real = (0.001,0.01,0.1,1.0,10.0);

gx1=80;
gx2=250;
gy1=120;
gy2=100;
var
  Gd,Gm,i,j,k,j1,a1,o1,a2,o2,xf1,yf1,xf2,yf2,yyg,xxg : integer;
  ig,jg : longint;
  nokta,yazy,yazx,yaz1,yaz2,yaz3,yaz4,yaz5,yaz6,yaz7,yaz8,yaz9,yaz10 : st80;
  cizgi : byte;
  xln,nln : real;
  xx,Nuu : Row_art;
Begin
  for i:=m1+2 to m1+m2 do begin
    xx[i-m1-1]:=ln(x^i)/0.001;
    Nuu[i-m1-1]:=ln(Nu^i)/2.0);
  end;
  renk(0,7);
  Gd:=detect;
  InitGraph(Gd,Gm,"");
  If GraphResult <> 0 Then Begin
    WriteLn('Grafik Hata..');
    beklet;
    exit;
  End;
  settextjustify(0,1);
  nokta:='o+s&xz*=l@#s0';
  xf1:=66; xf2:=190; yf1:=99; yf2:=149;
  setviewport(0,0,getmaxx,getmaxy,false);
  setlinestyle(0,0,1);
  setcolor(15);
  rectangle(xf1,0,getmaxx,getmaxy-99);
  setlinestyle(0,0,1);
  if sdt>30 then begin
    putimage(0,0,Resim1^,CopyPut);
    putimage(0,200,Resim2^,CopyPut);
  end;
  jg:=1;
  while jg<14 do begin
    str(dus[jg]:4:1,yazy);
    outtextxy(27,getmaxy-101-trunc(ln(dus[jg])*gy1)+trunc(ln(dus[1])*gy1),yazy);
    inc(jg,1);
  end;
  str(70.0:4:1,yazy);
  outtextxy(27,4,yazy);
  jg:=1;
  while jg<14 do begin

```

```

line(xf1,getmaxy-99-
trunc(ln(dus[jg])*gy1)+trunc(ln(dus[1])*gy1),xf1+5,getmaxy-99
    -trunc(ln(dus[jg])*gy1)+trunc(ln(dus[1])*gy1));
    inc(jg,1);
end;
ig:=1;
while ig<5 do begin
    str(ig-4:2,yazx);
    outtextxy(trunc(ln(yat[ig])*gx1)-trunc(ln(yat[1])*gx1)+(xf1-9),getmaxy-77,'10');
    settextstyle(2,0,4);
    outtextxy(trunc(ln(yat[ig])*gx1)-trunc(ln(yat[1])*gx1)+(xf1-2),getmaxy-
88,yazx);
    i:=2;
    while i<9 do begin
        str(i:1,yazx);
        outtextxy(trunc(ln(yat[ig]*i)*gx1)-trunc(ln(yat[1])*gx1)+(xf1-3),getmaxy-
94,yazx);
        i:=i+2;
    end;
    settextstyle(0,0,1);
    inc(ig,1);
end;
ig:=1;
while ig<6 do begin
    line(trunc(ln(yat[ig])*gx1)-trunc(ln(yat[1])*gx1)++xf1,getmaxy-
99,trunc(ln(yat[ig])*gx1)
        -trunc(ln(yat[1])*gx1)+xf1,getmaxy-105);
    i:=2;
    while i<9 do begin
        line(trunc(ln(yat[ig]*i)*gx1)-trunc(ln(yat[1])*gx1)++xf1,getmaxy-99,
            trunc(ln(yat[ig]*i)*gx1)-trunc(ln(yat[1])*gx1)++xf1,getmaxy-101);
        i:=i+2;
    end;
    inc(ig,1);
end;
setcolor(15);
outtextxy(517,410,'x');
outtextxy(05,119,'Nu');
outtextxy(250,285,'t');
outtextxy(224,295,'-----');
setcolor(15);
settextstyle(2,0,4);
settextjustify(1,1);
ig:=2;
i:=3;
while i<m2-4 do begin
    if (xx[i]>0.0001) then begin
        k:=0;

```

```

Lagrange(k,i,xx[i-2],xx[i-1],xx[i],Nuu[i-2],Nuu[i-
1],Nuu[i],gx1,gy1);
  for j:=1 to (k-1) do
    line(trunc(lx[j]*gx1)+xf1,getmaxy-yf1-
trunc(ly[j]*gy1),trunc(lx[j+1]*gx1)+xf1,getmaxy-yf1-trunc(ly[j+1]*gy1));
    if (i=3+rk) or (i=4+rk) then
      outtextxy(Round(xx[i]*gx1)+xf1,getmaxy-yf1-5-
Round(Nuu[i]*gy1),nokta[rk]);
    end
    else i:=i+1;
  end;
  outtextxy(228,290+rk*10,nokta[rk]);
  str(tdt:8:4,yazy);
  outtextxy(264,290+rk*10,yazy);
  rk:=rk+1;
  if rk>13 then rk:=1;
  settextstyle(0,0,1);
  settextjustify(0,1);
  setcolor(15);
  str(Pe:6:1,yaz1);
  str(Bi:6:1,yaz2);
  str(Ksf:6:1,yaz3);
  str(Asf:6:1,yaz4);
  str(d:6:3,yaz5);
  str(hlim:7:5,yaz6);
  str(sol:3,yaz7);
  str(sag:3,yaz8);
  str(tdt:8:4,yaz9);
  str(tsy:6,yaz10);

  outtextxy(90,299,' Pe='+yaz1);
  outtextxy(90,309,' Bi='+yaz2);
  outtextxy(90,319,' d='+yaz5);
  outtextxy(94,332,'k');
  settextstyle(2,0,4);
  outtextxy(101,335,'wf');
  settextstyle(0,0,1);
  outtextxy(114,332,'='+yaz3);
  outtextxy(94,345,'a');
  settextstyle(2,0,4);
  outtextxy(101,348,'wf');
  settextstyle(0,0,1);
  outtextxy(114,345,'='+yaz4);

alan1:=ImageSize(0,0,getmaxx,199);
alan2:=ImageSize(0,200,Getmaxx,getmaxy-80);
if (alan1=0) or (alan2=0) then begin
  outtextxy(getmaxx-300,getmaxy-15,'Grafik tampon hafiza yetersiz..');

```

```

beklet;
exit;
end
else begin
  GetMem(Resim1,alan1);
  GetMem(Resim2,alan2);
  getimage(0,0,getmaxx,199,resim1^);
  getimage(0,200,getmaxx,getmaxy-80,resim2^);
end;
beklet;
CloseGraph;
renk(7,0);
End;
End.

```

m) CIZIM4.PAS Listesi

```

Unit cizim4;
(*
*****
*-- Program .....: CIZIM4.PAS
*-- Yazılım .....: S.BİLİR, A.ATEŞ
*-- Tarih .......: 12-05-98
*-- Version .....: Pascal 7.0
*-- Notlar .....: Değişik parametrik değerlerin ısı akısına etkisi grafikleri
*-- PhD Thesis, Selçuk University
*****
*)

```

Interface

Uses Crt,Graph,Printer,Degiskenler,Enterpolasyon,Gerekli;
 Procedure cizdirP(m1,m2,nn,l: byte; t2 : Row_arr);

Implementation

Procedure cizdirP;

const

```

gx1=240;
gx2=240;
gy1=90;
gy2=5;

```

var

```

Gd,Gm,i,j,k,j1,a1,o1,a2,o2,xf1,yf1,xf2,yf2,yyg,xxg : integer;
nokta,yazy,yazx,yaz1,yaz2,yaz3,yaz4,yaz5,yaz6,yaz7,yaz8,yaz9,yaz10 : st80;
cizgi : byte;

```

Begin

```
renk(0,7);
```

```

Gd:=detect;
InitGraph(Gd,Gm,"");
If GraphResult <> 0 Then Begin
  WriteLn('Grafik Hata..');
  beklet;
  exit;
End;
settextjustify(0,1);
nokta:='o+s&xz*=İ@#s0';
setviewport(0,0,getmaxx,getmaxy,false);
setlinestyle(0,0,1);
setcolor(15);
rectangle(40,0,getmaxx,getmaxy-99);
setlinestyle(0,0,1);
{ setcolor(2); }
xf1:=190; xf2:=190; yf1:=189; yf2:=149;
if z=0 then begin
  Line(40,getmaxy-yf1,getmaxx,getmaxy-yf1);
  Line(xf1,getmaxy-100,xf1,2);
end
else if z=1 then begin
  Line(40,getmaxy-yf2,getmaxx,getmaxy-yf2);
  Line(xf2,getmaxy-100,xf2,2);
end;
if yaz>1 then begin
  putimage(0,0,Resim1^,CopyPut);
  putimage(0,200,Resim2^,CopyPut);
end;
j:=-1;
while j<50 do begin
  str(j:3,yazy);
  outtextxy(13,getmaxy-101-((j+1)*gy1),yazy);
  inc(j,1);
end;
str(8:3,yazy);
outtextxy(09,4,yazy);
j:=-10;
while j<50 do begin
  line(40,getmaxy-99-((j+1)*gy1),45,getmaxy-99-((j+1)*gy1));
  inc(j,1);
end;
i:=-6;
while i<m1+m2+2 do begin
  str(i/10:4:1,yazx);
  outtextxy(((i*gx1 div 10)+(xf1-19)),getmaxy-90,yazx);
  inc(i,3);
end;
i:=-6;

```

```

while i<m1+m2+2 do begin
    line(((i*gx1 div 10)+xf1),getmaxy-99,((i*gx1 div 10)+xf1),getmaxy-105);
    line(((i*gx1 div 20)+xf1),getmaxy-99,((i*gx1 div 20)+xf1),getmaxy-101);
    inc(i,3);
end;
setcolor(15);
outtextxy(517,400,'x');
outtextxy(0,88,'q');
settextstyle(2,0,4);
outtextxy(8,92,'wi');
settextstyle(0,0,1);
if (sec='K') or (sec='L') or (sec='M') then
    outtextxy(85,99,'d')
else if (sec='N') or (sec='O') or (sec='P') then begin
    outtextxy(85,99,'k');
    settextstyle(2,0,4);
    outtextxy(92,102,'wf');
    settextstyle(0,0,1);
end
else if (sec='Q') or (sec='R') or (sec='S') then begin
    outtextxy(85,99,'à');
    settextstyle(2,0,4);
    outtextxy(92,102,'wf');
    settextstyle(0,0,1);
end
else if (sec='T') or (sec='U') or (sec='V') then
    outtextxy(85,99,'Pe')
else if (sec='W') or (sec='X') or (sec='Y') then
    outtextxy(85,99,'Bi');
outtextxy(55,109,'-----');
if (sec='M') or (sec='P') or (sec='S') or (sec='V') or (sec='Y') then begin
    outtextxy(145,99,'t');
    outtextxy(125,109,'-----');
end;
setcolor(15);
settextstyle(2,0,4);
settextjustify(1,1);
i:=3;
while i<m1+m2+1 do begin
    if (x^i>-0.46) then begin
        k:=0;
        Lagrange(k,i,x^i-2,x^i-1,x^i,T2[i-2],T2[i-1],T2[i],gx1,gy1);
        for j:=1 to (k-1) do
            line(trunc(lx[j]*gx1)+xf1,getmaxy-yf1-
trunc_ly[j]*gy1),trunc(lx[j+1]*gx1)+xf1,getmaxy-yf1-trunc_ly[j+1]*gy1));
        if (i=m1+11+rk) or (i=m1+12+rk) then
            outtextxy(Round(x^i+rk)*gx1)+xf1,getmaxy-yf1-5-
Round(T2[i+rk])*gy1),nokta[rk])
    end;
end;

```

```

end
else i:=i+1;
end;
outtextxy(62,108+rk*10,nokta[rk]);
if (sec='K') or (sec='L') or (sec='M') then
  str(d:6:3,yazx)
else if (sec='N') or (sec='O') or (sec='P') then
  str(ksf:6:1,yazx)
else if (sec='Q') or (sec='R') or (sec='S') then
  str(asf:6:1,yazx)
else if (sec='T') or (sec='U') or (sec='V') then
  str(Pe:5:1,yazx)
else if (sec='W') or (sec='X') or (sec='Y') then
  str(Bi:7:1,yazx);
outtextxy(86,108+rk*10,yazx);
str(tdt:9:4,yazy);
if s<2 then
  outtextxy(148,108+rk*10,yazy)
else
  outtextxy(96,83,' t`='+yazy);
rk:=rk+1;
if rk>13 then rk:=1;
settextstyle(0,0,1);
settextjustify(0,1);
setcolor(15);
str(Pe:6:1,yaz1);
str(Bi:6:1,yaz2);
str(Ksf:6:1,yaz3);
str(Asf:6:1,yaz4);
str(d:6:3,yaz5);
str(hlim:7:5,yaz6);
str(sol:3,yaz7);
str(sag:3,yaz8);
str(tsy:6,yaz10);
outtextxy(57,19,' Pe='+yaz1);
outtextxy(57,29,' Bi='+yaz2);
outtextxy(57,39,' d`='+yaz5);
outtextxy(61,52,'k');
settextstyle(2,0,4);
outtextxy(67,55,'wf');
settextstyle(0,0,1);
outtextxy(81,52,'!'+yaz3);
outtextxy(61,62,'à');
settextstyle(2,0,4);
outtextxy(67,65,'wf');
settextstyle(0,0,1);
outtextxy(81,62,'!'+yaz4);

```

```

alan1:=ImageSize(0,0,getmaxx,199);
alan2:=ImageSize(0,200,Getmaxx,getmaxy-80);
if (alan1=0) or (alan2=0) then begin
  outtextxy(getmaxx-300,getmaxy-15,'Grafik tampon hafiza yetersiz..');
  beklet;
  exit;
end
else begin
  GetMem(Resim1,alan1);
  GetMem(Resim2,alan2);
  getimage(0,0,getmaxx,199,resim1^);
  getimage(0,200,getmaxx,getmaxy-80,resim2^);
end;
beklet;
CloseGraph;
renk(7,0);
End;
End.

```

n) CIZIM5.PAS Listesi

```

Unit Cizim5;
(*
*****
*-- Program .....: CIZIM5.PAS
*-- Yazılım .....: S.BİLİR, A.ATEŞ
*-- Tarih .......: 17-05-98
*-- Version .....: Pascal 7.0
*-- Notlar .....: Yıyük sıcaklık radyal dağılımı grafikleri
*--           PhD Thesis, Selçuk University
*****
*)

```

Interface

```

Uses Crt,Graph,Printer,Degiskenler,Enterp5,Gerekli;
Procedure cizdirR(m1,m2,nn,l,z: byte);

```

Implementation

```

Procedure CizdirR;
```

```

const
```

```

  gx1=400;
  gx2=240;
  gy1=370;
  gy2=370;
```

```

var
```

```

  Gd,Gm,xfl,xf2,yf1,yf2 : Integer;
```

```

i,j,k,ix,ii      : integer;
dlrg             : real;
nokta,yazy,yazx,yaz1,yaz2,yaz3,yaz4,yaz5,yaz6,yaz7,yaz8,yaz9,yaz10,yaz11,
yaz12,yaz13,yaz14 : st80;
Begin
  Gd:=detect;
  InitGraph(Gd,Gm,"");
  If GraphResult <> 0 Then Begin
    WriteLn('Grafik Hata..');
    beklet;
    exit;
  End;
  settextjustify(0,1);
  nokta:='o+s&xz*=i@#s0';
  xf1:=50; xf2:=149; yf1:=99; yf2:=10;
  setviewport(0,0,getmaxx,getmaxy,false);
  setlinestyle(3,0,1);
  setcolor(15);
  Line(getmaxx-xf2-1*gx1 div 10,getmaxy-yf1,getmaxx-xf2-1*gx1 div 10,yf2);
  setlinestyle(0,0,1);
  rectangle(xf1,yf2,getmaxx-xf2,getmaxy-yf1);
  For j:=0 to 10 do begin
    str(j/10:3:1,yazy);
    outtextxy(23,getmaxy-100-j*gy1 div 10,yazy);
  end;
  For j:=1 to 10 do begin
    line(50,getmaxy-99-j*gy1 div 10,54,getmaxy-99-j*gy1 div 10);
    line(50,getmaxy-99-j*gy1 div 20-(j-1)*gy1 div 20,51,getmaxy-99-j*gy1 div 20-
(j-1)*gy1 div 20);
  end;
  i:=1;
  while i<12 do begin
    str(i/10:4:1,yazx);
    outtextxy((i*gx1 div 10+xf1-19),getmaxy-90,yazx);
    inc(i,1);
  end;
  i:=1;
  while i<12 do begin
    line((i*gx1 div 10+xf1),getmaxy-99,((i*gx1) div 10+xf1),getmaxy-104);
    line(((i*gx1 div 20)+(i-1)*gx1 div 20+xf1),getmaxy-99,((i*gx1 div 20)+(i-
1)*gx1 div 20+xf1),getmaxy-100);
    inc(i,1);
  end;
  settextstyle(0,0,1);
  setcolor(15);
  outtextxy(475,400,'r');
  if sdt>30 then begin
    putimage(0,0,Resim1^,CopyPut);
  end;
End;

```

```

putimage(0,200,Resim2^,CopyPut);
end;
outtextxy(0,99,'T');
outtextxy(111,243,'t');
outtextxy(81,250,'-----');
setcolor(15);
settextstyle(2,0,4);
settextjustify(1,1);
ix:=indis[z];
i:=5;
while i<18 do begin
  k:=0;
  Lagrange5(k,gx1,gy1,i,ix);
  for j:=1 to (k-1) do
    line(trunc(lx[j]*gx1)+xf1,getmaxy-yf1-
trunc(ly[j]*gy1),trunc(lx[j+1]*gx1)+xf1,getmaxy-yf1-trunc(ly[j+1]*gy1));
  {
    line(round(lx[j]*gx1)+xf1,getmaxy-yf1-
round(ly[j]*gy1),round(lx[j+1]*gx1)+xf1,getmaxy-yf1-round(ly[j+1]*gy1)); }
  i:=i+4;
end;

outtextxy(Round(r^[rk+2]*gx1)+xf1,getmaxy-yf1-5-
Round(T^[ix,rk+2]*gy1),nokta[rk]);
outtextxy(88,249+rk*10,nokta[rk]);
str(tdt:9:4,yazy);
outtextxy(120,249+rk*10,yazy);
rk:=rk+1;
if rk>13 then rk:=1;
settextstyle(0,0,1);
settextjustify(0,1);
setcolor(15);
str(Pe:6:1,yaz1);
str(Bi:6:1,yaz2);
str(Ksf:6:1,yaz3);
str(Asf:6:1,yaz4);
str(d:6:3,yaz5);
str(hlim:7:5,yaz6);
str(x^[ix]:9:4,yaz7);
str(sag:3,yaz8);
str(tdt:11:4,yaz9);
str(tsy:6,yaz10);
str(adt:6,yazx);

outtextxy(70,160,' Pe='+yaz1);
outtextxy(70,170,' Bi='+yaz2);
outtextxy(70,180,' d='+yaz5);
outtextxy(74,192,'k');
settextstyle(2,0,4);

```

```

outtextxy(82,195,'wf');
settextstyle(0,0,1);
outtextxy(93,192,'='+yaz3);
outtextxy(74,205,'a');
settextstyle(2,0,4);
outtextxy(82,208,'wf');
settextstyle(0,0,1);
outtextxy(93,205,'='+yaz4);
outtextxy(67,227,'x'='+'yaz7);
alan1:=ImageSize(0,0,getmaxx,199);
alan2:=ImageSize(0,200,Getmaxx,getmaxy-80);
if (alan1=0) or (alan2=0) then begin
  outtextxy(getmaxx-300,getmaxy-15,'Grafik tampon hafiza yetersiz..');
  beklet;
  exit;
end
else begin
  GetMem(Resim1,alan1);
  GetMem(Resim2,alan2);
  getimage(0,0,getmaxx,199,resim1^);
  getimage(0,200,getmaxx,getmaxy-80,resim2^);
end;
beklet;
CloseGraph;
renk(7,0);
End;
End.

```

o) ENTERPOLASYON.PAS Listesi

```

Unit Enterpolasyon;
(*
*****
*-- Program .....: ENTERPOLASYON.PAS
*-- Yazilim .....: S.BILIR, A.ATEŞ
*-- Tarih .......: 10-05-98
*-- Version .....: Pascal 7.0
*-- Notlar .....: Bilinen 3 noktaya göre Lagrange enterpolasyonu
*-- PhD Thesis, Selçuk University
*****)

```

Interface

Uses Degiskenler;

Procedure Lagrange(var h,l : integer; xi,xo,xs,yi,yo,ys : real; sclx,scly : integer);

Implementation

```

Procedure Lagrange;
var
  L0,L1,L2,xl,yl,lxy,lyy,adm : real;
  i,j : integer;
Begin
  For i:=1 to 999 do begin
    Lx[i]:=0.0;
    Ly[i]:=0.0;
  end;
  i:=0;
  xl:=0.0; yl:=0.0;
  if 1.6*scly*abs(yo-yi)>sclx*abs(xo-xi) then begin
    yl:=yo-yi;
    repeat
      yl:=yl/2.0;
    until (abs(yl)<0.0001);
    adm:=abs(yl);
  end
  else begin
    xl:=xo-xi;
    repeat
      xl:=xl/2.0;
    until (abs(xl)<0.001);
    adm:=abs(xl);
  end;
  xl:=xi; lxy:=-99.0; lyy:=-99.0;
  i:=0;
  while (xl<=xo) and (h<999) do begin
    l0:=(xl-xo)*(xl-xs)/((xi-xo)*(xi-xs));
    l1:=(xl-xi)*(xl-xs)/((xo-xi)*(xo-xs));
    l2:=(xl-xi)*(xl-xo)/((xs-xi)*(xs-xo));
    yl:=l0*yi+l1*yo+l2*ys;
    if (abs(xl-lxy)*sclx>1) or (abs(yl-lyy)*scly>1) then begin
      h:=h+1;
      Lx[h]:=xl;
      Ly[h]:=yl;
      lxy:=xl; lyy:=yl;
    end;
    xl:=xl+adm;
  end;
  if h>0 then l:=l+1;
  i:=h;
  xl:=0.0; yl:=0.0;
  if 1.6*scly*abs(ys-yo)>sclx*abs(xs-xo) then begin
    yl:=ys-yo;
    repeat
      yl:=yl/2.0;
    until (abs(yl)<0.0001);
  end;
end;

```

```

until (abs(yl)<0.0001);
adm:=abs(yl);
end
else begin
  xl:=xs-xo;
repeat
  xl:=xl/2.0;
until (abs(xl)<0.001);
adm:=abs(xl);
end;
xl:=xo; lxy:=lx[h]; lyy:=ly[h];
while (xl<=xs) and (h<999) do begin
  l0:=(xl-xo)*(xl-xs)/((xi-xo)*(xi-xs));
  l1:=(xl-xi)*(xl-xs)/((xo-xi)*(xo-xs));
  l2:=(xl-xi)*(xl-xo)/((xs-xi)*(xs-xo));
  yl:=l0*yi+l1*yo+l2*ys;
  if (abs(xl-lxy)*sclx>1) or (abs(yl-lyy)*scly>1) then begin
    h:=h+1;
    Lx[h]:=xl;
    Ly[h]:=yl;
    lxy:=xl; lyy:=yl;
  end;
  xl:=xl+adm;
end;
if h>i then l:=l+1;
End;
End.

```

p) ENTERP5.PAS Listesi

Unit Enterp5;

(*

*-- Program: ENTERP5.PAS

*-- Yazılım: Ş.BİLİR, A.ATEŞ

*-- Tarih: 17-05-98

*-- Version: Pascal 7.0

-- Notlar: Bilinen 5 noktaya göre Lagrange interpolasyonu

-- PhD Thesis, Selçuk University

*)

Interface

Uses Degiskenler;

Procedure Lagrange5(var h : integer; sclx,scly,l,ix : integer);

Implementation

```

Procedure Lagrange5;
var
  L1,L2,L3,L4,L5,sx,xl,yl,lxy,lyy,adm : real;
  i,j : integer;
  yzz1,yzz2,yzz3,yzz4,yzz5,yzz6 : st80;
Begin
  For i:=1 to 999 do begin
    Lx[i]:=0.0;
    Ly[i]:=0.0;
  end;
  i:=0;
  xl:=0.0; yl:=0.0;
  adm:=0.00125;
  xl:=r^[-4]; lxy:=-999.0; lyy:=-999.0;
  i:=0;
  j:=1;
  while (xl<=r^[[i]]) and (h<999) do begin
    l1:=(xl-r^[[i-3]])*(xl-r^[[i-2]])*(xl-r^[[i-1]])*(xl-r^[[i]])/((r^[[i-4]]-r^[[i-3]])*(r^[[i-4]]-r^[[i-2]])*(r^[[i-4]]-r^[[i-1]])*(r^[[i-4]]-r^[[i]]));
    l2:=(xl-r^[[i-4]])*(xl-r^[[i-2]])*(xl-r^[[i-1]])*(xl-r^[[i]])/((r^[[i-3]]-r^[[i-4]])*(r^[[i-3]]-r^[[i-2]])*(r^[[i-3]]-r^[[i-1]])*(r^[[i-3]]-r^[[i]]));
    l3:=(xl-r^[[i-4]])*(xl-r^[[i-3]])*(xl-r^[[i-1]])*(xl-r^[[i]])/((r^[[i-2]]-r^[[i-4]])*(r^[[i-2]]-r^[[i-3]])*(r^[[i-2]]-r^[[i-1]])*(r^[[i-2]]-r^[[i]]));
    l4:=(xl-r^[[i-4]])*(xl-r^[[i-3]])*(xl-r^[[i-2]])*(xl-r^[[i]])/((r^[[i-1]]-r^[[i-4]])*(r^[[i-1]]-r^[[i-3]])*(r^[[i-1]]-r^[[i-2]])*(r^[[i-1]]-r^[[i]]));
    l5:=(xl-r^[[i-4]])*(xl-r^[[i-3]])*(xl-r^[[i-2]])*(xl-r^[[i-1]])/((r^[[i]]-r^[[i-4]])*(r^[[i]]-r^[[i-3]])*(r^[[i]]-r^[[i-2]])*(r^[[i]]-r^[[i-1]]));
    yl:=l1*t^[[ix,i-4]]+l2*t^[[ix,i-3]]+l3*t^[[ix,i-2]]+l4*t^[[ix,i-1]]+l5*t^[[ix,i]];
    if (abs(xl-lxy)*sclx>1) or (abs(yl-lyy)*scly>1) then begin
      h:=h+1;
      Lx[h]:=xl;
      Ly[h]:=yl;
      lxy:=xl; lyy:=yl;
    end;
    xl:=xl+adm;
  end;
End;
End.
```

q) GEREKLI.PAS Listesi

Unit Gerekli;

(*

```

*-- Program .....: GEREKLİ.PAS
*-- Yazılım .....: S.BİLİR, A.ATEŞ
*-- Tarih .....: 01-05-98
*-- Version .....: Pascal 7.0
*-- Notlar .....: Yardımcı işlemler rutini
*-- PhD Thesis, Selçuk University
*****)

```

Interface

```

Uses Crt,Graph,Dos,Degiskenler;
Procedure Renk(y,z : byte);
Procedure Ortala(y : byte; M : St80);
Procedure Kaydet;
Procedure Beklet;
Implementation

```

```

Procedure Renk;
Begin
  TextColor(y);
  TextBackground(z);
End;
Procedure Ortala;
Begin
  GotoXY(40-Length(M) div 2,y); Write(M);
End;

```

```

Procedure Kaydet;
var Fyaz : file;
  Yaz1,Yaz2 : word;
  Dadi1,dadi2 : string[12];
begin
  writeln(alan1:6,' ',alan2:6);
  GotoXY(29,25);
  Write('Dosya Adını Giriniz: ');
  Renk(7,0);
  ReadLn(Dadi1);
  dadi2:=dadi1;
  if length(dadi1)>>0 then begin
    dadi1:=copy(dadi1,1,7)+'U.Pic';
    Assign(Fyaz,dadi1);
    Rewrite(Fyaz,1);
    BlockWrite(Fyaz,resim1^,alan1,yaz1);
    BlockWrite(Fyaz,resim2^,alan2,yaz2);
    Close(Fyaz);
  end;
end;

```

```

Procedure Beklet;
var tusf:char;
Begin
repeat
  tus:=readkey;
until ((tus=#32) and (s>1)) or (tus=#27) or (tus=#13) or (tus=#0);
if Tus=#0 then begin
  tusf:=readkey;
  if tusf=#60 then begin
    CloseGraph;
    kaydet;
  end;
end;
{ if Tus=#27 then begin
  freemem(T,((sol+sag+4)*(alt+ust+4)+(sol+sag+4))*sizeof(double));
  freemem(Ap,((sol+sag+4)*(alt+ust+4)+(sol+sag+4))*sizeof(double));
  freemem(Ae,((sol+sag+4)*(alt+ust+4)+(sol+sag+4))*sizeof(double));
  freemem(Aw,((sol+sag+4)*(alt+ust+4)+(sol+sag+4))*sizeof(double));
  freemem(An,((sol+sag+4)*(alt+ust+4)+(sol+sag+4))*sizeof(double));
  freemem(As,((sol+sag+4)*(alt+ust+4)+(sol+sag+4))*sizeof(double));
  freemem(Ap0,((sol+sag+4)*(alt+ust+4)+(sol+sag+4))*sizeof(double));
  freemem(b,((sol+sag+4)*(alt+ust+4)+(sol+sag+4))*sizeof(double));

  freemem(DelX,(sol+sag+4)*sizeof(double));
  freemem(DelXM,(sol+sag+4)*sizeof(double));
  freemem(X,(sol+sag+4)*sizeof(double));
  freemem(Tb,(sol+sag+4)*sizeof(double));
  freemem(Tp,(sol+sag+4)*sizeof(double));
  freemem(Nu,(sol+sag+4)*sizeof(double));
  freemem(Dt,(sol+sag+4)*sizeof(double));
  freemem(Qwt,(sol+sag+4)*sizeof(double));

  freemem(DelR,(alt+ust+4+sol+sag+4)*sizeof(double));
  freemem(DelRM,(alt+ust+4+sol+sag+4)*sizeof(double));
  freemem(R,(alt+ust+4+sol+sag+4)*sizeof(double));
  halt;
end; }

End;
End.
```

r) ISARETCI.PAS Listesi

Unit Isaretci;
(*

```
*****
*-- Program .....: ISARETCI.PAS
*-- Yazılım .....: Ş.BİLİR, A.ATEŞ
*-- Tarih .......: 09-05-98
*-- Version .....: Pascal 7.0
*-- Notlar .....: Cursor (imlec) yardımcı işlemler rutini
*-- PhD Thesis, Selçuk University
*****
*)
```

```
interface
uses Dos, Crt;
Procedure Imlec(lb : Char);
Implementation
Procedure Imlec;
var yazmac : registers;
begin
  with yazmac do begin
    AH:=$01;
    case UpCase(lb) of
      'Y' : begin
        CH:=$20;
        CL:=$20;
        end;
      'B' : begin
        CH:=$00;
        CL:=$07;
        end;
      'K' : begin
        CH:=$06;
        CL:=$07;
        end;
      end;
    Intr($10,yazmac);
  End;
end.
```